



Kolmogorov-Arnold Nätverk, Framtidens AI?

Kolmogorov-Arnold Networks: the Future of AI?

Examensarbete för kandidatexamen i matematik vid Göteborgs universitet

Kandidatarbete inom civilingenjörsutbildningen vid Chalmers

Oscar Eliasson

Jolie Larsen

Alexander Malmquist

Måns Redin

Kolmogorov-Arnold Nätverk, Framtidens AI?

Kolmogorov-Arnold Networks: the Future of AI?

Kandidatarbete i matematik inom civilingenjörsprogrammet Teknisk Matematik vid Chalmers

Oscar Eliasson
Alexander Malmquist

Kandidatarbete i matematik inom Matematikprogrammet vid Göteborgs Universitet

Jolie Larsen

Kandidatarbete i matematik inom civilingenjörsprogrammet Kemiteknik med Fysik vid Chalmers

Måns Redin

Handledare: Sergei Zuyev Matematiska vetenskaper

Institutionen för Matematiska vetenskaper
CHALMERS TEKNISKA HÖGSKOLA
GÖTEBORGS UNIVERSITET
Göteborg, Sverige 2025

Förord

Tack till Sergei Zuyev, vår handledare för den teoretiska vägledningen, diskussionerna och en positiv attityd. Vi vill även rikta ett tack till handledarna på Chalmers bibliotek som har bistått med goda råd till denna rapport. Slutligen vill vi tacka institutionen för Data- och Informationsteknik vid Chalmers Tekniska Högskola för tillgång till deras kraftfulla datorer.

Under arbetet har en loggbok förts för att hålla koll på arbetet som utförts varje vecka, samt de individuella prestationerna.

Bidragsrapport

Avsnitt	Huvudförfattare	Övrig författare
Förord	Måns	
Populärvetenskaplig Presentation	Jolie	
Sammandrag	Alex	
Abstract	Alex	
Inledning	Alex	
Syfte och hypotes	Alex	Jolie
Teori(inledande stycke)	Alex	Jolie
Neurala nätverk som generella funktionsapproximerare	Alex	Jolie
MLP-noden	Alex	Jolie
KAN-noden	Alex	Jolie
Bevisidé av KAT	Jolie och Oscar	
Sprechers modifiering av KAN	Jolie och Oscar	
Tidigare resultat Sprecherrepresentation	Oscar	
Faltningsnätverk	Måns	Jolie
Bakåtpropagering	Måns	Jolie
Metod (inledande stycke)	Måns	
Implementation (inledande text)	Oscar	
Implementation (KAN)	Måns	
Implementation (SKAN)	Oscar	
Datahantering och val av strukturer	Måns	
Bakåtpropagering	Måns	
Metod experiment 1: Funktionsanalys	Måns	
Metod experiment 2: Bildregression och rekonstruktion	Måns	
Metod experiment 3: Bildklassificering	Måns	Jolie
Resultat (inledande stycke)	Måns och Jolie	
Resultat experiment 1: Funktionsanalys	Måns och Jolie	
Resultat experiment 2: Bildregression och rekonstruktion	Måns och Oscar	Jolie
Resultat experiment 3: Bildklassificering	Måns och Oscar	Jolie
Diskussion (inledande stycke)	Måns	
Diskussion KAN	Måns	Jolie
Diskussion SKAN	Oscar	Jolie
Diskussion MLP och faltningsnätverk	Måns	
Samhälleliga och etiska aspekter	Måns	
Slutsats	Måns	
Framtidsutsikter	Måns och Oscar	

Tabell 1: Bidragsrapport för arbetet.

Övriga insatser

	Övriga insatser
Alex	<ul style="list-style-type: none"> • Skrivit all kod för det underliggande KAN-biblioteket. Måns har därefter lagt till kod för att köra experiment och producera resultat. • Läst igenom tidigare forskning för att utvärdera eventuella nya forskningsfrågor. Realiserat blev detta endast ett stycke i teori under bas-splines om att tidigare forskning etablerat att man kan approximera bas-splines genom radiella bas funktioner för bättre prestanda. • Producerat figurer för MLP och KAN-noden.
Jolie	<ul style="list-style-type: none"> • Haft ansvar för att se till att texten är enhetlig genom att omformulera stycken och meningar, korta ner text, korrekturläsa osv. • Hjälpt till med- och testat kod för sprecher för att se till att den ger bästa möjliga prestanda • Producerat resultat för Sprecher till funktionsanalysen genom att beräkna nätverk av önskat parameterantal samt använt koden • Kodat graferna till resultat • Undersökt beviset till Kolmogorv-arnolds sats, samt tagit fram bevisidé • Producerat bild till struktur på SKAN
Måns	<ul style="list-style-type: none"> • Skrivit all kod för analys av MLP, CNN och KAN. I KAN-skriptet har jag skrivit funktionerna <code>train_model</code>, <code>batch_train_model</code>, <code>get_individual_splines</code>, <code>plot_splines</code> och <code>test_model</code>. Skrivit skriptet för analys av KAN, analys av MLP, klassificering av KAN och CNN. • Kommenterat koden för KAN-, CNN- och MLP-skripten. • Producerat resultaten för KAN, MLP och CNNs. • Deltagit på tre fackspråkliga föreläsningar.
Oscar	<ul style="list-style-type: none"> • Undersökt beviset till Kolmogorv-arnolds sats, samt tagit fram bevisé • Undersökt Sprecherrepresentationer och forskning, kommit på och tagit fram nya representationer som använts som grund för SKAN. • Programmerat SKAN modellerna, producerat modeller utifrån Sprecherrepresentationerna och nya ideerna och korregeringarna som fungerar väl. • Testat, tagit fram resultat och analyserat resultaten och SKAN.
Alla	<ul style="list-style-type: none"> • Byggt upp kunskap kring ämnet genom att läsa källor • Varit dagboksansvarig var fjärde vecka

Populärvetenskaplig presentation

Har du använt AI någon gång? Artificiell intelligens, eller AI som det också kallas, växer i popularitet i dagens samhälle i en otrolig fart och används av allt från programmering och redigering till chattbotar och filter. Det har växt i en sådan fart att AIs relevans och uppkomst har liknats med när internet och mobiltelefoner uppfanns, uppmärksammades och normaliserades i samhället. I stort sett kan alla grupperns arbete förenklas på något sätt med denna nya teknik. Dagens artificiella intelligens bygger på klassiska artificiella neurala nätverk, men finns det inga andra sätt den kan konstrueras på? Behövs det fler sätt?

Först och främst är ett neuralt nätverk ekvationer som är sammanbundna på ett sätt sådant att du kan stoppa in en siffra, bild eller ekvation i ena änden, och så får du ut en annan siffra, en återskapning av bilden, eller ett svar på om det till exempel finns en hund på bilden eller om du stoppat in en sju. För att se hur bra ett sådant nätverk fungerar brukar felet mätas och jämföras, så om den gissar rätt på att du har lagt in en sju nio av tio gånger finns det ett fel på 10 procent. Det som skiljer olika uppbyggnader av nätverk åt är vilka ekvationer som används och hur de är strukturerade.

Under 1960-talet kom två ryska matematiker, Andrej Kolmogorov och Vladimir Arnold, fram till en sats som på den tiden inte verkade applicerbar på särskilt många användningsområden. Den kom att kallas Kolmogorov-Arnolds representationssats, och dess betydelse uppmärksammades först förra året när en rad forskare släppte en rapport där de visar hur satsen kan användas till att skapa AI. Anledningen till att det är intressant att undersöka andra uppbyggnader är för att de kan fungera bättre i vissa användningsområden, och självklart vill man uppnå den bästa möjliga artificiella intelligensen. Dessutom är detta ett område med stort utrymme för utveckling och justeringar då det är ett relativt nytt verktyg i samhället.

Detta projekt undersöker därför om så kallade Kolmogorov-Arnold nätverk kan konkurrera med de klassiska nätverken. Undersökningen bygger på att jämföra vilken uppbyggnad som presterar bäst, samt vilka som presterar bättre i olika avseenden. För att göra detta programmerar vi ett flertal nätverk som bygger på Kolmogorov-Arnolds implementation, samt klassiska nätverk. Med hjälp av dessa går det dessutom att jämföra vilken implementering av Kolmogorov-Arnolds sats som ger bäst prestanda. Detta görs genom att testa nätverken på både en funktion och bilder, och nätverket med lägst fel är det som presterar bäst. Vi låter också nätverken göra förstoringar av bilden för att se om den kan uppskatta vilka värden de extra pixlarna borde anta.

Samtidigt finns det många kontroversiella aspekter kring artificiell intelligens, som kan få en att undra om fortsatt forskning och utveckling kring ämnet verkligen kommer att gynna samhället? Trots att det finns många motståndare till denna sorts utveckling går det redan att hitta AI överallt runt omkring oss, till och med i de flesta appar i våra mobiler. Eftersom många redan förlitar sig på denna typ av verktyg, är det till vår egen fördel om de också presterar så bra som möjligt. Samtidigt handlar inte frågan om att den vanliga strukturen på artificiell intelligens inte presterar tillräckligt bra, utan mer om det är möjligt att få lika bra resultat med ett mindre antal parametrar. Parametrar är de tal i ekvationerna som skiljer uppbyggnaderna åt, och ett lägre antal parametrar innebär att mindre energi och tid behöver användas till nätverken, då det är färre beräkningar som krävs. Därmed kan en sådan egenskap faktiskt ses som något positivt ur ett miljöperspektiv.

Sammanfattningsvis är artificiell intelligens något vi behöver acceptera då det är ett användbart verktyg som redan omger oss dagligen. Arbetet med att förbättra dessa tekniker är viktigare än någonsin då vi behöver göra det bästa vi kan med energin som används, för att AI inte bara ska vara något vi kan använda nu, utan också långt framöver.

Sammandrag

Artificiell intelligens integreras idag i allt fler tekniska system. Trots det, är det fortfarande svårt att i praktiken implementera modeller från grunden på grund av höga resurskrav i form av data och beräkningskraft. Detta motiverar sökandet efter effektivare modeller.

I denna artikel undersöks *Kolmogorov Arnold Networks* (KANs), en alternativ arkitektur av neurala nätverk och jämförs med traditionella arkitekturer som *multilayer perceptrons* (MLPs) och *faltningsnätverk*. KANs är intressanta då de potentiellt erbjuder fördelar som högre noggrannhet, är lättare att tolka och innehar teoretiskt goda skalningslagar [1].

Vi undersöker KANs och särskilda modifieringar av dessa (Sprecher-KANs) relativt MLPs. Jämförelsen görs genom att analysera utfallet från tre experiment. Specifikt analyseras modellernas förmågor för kurvanpassning, bildrekonstruktion och bildklassificering. I resultaten uppvisar Sprecher-KANs högre prestanda än KAN och i sin tur att KAN överpresterar MLPs. Faltningsnätverken överträffar KANs i prestanda, medan Sprecher-KANs presterar likvärdigt med faltningsnätverken.

?abstractname?

Artificial intelligence is being integrated into more and more technical systems. Nevertheless, in practice, it is still difficult to implement models from scratch due to high resource requirements in terms of data and computational power. This motivates the search for more efficient models.

This article investigates *Kolmogorov Arnold Networks* (KANs), an alternative model to traditional *multilayer perceptrons* (MLPs) and convolutional neural networks (CNNs). KANs are interesting because they potentially have performance advantages such as higher accuracy, better interpretability and theoretically better scaling laws [1].

We investigate KANs and special modifications of these (Sprecher-KANs) relative to MLPs and CNNs. The comparison is done by analyzing the outcome of three experiments. The models are tested for curve fitting, image reconstruction and image classification. The results show that

Sprecher-KANs perform the best in terms of accuracy for curve fitting and image reconstruction, subsequently KANs and finally MLPs. For image classification CNNs outperform KANs, while Sprecher-KANs perform at the same level as CNNs.

Innehåll

1	Inledning	1
1.1	Syfte och hypotes	1
2	Teori	1
2.1	Neurala nätverk som funktionsapproximerare	1
2.2	MLP-noden	2
2.2.1	Antalet modellparametrar i nod och nätverk för MLPs	2
2.3	KAN-noden	2
2.3.1	Bas-splines	3
2.3.2	Antalet parametrar i ett KAN	4
2.4	Beviside av KAT	4
2.5	Sprechers modifiering av KAN	5
2.6	Tidigare resultat Sprecherrepresentation	6
2.7	Faltningsnätverk	6
2.8	Bakåtpropagering	7
2.8.1	Vägar genom nätverket	7
2.8.2	Partiella derivator för sammansättning	7
2.8.3	Uppdatering av parametrar	7
2.8.4	Uppdatering för MLP	7
2.8.5	Uppdatering för KANs	8
2.8.6	Optimeringsalgoritm	8
2.8.7	L2-regularisering och viktregularisering	8
3	Metod	9
3.1	Implementation	9
3.1.1	KAN	9
3.1.2	SKAN	9
3.2	Datahantering och val av strukturer	10
3.3	Bakåtpropagering	10
3.4	Experiment 1: Funktionsanalys	10
3.5	Experiment 2: Bildregression och rekonstruktion	11
3.6	Experiment 3: Bildklassificering	12
4	Resultat	12
4.1	Experiment 1: Funktionsanalys	12
4.2	Experiment 2: Bildregression och rekonstruktion	14
4.3	Experiment 3: Bildklassificering	15
5	Diskussion	16
5.1	KAN	16
5.2	SKAN	17
5.3	MLP och faltningsnätverk	19
6	Samhälleliga och etiska aspekter	20
7	Slutsats	20
8	Framtidsutsikter	20
A	Bildregressioner och bildrekonstruktioner	i
A.1	Bildregressioner	i
A.2	Bildrekonstruktioner	ii
B	Förväxlingsmatris	vi
C	Appendix 2 – källkod	xii
C.1	KAN och MLP	xii
C.1.1	Skript 1: KAN-nätverken	xii
C.1.2	Skript 2: Cox-de-Boor's rekursionsformel	xviii
C.1.3	Skript 3: Analys av KAN	xviii
C.1.4	Skript 4: Analys av MLP	xxv
C.1.5	Skript 5: Klassificering av KAN och MLP	xxix
C.1.6	Skript 6: plottning av grafer	xxxii
C.2	SKAN	xxxiv

C.2.1	Skript 1: Funktionsregression SKAN	xxxiv
C.2.2	Skript 2: Bildregression och rekonstruktion SKAN	xli
C.2.3	Skript 3: Bildklassifikation SKAN	xlvi

Begreppslista

- FFNN - Feed-Forward Neural Networks, synonymt med MLP
- GAM - Generalized Additive Model.
- KAN - Kolmogorov Arnold Networks.
- KAT - Kolmogorov Arnold Theorem.
- MLP - Multi-Layer Perceptron.
- SKAN - Sprecher Kolmogorv Arnold Networks.
- MSE - Medelkvadratfel.
- MAE - Medelabsolutfel.
- Epok - En runda där hela träningsdatan propagerats till nätverket.
- Seed - Startvärde som används för att initiera en konsekvent slumpvalsgenerator.

1 Inledning

Artificiell intelligens är mer relevant än någonsin. Framstegen inom fältet har från grunden ändrat vad som är tekniskt möjligt och medfört att tekniken i allt större utsträckning integreras i system. Trots det är det ofta svårt att integrera modeller i praktiken. En betydande anledning är att de är resurskrävande; ofta behövs mycket beräkningskraft och data. Detta leder till försämrad tillgänglighet då många användare inte har resurserna som krävs för ändamålet. Detta motiverar sökandet efter effektivare modeller.

Under våren 2024 lyfte forskare upp *Kolmogorov Arnold Networks* (KANs) [1], en alternativ underliggande modell till den mer traditionella modellen *multilayer perceptron* (MLP). KANs fungerar fundamentalt annorlunda i att *aktiveringsfunktionerna* i nätverket ej är förutbestämda, istället lär de sig lämpliga aktiveringar. KANs utlovar fördelar i vissa miljöer gentemot MLPs, bland annat högre noggrannhet, tolkningsförmåga och teoretiskt bättre skalningslagar [1]. KANs förenklar genom att bryta ned problemet i beståndsdelar i form av endimensionella funktioner.

I detta arbete jämför vi övergripande tre olika modeller; traditionella MLPs, KANs och en särskild typ av modifierade KANs, så kallade Sprecher-KANs. Modellerna jämförs genom analys av utfallet för tre olika experiment. I det första experimentet analyseras modellernas förmåga att kurvanpassa sig till funktionen $4xy^2$, och i det andra ska modellerna genomföra bildrekonstruktion. Sist jämförs modellernas förmåga att klassificera olika typer av bilder från *Pneumonia MNIST* datasetet.

Resultaten från experimenten blev att olika typer av Sprecher-nätverk presterat bäst utifrån ett noggrannhetsperspektiv för både kurvanpassning och bildrekonstruktion. I det tredje experimentet blev resultatet tvetydigt.

1.1 Syfte och hypotes

Syftet är att undersöka KANs och Sprecher-modifierade KANs, samt faltningsnätverk, för att se om det finns sammanhang då modellerna presterar bättre än traditionella MLPs utifrån aspekter som noggrannhet, minne och konvergens. Det som är särskilt intressant är att analysera nätverken när de tillämpas på bildanalys, då en av hypoteserna är att KANs kan nyttja symmetrier i bilder som MLPs inte kan. Den andra hypotesen är att KANs noggrannhet bör vara högre eftersom vid samma mängd parametrar har de fler frihetsgrader än MLPs.

2 Teori

För att möjliggöra jämförelsen och utvecklingen av neurala nätverk presenteras det här den grundläggande teorin. Delkapitlen är strukturerade på ett sätt så att informationen går från övergripande till detaljerad. Först diskuteras funktioner och hur de kan approximeras av neurala nätverk. Sedan beskrivs MLP- och KAN-noderna innan Sprechers modifiering av KAN tas upp, samt tidigare forskning som understödjer detta. Vidare förklaras faltningsnätverk, då de lämpar sig för bildanalys. Slutligen redogörs den mer allmänna tekniken för hur vikter kan uppdateras bakåtpropagering.

2.1 Neurala nätverk som funktionsapproximerare

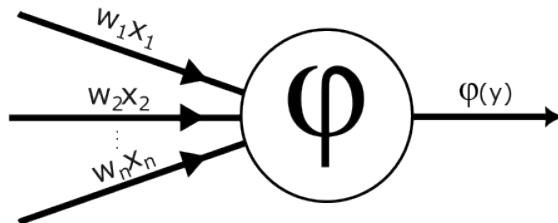
Funktioner kan vara svåra att explicit uttrycka, och approximering leder ofta till enklare hantering och bättre resultat. Neurala nätverk är universella funktionsapproximerare för en relativt allmän klass funktioner. Detta är ett centralt resultat för teorin inom universella approximations-satser. Både MLPs och KANs har ett motsvarande resultat var inom denna klass. MLPs bygger på den universella approximations-satsen medan KANs på Kolmogorov-Arnold representations-sats. Explicit anger satsen för KANs att alla kontinuerliga, multivariata funktioner av typen $f : [0, 1]^n \rightarrow \mathbb{R}$ kan ekvivalent uttryckas som en summa av endimensionella funktioner. Om $\phi_{q,p} : [0, 1] \rightarrow \mathbb{R}$ och $\Phi_q : \mathbb{R} \rightarrow \mathbb{R}$ gäller specifikt

$$f(\mathbf{x}) = f(x_1, \dots, x_n) = \sum_{q=0}^{2n} \Phi_q \left(\sum_{p=1}^n \phi_{q,p}(x_p) \right). \quad (1)$$

Universella approximations-satsen kan ekvivalent tolkas inom KAN, då satsen till dessa anger att alla funktioner av tidigare nämnd klass kan uttryckas av ett KAN bestående av två lager. Enligt (1) är $\phi_{q,p}$ de inre funktionerna medan Φ_q är de yttre i nätverket. Vidare behövs n inre funktioner och $2n + 1$ yttre funktioner, vilket garanterar existensen av ett nätverk som approximerar den bundna funktionen. Nätverkets funktion blir en sammansättning av flera approximerade funktioner. I praktiken generaliseras nätverken så att de har bredare och djupare lager. Artikel ([2]) motiverar varför det är möjligt.

2.2 MLP-noden

MLP-noden, eller perceptron, modellerar till viss del den mänskliga hjärnans neuroner. Detta sker genom att reproducera två av dess mekanismer; att ta emot och skicka vidare signaler. Modellen beskrivs matematiskt med en riktad graf bestående av en nod med flera ingående kanter [3]. Se figur (1).



Figur 1: MLP-noden. I noden finns även en tröskelparameter b men som är utelämnad från bilden.

Noden tar emot signaler längs med grafens kanter och utgörs av linjära funktioner på formen $y_k = w_k x_k$ för kant k . Insignalerna förs sedan in i noden genom summationen $\sum_{k=1}^n w_k x_k - b$ till aktiveringsfunktionen φ , som bestämmer värdet hos utsignalen. Aktiveringsfunktionen är en förutbestämd vald funktion, ofta tanh, ReLU eller sigmoid, som beror av insignalerna och en konstant parameter b som agerar som ett tröskelvärde. Om summan av insignalerna är större än tröskelvärdet så är φ positiv, och noden säges då vara aktiverad. Annars är $\varphi < 0$ och motsvarar då en dämpning.

Ett viktigt krav i ett nätverk bestående av MLP-noder är att en av aktiveringsfunktionerna i nätverket är icke-linjär. Annars kan nätverket endast uttrycka linjära samband [4], vilket de flesta inte är.

2.2.1 Antalet modellparametrar i nod och nätverk för MLPs

Modellparametrar är variabler som anpassar modellens funktionskurva och erhålls genom estimering av data, vilket inom maskininlärning kallas för att man "tränar" modellen. Desto fler parametrar en modell innehar, desto mer resurser såsom minne och beräkningar krävs för att lagra, använda och träna nätverket. Antalet modellparametrar är olika för olika modeller, även när de delar samma grafmässiga struktur, det vill säga lika många noder och kanter. För att göra rättvisa jämförelser behöver därför både den grafmässiga strukturen och antalet parametrar hos nätverken tas i åtanke. Antalet parametrar i MLP-noden ges av följande samband

$$P_{nod} = |V_{nod}| + 1. \quad (2)$$

Där P_{nod} betecknar antalet parametrar för noden och V_{nod} för antalet kanter in i noden. Sambandet motiveras av att vardera ingående kant bidrar med en var, samt att noden bidrar med en, konstanten b . Antalet parametrar i en MLP ges av sambandet

$$P_{MLP} = \sum_i P_i = \sum_i N_i P_{nod} = \sum_i N_i (|V_i| + 1). \quad (3)$$

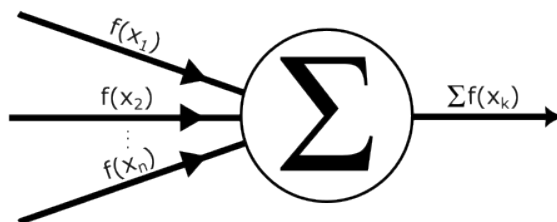
I ekvationen betecknar P_{MLP} antalet parametrar för en MLP, P_i antalet för lager i . N_i anger antalet noder för lager i , V_i antalet ingående kanter per nod för lager i . Sambanden motiveras från det att antalet parametrar i ett nätverk ges av summan av antalet från vardera lager. Antalet i ett lager ges från vardera nod i lagret. Eftersom det finns N_i noder så multipliceras antalet med antalet parametrar per nod.

2.3 KAN-noden

KAN-noden skiljer sig konceptuellt från MLP-noden i att aktiveringsfunktionen för noden **inte** är förutbestämd, utan hittas i stället genom träning. I modellen defineras den som summan av kantfunktionerna och betecknas endast med en summationssymbol i figur (2).

Nodens ingående kantfunktioner $f(x_k)$ uttrycks som linjärkombinationer av en angiven, tidigare bestämd bas $\{e_i\}_{i=1}^n$ med tillhörande koefficienter $\{c_j\}_{j=1}^n$. Likt [1] avgränsas studien till att använda bas-splines (se delkapitel 2.3.1), men valet påverkar bland annat minne, beräkningskomplexitet och träningskonvergens. Tidigare genomförd forskning har visat att bas-splines kan fördelaktigt approximeras och ersättas av radiella basfunktioner för att erhålla en modell som i snitt tränas tre

gångar så fort utan avsevärda förluster i noggrannhet [5]. Målet vid träning är att hitta konstanter $\{c_j\}_{j=1}^n$ sådana att önskat beteende uppnås genom nodaktivering.



Figur 2: KAN-noden.

2.3.1 Bas-splines

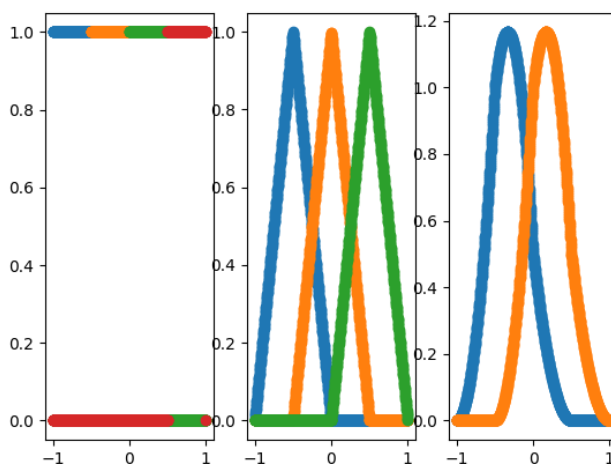
I denna del tas teori för bas-splines upp då de valts som bas för KAN-nätverken. En spline är en funktion som utgörs av styckvisa polynom. Bas-splines är en spline som utgör en bas till polynomrummet P . Specifikt är de konstruerade så att de har minimalt överlapp (stöd) över vardera delintervall, och så att de är kontinuerligt deriverbara upp till ordning $n-1$. Bas-splines kan konstrueras genom Cox-De-Boors rekursionsformel, se ekvationer (4) och (5) som behandlar basfallet respektive det allmänna fallet. Härledning av Cox-de-Boors rekursionsformel återges i [6].

$$B_{i,0}(x) := \begin{cases} 1 & \text{om } t_i \leq x < t_{i+1} \\ 0 & \text{annars} \end{cases} \quad (4)$$

$$B_{i,p}(x) := \frac{x - t_i}{t_{i+p} - t_i} B_{i,p-1}(x) + \frac{t_{i+p+1} - x}{t_{i+p+1} - t_{i+1}} B_{i+1,p-1}(x). \quad (5)$$

Figur (3) visar bas-splines definierade över ett intervall \mathbf{I} för bas-splines av olika ordning.

Bas splines för ordning $k = 0, 1, 2$



Figur 3: Bas-splines för ordning $k = 0, 1, 2$ över intervallet $\mathbf{t} \in [-1, 1]$ där antalet knutpunkter är $|\mathbf{t}| = 5$. Från vänster till höger.

Antalet bas-splines som erhålls över ett intervall \mathbf{I} med $|\mathbf{t}| = t$ knutpunkter och polynom av grad k ges av följande samband

$$|e| = t - (k + 1). \quad (6)$$

Där $|e|$ betecknar antalet bas-splines, t antalet knutpunkter och k graden av polynomen hos bas-splinesen. Motiveringen till ekvation (6) är att vardera styckvist polynom kräver $k + 1$ knutpunkter för att vara kontinuerligt definierade. Dessa måste sedan definieras över $t - (n + 1)$ intervall.

För att i praktiken uppnå en högre noggrannhet behövs det fler bas-splines än de som erhålls ur Cox-de-Boors rekursionsformel, vilket kan uppnås genom en teknik som kallas för rutnätsutvidgning [1]. Ekvation (7) anger antalet parametrar efter att rutnätsutvidgning tillämpats.

$$|e| = t - (k + 1) + 2k = t + k - 1 \quad (7)$$

2.3.2 Antalet parametrar i ett KAN

Enligt samma motivering som för MLPs är antalet parametrar hos ett KAN av intresse att erhålla. Antalet i en enskild nod ges av

$$P_{nod} = |e||V| = (t + k - 1)|V| \quad (8)$$

Där $|e|$ betecknar antalet basfunktioner och ges av ekvation (7), och i praktiken tillämpas rutnätsutvidgning. $|V|$ anger antalet kanter in i noden, t är antalet knutpunkter och k är graden hos basfunktionerna. Ett lager består av flera noder och har

$$P_{lager} = N_{lager}P_{nod} = N_{lager}|V|(t + k - 1) \quad (9)$$

antal parametrar. Ett KAN består av flera lager och har därmed följande antal parametrar;

$$P_{KAN} = \sum_{lager=1}^n P_{lager} = \sum_{lager=1}^n N_{lager}(t + k - 1)|V|. \quad (10)$$

2.4 Beviside av KAT

Beviset till KAT består av två delar, ett för den inre summan och ett för den yttre. Idén till den första halvan bygger på att dela upp enhetslinjen E^1 i segment beroende av n som betecknas $A_{k,i}^q$, och definieras enligt följande;

$$A_{k,i}^q = \left[\frac{1}{(9n)^k} \left(i - 1 - \frac{q}{3n} \right), \frac{1}{(9n)^k} \left(i - \frac{1}{3n} - \frac{q}{3n} \right) \right]. \quad (11)$$

Där n är dimensionen och följande index uppfyller $1 \leq p \leq n$, $1 \leq q \leq 2n + 1$, $k = 1, 2, \dots$ och $1 \leq i \leq (9n)^k + 1$. Sedan definieras kuber S_{k,i_1,\dots,i_n}^q på E^n genom att använda $A_{k,i}^q$ på följande sätt

$$S_{k,i_1,\dots,i_n}^q = \Pi_p A_{k,i_p}^q. \quad (12)$$

Både segmenten och kuberna har små mellanrum mellan sig, men tillsammans över alla q täcker de varje punkt i E^n minst $n + 1$ gånger. Beviset fortsätter med att visa att det går att välja ut konstanter $\lambda_{k,i}^{p,q}$ på intervallen $A_{k,i}^q$ med skillnad mindre än $\frac{1}{2^k}$ till nästa $\lambda_{k,i+1}^{p,q}$, vilket gör att det går att definiera en unik kontinuerlig funktion mellan konstanterna.

Den andra delen av beviset påvisar existensen av de yttre funktionerna Φ^q genom konstruktion som gränsv funktion i en funktionsserie, där $\lim_{r \rightarrow \infty} \Phi_r^q$, $\Phi_r^0 = 0$ och Φ_r^q bestäms med induktion på r ($r > 0$) och heltalen k_r . Låt $f_r(x_1, \dots, x_n) = \sum_{q=0}^{2n} \Phi_r^q \left(\sum_{p=1}^n \phi_{q,p}(x_p) \right)$. Genom att definiera $M_r = \sup_{E^n} |f - f_r|$ blir basfallet i induktionen $f_0 \equiv 0$, $M_0 = \sup_{E^r} |f|$ trivialt. Antag nu att Φ_{r-1}^q, k_{r-1} redan har bestämts, och därmed också f_{r-1} . Eftersom diametern på kuberna $S_{k,i_1,\dots,i_n}^q \rightarrow 0$ då $k \rightarrow 0$ kan ett k_r väljas så att $|f - f_{r-1}| \leq \frac{1}{2n+2} M_{r-1}$ på godtycklig kub. För konstanter $\lambda_{k,i_p}^{p,q}$ existerar segmenten $\Delta_{k,i_1,\dots,i_n}^q = [\sum_p \lambda_{k,i_p}^{p,q}; \sum_p \lambda_{k,i_p}^{p,q} + n\epsilon_k]$, som definierar Φ_r^q ;

$$\Phi_r^q(y) = \Phi_{r-1}^q + \frac{1}{n+1} |f - f_{r-1}| \rightarrow |\Phi_r^q(y) - \Phi_{r-1}^q(y)| \leq \frac{1}{n+1} M_{r-1}. \quad (13)$$

Utanför dessa segment definieras Φ_r^q godtyckligt, så de uppfyller olikheten ovan. $f - f_r$ evalueras på en godtycklig punkt $x \in E^n$, vilket ger

$$f(x) - f_r(x) = f(x) - f_{r-1}(x) - \sum_q [\Phi_r^q \left(\sum_p \phi^{p,q}(x_p) \right) - \Phi_{r-1}^q \left(\sum_p \phi^{p,q}(x_p) \right)]. \quad (14)$$

Oavsett om x ingår i S_{k,i_1,\dots,i_n}^q för varje term i summan över q eller inte, kan då summan begränsas av $\frac{1}{2n+2} M_{r-1} + \frac{1}{n+1} M_{r-1} = \frac{2n+1}{2n+2} M_{r-1}$. I sin tur gäller $\sup_{E^n} |f - f_r| = M_r \leq \left(\frac{2n+1}{2n+2} \right)^r M_0$ och $\lim_{r \rightarrow \infty} M_r \rightarrow 0$. Därmed kommer Φ_r^q konvergera uniformt mot Φ^q då $r \rightarrow \infty$. Det fullständiga beviset till KAT finns i [2].

2.5 Sprechers modifiering av KAN

David Sprecher föreslog 1965 en alternativ formulering av Kolmogorov-Arnolds representationssats, som skrevs ner på följande sätt i [7].

Sprechers formulering av Kolmogorov-Arnolds representationssats

För varje tal $N \geq 2$ existerar det en reell, monoton växande funktion $\psi(x) \in Lip[\ln 2 / \ln(2N + 2)]$, $\psi\xi = \xi$, beroende av N , som har den följande egenskapen:

För varje förutbestämt nummer $\delta > 0$ existerar ett rationellt nummer ϵ , $0 < \epsilon \leq \delta$, sådant att för $2 \leq n \leq N$ gäller det att för varje reell kontinuerlig funktion med n variabler $f(x)$, definierad på ξ^n , har följande representation

$$f(\mathbf{x}) = f(x_1, \dots, x_n) = \sum_{0 \leq q \leq 2n} \chi \left[\sum_{1 \leq p \leq n} \lambda_p \psi(x_p + \epsilon q) + q \right]. \quad (15)$$

Den största skillnaden mellan denna formulering och originalet är att i Sprechers notation har endast en funktion i varje summa, där den inre skalas och transformeras. Sprecher framställde ytterligare en representation år 1996, som visar att den yttre funktionen kan bytas ut mot $2n$ funktioner som är anpassade för varje q . Den yttre q -termen behövs därmed inte i den inre summan.

Sats (Sprecher, 1996)

Varje kontinuerlig funktion $f : I^n \rightarrow \mathbb{R}$ kan representeras som en summa av kontinuerliga reellvärda funktioner:

$$f(x_1, \dots, x_n) = \sum_{q=0}^{2n} \chi_q(y_q). \quad (16)$$

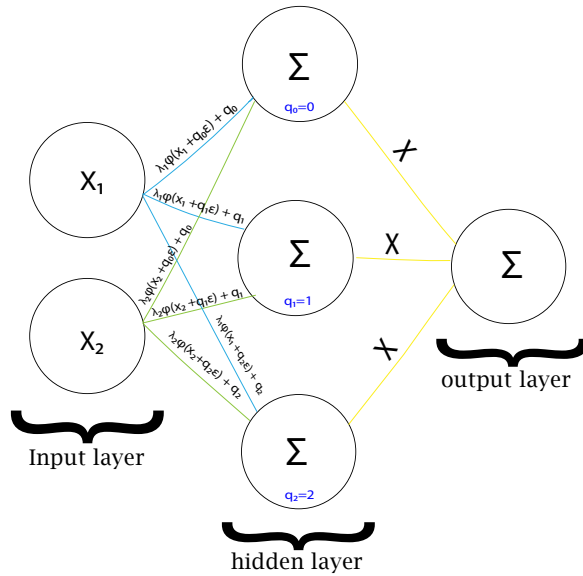
I denna representation är x_1, \dots, x_n parametrar för en inbäddning av I_n i \mathbb{R}^{2n+1} :

$$y_q = \eta_q(x) = \sum_{p=1}^n \lambda_p \psi(x_p + q\epsilon), \quad (17)$$

där ψ är en kontinuerlig reellvärd funktion och lämpliga konstanter λ_p och ϵ . Denna inbäddning är oberoende av f , satsen återfinns i [8].

En inbäddning är en avbildning från diskreta objekt till ett kontinuerligt flerdimensionellt vektorrum. I ett neuralt nätverk appliceras inbäddningar mellan lager, när utdatan transformeras till indatan i ett annat lager. Inbäddningar till högre dimensioner, alltså fler neuroner, kan ge nästa lager mer uttrycksfulla eller abstrakta egenskaper att arbeta med [9].

Enligt ovan, har Sprechernätverk endast en lärbar aktiveringsfunktion mellan varje gömt lager. Denna skalas sedan med en vikt λ_p , för varje inmatningsnod, och transformerar indatan med termen ϵq för varje neuron i nästa lager. Antalet λ -parametrar är lika många som summan av alla neuroner i alla lager borträknat de två sista, det finns lika många ϵ -parametrar som gömda lager minus ett. Till följd av detta faktum har SKAN betydligt färre parametrar jämfört med KAN. Sista inbäddningen görs antingen med en aktiveringsfunktion eller med en funktion per neuron i sista gömda lagret, vilket innebär fler parametrar. Nedan är ett exempel på ett nätverk baserat på ekvation (15).



Figur 4: Struktur på ett SKAN-nätverk.

2.6 Tidigare resultat Sprecherrepresentation

Forskningen och framgången av SKAN har varit begränsad, främst på grund av den komplexa naturen av den inre funktionen ψ . David Sprecher, matematikern bakom satsen, gav år 1997 en algoritm för beräkningen av den inre funktionen. Denna algoritm var däremot felaktig eftersom de inre funktionerna ψ inte var kontinuerliga. Detta åtgärdade Mario Köppen med en ny algoritm, återgiven i [10]. Dessa funktioner, även kallade Köppenfunktioner, är pseudofraktala och konstanta nästan överallt [10]. Den yttre funktionen fungerar då som en uppslagsmetod, då $f(x)$ ger värdet av χ under avbildningen av transformationen av ψ . Dessa beräkningar som skulle behövas för ett neuralt nätverk är däremot svåra och ineffektiva [11]. I [10] ger Sprecher en uppdaterad, mer parallelliserad algoritm för ett neuralt nätverk för funktioner av endast två variabler. I [11] används en universell Köppen-inbäddning oberoende av f och för yttre lagret används en Generalized Additive Model (GAM). De visar att denna modell kallad K-GAM möjligen kan vara ett alternativ till transformer-nätverk, med fördel av färre parametrar.

2.7 Faltningsnätverk

Ett *faltningsnätverk* är en variant av neurala nätverk som typiskt lämpar sig väl för applikationen bildanalys [3]. Detta nätverk består av en *faltningskomponent* och en MLP-komponent. Syftet med att implementera denna teknik är att extrahera egenskaper ur lokala regioner i bilden, istället för att träna ett nätverk på bildens färgvärden i pixlarna som motsvarande klassificering av en MLP gör. Tekniken använder filter, vilket är mindre matriser med kvadratisk struktur. Dessa appliceras stegvis, pixel för pixel, och beräknar en skalärprodukt mellan filtret och den lokala regionen i bilden [3]. Detta definieras för ett kvadratisk filter med p pixlar i vardera dimension

$$u_{m,n,k}^{l+1} = \sum_{i=1}^{p_l-1} \sum_{j=1}^{p_l} \sum_{k=1}^{p_l} u_{m+i,n+j,k}^l w_{i,j,k}^l, \quad (18)$$

där u är värdet för faltningen i dess *interna* lager k i lager $l + 1$ och spatiell position (m, n) . I ekvationen ovan är p_l värdet av filtret i lager l och $w_{i,j,k}$ är värdet i kanal k av filtret i spatiell position (i, j) . Filtret sveper rad för rad, utan att överskrida bildens gränser i någon dimension, där samtliga möjliga steg ger indatan till nästa faltningslager i nätverket. När flera filter används svarar dessa mot olika egenskaper i bilden, där egenskapernas komplexitet stiger i takt med lagrens ordning. Datan till första lagret av ett faltningsnätverk är av tvådimensionell representation, men när filter appliceras skapas lika många interna lager i datan till kommande lager, vilket ger ett internt djup. I det sista lagret av faltningskomponenten konverteras datan till endimensionell, som sedan förs till en MLP som tränas på den [3].

2.8 Bakåtpropagering

Parametrarna i nätverket tränas för att finna en *optimal* uppsättning som minimerar förlusten mellan data och nätverkets prediktioner. Detta görs med avseende på ett förutbestämt optimeringskriterium, där nätverket tränas genom en algoritm som kallas *bakåtpropagering*. Algoritmen är en iterativ process som uppdaterar parametrarna individuellt med avseende på en inlärningshastighet samt förändringen i nätverkets förlust med avseende på respektive parameter. Denna förändring bestäms med hjälp av kedjeregeln för partiella derivator applicerad på sammansättningar av funktioner i nätverket [3].

2.8.1 Vägar genom nätverket

Varje väg genom nätverket utgör en sammansättning av funktioner som beskriver hur data transformerar genom nätverket. För att bestämma hur en enskild parameter påverkar nätverkets förlustfunktion används en rekursiv algoritm som lager för lager, summerar bidraget från alla vägar mellan förlusten och parametern [3]. Eftersom varje nod är kopplad till flera andra noder uppstår många funktionella vägar. En parameter påverkar nätverkets förlust genom flera sådana vägar, och dess uppdatering beräknas som en summa av produkter av partiella derivator av aktiveringsfunktioner längs respektive väg.

2.8.2 Partiella derivator för sammansättning

Samtliga parametrars påverkan uttrycks genom partiella derivator som faktoriseras. Den första termen beskriver hur förlusten beror på nätverkets utvärde $\frac{\partial L}{\partial o}$, som bestäms av förlustfunktionen. För att beräkna förlustfunktionens beroende parameterförändring definieras följande samband för alla bakåtgående vägar v_1, v_2, \dots, v_n ;

$$\frac{\partial L}{\partial c_{v_{l-1}, v_l}} = \frac{\partial L}{\partial o} \underbrace{\left[\sum_{[v_l, v_{l+1}, \dots, v_k, o] \in \mathcal{V}} \frac{\partial o}{\partial v_k} \prod_{i=l}^{k-1} \frac{\partial v_{i+1}}{\partial v_i} \right]}_{\text{Summan av alla vägar genom nätverket}} \frac{\partial v_l}{\partial c_{v_{l-1}, v_l}}, \quad (19)$$

där L är förlustfunktionen, och o är det sista lagret som motsvarar nätverkets genererade värden. $c_{l-1, l}$ är en parameter i nätverket mellan lager $l-1$ och l och v_k motsvarar de steg som kan tas för samtliga vägar för noderna i lagret l där \mathcal{V} är mängden av alla vägar mellan v_l och o [3].

2.8.3 Uppdatering av parametrar

I *bakåtpropagerings*-algoritmen är stegets magnitud en produkt av inlärningshastigheten och den partiella derivatan av förlustfunktionen med avseende på den individuella parametern alternativt en adaptiv modifiering av den. Detta beskrivs av

$$c_{v_{l-1}, v_l} \leftarrow c_{v_{l-1}, v_l} - \eta \frac{\partial L}{\partial c_{v_{l-1}, v_l}}, \quad (20)$$

där η beskriver inlärningshastigheten för nätverket [3]. Termerna i ekvation (19) bestäms annorlunda beroende på val av nätverk samt optimeringsalgoritm.

2.8.4 Uppdatering för MLP

För klassiska MLPs kan termerna i ekvation (19) faktoriseras i flera separata bidrag, vilka definieras nedan.

- $\frac{\partial L}{\partial o}$: Partiell derivata av förlustfunktionen med avseende på utvärdena från nätverket. Denna bestäms av vilken förlustfunktion som väljs.
- $\frac{\partial o}{\partial v_k}$: Den partiella derivatan av utvärdet med avseende på lagret innan. Den partiella derivatan för varje sammanslutning kan faktoriseras i två termer. Den ena termen utgörs av parametern som är kopplad till sammanslutningen, medan den andra representerar den partiella derivatan av aktiveringsfunktionen som används i noden för utvärdet.
- $\frac{\partial v_i}{\partial v_{i+1}}$: Denna term liknar den föregående, men för sammanslutningar mellan noder i tidigare lager än det sista. Även denna kan faktoriseras i två termer likt ovan.

- $\frac{\partial v_l}{\partial c_{v_{l-1}, v_l}}$: Denna term beskriver enbart parametrarnas inverkan på förändring i efterföljande lager. För ett neuralt nätverk motsvarar detta derivatan av aktiveringsfunktionen multiplicerat med indatan till parametrarna c_{v_{l-1}, v_l} i nod v_{l-1} .

2.8.5 Uppdatering för KANs

Likt för MLPs kan KANs faktoriseras enligt ekvation (19). Bidragen definieras nedan.

- $\frac{\partial L}{\partial \sigma}$: Likt MLPs, bestäms denna term av vilken förlustfunktion som väljs.
- $\frac{\partial \sigma}{\partial v_k}$: För KANs är förändringen i sammanslutningen beroende av justerbara parametrar i linjärkombinationer med bestämda basfunktioner. Linjärkombinationen definierar sammanslutningens aktiveringsfunktion.
- $\frac{\partial v_i}{\partial v_{i+1}}$: Likt föregående beskrivs denna term av derivatan av linjärkombinationen som evalueras med indatan för sammanslutningen.
- $\frac{\partial v_l}{\partial c_{v_{l-1}, v_l}}$: Denna term beskriver hur förändringen i kommande lager beror på parametrarna. Detta motsvarar basfunktionerna, i och med att varje term i linjärkombinationen är linjär som funktion av dess parameter. Därmed blir denna parameterspecifik, med dess motsvarande basfunktion evaluerat med indatan.

2.8.6 Optimeringsalgoritm

För att träna nätverken används en *optimerare*. Denna optimerare uppdaterar parametrarna iterativt. I detta arbete används primärt optimeringsalgoritmen *AdamW*, en utvecklad version av *Adam*-algoritmen. *Adam* beskriver en uppdateringsprocess där hänsyn tas till ett exponentiellt glidande medelvärde av gradienten samt den kvadrerade gradienten [12]. Stegets storlek är adaptivt och anpassas utifrån tidigare gradientinformation för att undvika för stora hopp. Steget definieras

$$c_{v_{l-1}, v_l} \leftarrow c_{v_{l-1}, v_l} - \eta \frac{\hat{m}_t}{\sqrt{\hat{v}_t + \epsilon}}, \quad (21)$$

där \hat{m}_t benämns som första moment, vilket är ett exponentiellt glidande medelvärde av tidigare gradienter. \hat{v}_t benämns det andra momentet och är ett exponentiellt glidande medelvärde av gradienternas kvadrater. Parametern ϵ är ett mycket litet positivt tal för att undvika division med noll. Uppdateringen balanseras i riktning av det första momentet och i storlek av det andra momentet [12]. Optimeringsalgoritmen *AdamW* liknar *Adam* men använder sig även av en regulariseringsteknik; *viktregularisering* [13]. Denna teknik beskrivs i kommande avsnitt.

2.8.7 L2-regularisering och viktregularisering

Ett fenomen som är frekvent inom träningen av komplexa neurala nätverk är att modellen övertränas på datan. Modellen skapar så starka relationer till den tillgängliga datan att den presterar sämre på data från samma uppsättning som modellen inte har exponerats för under träningen. Parametrarnas magnituder är inte uniformt distribuerade över nätverket. En teknik för att undvika detta är *L2-regularisering*, som bygger på att vid *bakåtpropagering* bestraffa stora vikter genom att addera en term till deras förlustfunktion i ett lager. Förlustfunktion i lager l vid uppdatering av parametrar definieras då

$$L_w = L + k \sum_{i=0}^d c_{i,l}^2, \quad (22)$$

med parameter i i lager l , där k är en liten konstant. När parametrarna kvadreras bestraffas stora parametrar eftersom det leder till en större förlust [3]. För somliga optimeringsalgoritmer är denna ekvivalent med *viktregularisering*, men i fallet när *Adam*-algoritmen tillämpas skiljer den sig [13]. I stället för att tillämpa regulariseringstermen på förlustfunktionen, tillämpas den på steget. Denna term är inte involverad i beräkandet av de exponentiellt glidande medelvärdena. Detta är fördelaktigt eftersom regulariseringen inte påverkar den skalning som *Adam*-algoritmen utför, utan tillämpas separat direkt på vikterna i uppdateringssteget [13]. *Viktregularisering* tillämpas till *AdamW*-algoritmen genom parametern *weight_decay*.

3 Metod

Metoden för detta projekt bygger primärt på att utnyttja teorin ovan för att konstruera nätverk av typen KAN och SKAN. Dessa kommer att jämföras för olika strukturer i *tre* experiment. Det första experimentet undersöker en funktionsregression av en simpel funktion, $f(x) = 4xy^2$, som approximeras med hjälp av tre olika sorters nätverk. I det andra experimentet presenteras en komplexare funktion; en bild vars gråskalevärden är en funktion av koordinaterna. Det tredje experimentet undersöker nätverkens prestation vid bildklassificering, där de jämförs med faltningsnätverk. Initialt beskrivs implementationen, för att sedan mynna ut i en beskrivning av de experiment och de krav som ställs på dem. Implementationen av KANs samt analys återfinns i appendix C.1, och likartat för SKANs återfinns i appendix C.2.

3.1 Implementation

Nätverken i experimenten byggdes i Python med biblioteket *PyTorch*. *AdamW*-algoritmen och förlustfunktionen MSE användes för bakåtpropagering. I vissa fall användes även en schematisk successivt minskande inlärningshastighet för stabilare träning. Nätverken tränades i ett bestämt antal epoker för att fastställa bra resultat och ta hänsyn till att nätverken kan behöva längre träning. Aktiveringsfunktionerna är konstruerade som en viktad summa av en bas-spline-parametrisering och en Silu-funktion:

$$\phi(x) = w_1 \cdot \text{B-spline}(x) + w_2 \cdot \text{Silu}(x).$$

Bas-spline-parametrarna initierades slumpmässigt, normalfördelade kring 0 med standardavvikelse 0.1. Vikterna initieras som 1 för B-spline-parametriseringen och enligt Xavier-initialisering för Silu-funktionen, tillvägagångssättet följer det i [1]. Knutintervallen är förutbestämda och bestäms utifrån maximala absolutvärdet av aktiveringarna och är symmetriska kring 0 med längd marginellt större än två gånger den maximala aktiveringen.

3.1.1 KAN

Utgångspunkten för KAN är Kolmogorov-Arnolds representationssats. Parametrarna mellan två lager för linjärkombinationerna lagrades i en lista av tensorer. En linjärkombination av basfunktionerna och parametrarna utgör aktiveringsfunktionerna mellan samtliga par av noder två lager sinsemellan. Detta resulterar i att de tre dimensionerna i ordning motsvarar vilken nod i det första lagret det är, de parametrar som den aktiveringsfunktionen har och vilken nod i det andra lagret det är. Samtliga funktionsvärden av de variabler som förts till lagret beräknades sedan och lagrats i en matris. Denna matris satsmultiplicerades parametertensorn, vilket frambringade utvärdena för den funktionen. Koden som beräknar basfunktioner återfinns i appendix C.1.2. Algoritmen som valdes vid optimering var *AdamW*, vilket finns implementerat i *PyTorch*-biblioteket och beskrivs utförligt i avsnitt 2.8.

Enligt Kolmogorov-Arnolds representationssats är sambandet ett KAN som beskriver en sammansatt funktion. Eftersom att funktionerna inte är monotona och kan skilja sig avsevärt mellan två närliggande punkter, kan två variabelvärden nära varandra ge betydligt annorlunda funktionsvärden. Denna avvikelse ackumuleras för varje samband som appliceras på variabelvärdet. För att motverka potentiellt kaotiskt beteende som modellen kan uppvisa vid träning, användes två tekniker; att använda samma uppsättning basfunktioner för samtliga aktiveringsfunktioner och att träna nätverken försiktigt med låg inlärningshastighet på små satser av data. Detta motverkar stora gradienter och minimerar risken för kaotiskt beteende under träningen.

3.1.2 SKAN

Utöver KANs har ett flertal neurala nätverk baserat på Sprechers satser byggts och utformats. Till följd av undermålig prestanda har en del nätverk korrigerats med nya termer och parametrar för att förbättra nätverkens prestation och därmed divergerat en aning från de ursprungliga satsrepresentationerna. Modellerna utgår från att den inre funktionen är optimerbar för funktionen i fråga och inte en global inbäddning som skall fungera för alla funktioner, samma utgångspunkt som i [1].

Dessa nätverk implementeras genom att en tensor med förra lagrets utdata skapas och till den adderas translationen ϵq till varje kolumn utifrån vilket kolumnindex q i tensorn som motsvarar noden q i lagret. Lagrets aktiveringsfunktion appliceras elementvis på tensorn, sedan multipliceras $\lambda_{p,q}$ med matchande element på index p, q och efter adderas eventuell q -term, utifrån kolumnindex. Till sist adderas tensorn längst raderna och resulterande tensor är det lagrets utdata. Tensorns kolumner representerar noderna i lagret och raderna det tidigare lagrets noder, tensorns djup står för satsstorleken och innehåller alla sådana prov. Nätverken som baserats på ekvation (16)

fungerar som ovan förutom sista lagret som fungerar som ett vanligt KAN-lager, med en aktiveringsfunktion per nod. Där appliceras varje sådan elementvis per kolumn i tensor. Parametrarna för aktiveringsfunktionerna, samt variablerna λ, ϵ sparas som optimerbara tensorer i modellerna.

Nätverken baseras på att de klassiska representationerna var bristfälliga. Det föranledde idén att implementera individuella $\lambda_{p,q}$ för varje anslutning av noder, likt vikter i ett FFNN. För att öka nätverkets flexibilitet ersattes också i vissa fall termen $\epsilon \cdot q$ med enskilt ϵ_q för varje nod istället. Nedan följer modellernas utformning utefter representation.

Modell	Representation	Kommentar
SprecherOrg	$\sum_q \chi \left[\sum_p \lambda^p \psi(x_p + \epsilon q) + q \right]$	Ursprunglig representation från [7], med endast ett λ .
SprecherMulti	$\sum_q \chi \left[\sum_p \lambda_p \psi(x_p + \epsilon q) + q \right]$	Representation enligt Sprechers modifiering.
SprecherBrown	$\sum_q \chi_q \left[\sum_p \lambda_p \psi(x_p + \epsilon q) \right]$	$\epsilon = \frac{1}{(2n+1)(2n+2)}$ från Browns modifieringar återgivet i [11].
SprecherSingle	$\sum_q \chi \left[\sum_p \lambda^{p,q} \psi(x_p + \epsilon q) \right]$	Representation från [7], endast ett λ .
Sprecher96Pro	$\sum_q \chi_q \left[\sum_p \lambda_p \psi(x_p + \epsilon_q) \right]$	Representation utifrån 16 med generaliserat ϵ .
SprecherSpecial	$\sum_q \chi \left[\sum_p \lambda_p \psi(x_p + \epsilon_q) + q \cdot r \right]$	SprecherMulti med generaliserat ϵ och optimerbart r .
SprecherLambda	$\sum_q \chi \left[\sum_p \lambda_{p,q} \psi(x_p + \epsilon_q) \right]$	SprecherMulti med generaliserade λ och ϵ .
SprecherComb	$\sum_q \chi_q \left[\sum_p \lambda_{p,q} \psi(x_p + \epsilon_q) \right]$	Sprecher96Pro med generaliserade λ .

3.2 Datahantering och val av strukturer

För att jämföra KAN och SKAN med klassiska neurala nätverk krävs ett tydligt och enhetligt experiment, samt att samma data används för att träna samtliga nätverk. För att skapa ett resultat som inte är missvisande delades all data upp i två delar. Den ena delen användes till att träna modellen och den andra till att testa modellens prestation. För att maximera modellens generaliseringsförmåga valdes majoriteten av all data till träningsdelen, med restriktionen att testmängden var av storlek att kunna möjliggöra statistiskt tillförlitliga resultat. Till regressionsexperimentet användes 80 % av all data till att träna modellerna och 20 % till att testa modellerna. All data för funktionen genererades slumpmässigt för ett antal *seeds*.

För att skapa rättvisa resultat är nätverksstrukturen en viktig aspekt. Målet med konstruktion av nätverken var att vara så konsistent som möjligt för att möjliggöra en enhetlig analys, vilket leder till att det huvudsakliga målet är att nätverken har jämförbara parameterantal. Sekundärt prioriterades djupet, antalet lager som nätverket har, där det var eftersträvat att nätverken hade lika djup. Utöver detta var det viktigt att antalet noder i de gömda lagren, mellan det första och det sista lagret, var jämnt fördelade. Detta sprider ut noderna, vilket är viktigt för att inte alla betydande sammanslutningar ska koncentreras i ett lager.

3.3 Bakåtpropagering

För att optimera parametrarna krävs en algoritm som beskriver processen. I detta projekt implementerades den automatiskt differentierande *PyTorch*-funktionen. Bibliotekets algoritm baseras sig på implementationen i avsnitt 2.8. Den automatiska *PyTorch*-funktionen bygger en beräkningsgraf av tensorer. Beräkningsgrafens i sin helhet motsvarar samtliga operationer som verkar på tensorerna i nätverket. Modulen beräknar gradienter för samtliga steg, där dessa sparas i tensorernas datastruktur. För detta är det viktigt att inkludera argumentet *requires_grad = True* för samtliga tensorer som förändras i beräkningsgrafens, samt listan för modellens parametrar. När dessa gradienter sedan är beräknade görs en uppdatering enligt ekvation (20).

3.4 Experiment 1: Funktionsanalys

Målet med det första experimentet var att så rättvist som möjligt jämföra MLP med KAN och SKAN. I detta experiment användes slumpmässigt genererad data från funktionen i ekvation (23).

$$f(x) = 4xy^2, \quad x, y \in (-2, 2) \quad (23)$$

För att vara konsekvent med vilken data som användes samma data för samtliga nätverk. Denna data genererades för ett specifikt antal *seeds*, för *seed* noll till nio, där ett medelvärde av medelabsolutfel beräknades. Detta gjordes eftersom optimeringsalgoritmen riskerar att fastna i ett lokalt minimum av förlustfunktionen, vilket förhindrar fullständig optimering. Experimentet baserades på 10000 datapunkter, där nätverken hade olika strukturer, framtagna för ett specifikt parameterantal. Strukturerna som nätverken benämns med motsvarar antalet noder i samtliga lager av nätverken.

Det primära jämförelseobjektet var modellernas medelabsolutfel på all testdata. Felen jämfördes inom en typ av nätverk, samt mellan typerna i förhållande till antalet parametrar som nätverken har, då den relativa prestationen var den intressanta jämförelsen.

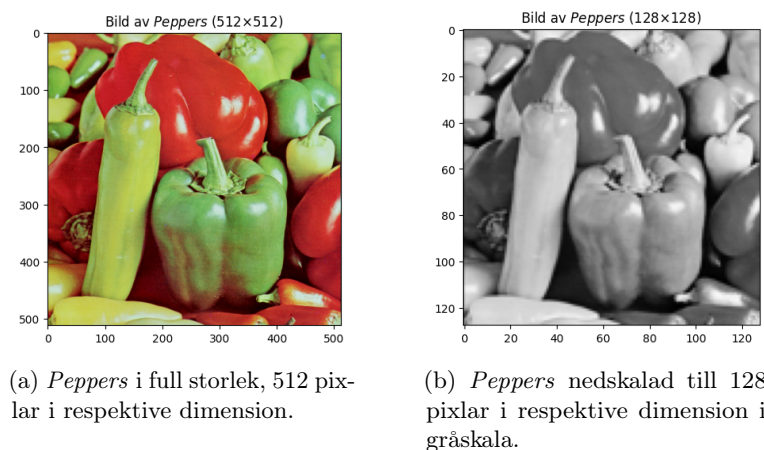
För att ställa upp en konsekvent analys av nätverken och minimera antalet felkällor som kan bidra till resultatet krävdes ett antal villkor. Villkoren definieras nedan.

- På grund av olika strukturer med olika konvergenstakt tränas de över olika antal epoker.
- AdamW används som optimeringsalgoritm med $weight_decay = 0.01$ och en schematisk inlärningshastighet som successivt minskades efter nätverket propagerat träningsdatan ett antal gånger.
- Nätverk av parameterantal omkring 50, 100, 200, 500 och 1000 parametrar jämförs. Exakt antal ska avvika så lite som möjligt.
- Tio *seeds*, samtliga mellan noll och nio, används till beräkning av MAE.
- Strukturer med två indata och en utdata används.

3.5 Experiment 2: Bildregression och rekonstruktion

Målet med det andra experimentet var att se hur väl de olika nätverken kan lära sig en mer komplex funktion genom bildregression; en gråskalebild. För att jämföra detta användes en klassisk maskininlärningsbild för att se hur väl de olika nätverken kan lära sig gråskalevärdena som en funktion av pixelkoordinater. För experimentet normaliserades både gråskalevärden och koordinater vid träning av modeller. Bilden som användes heter *Peppers* och är en klassisk testbild inom bildbehandling. Bilden kommer från databasen *USC-SIPI* [14]. Denna bild visas i figur 5. Till följd av att datamängden ökar kraftigt när färger används valdes bilden att hanteras i gråskala. Även granulariteten reduceras i syftet att krympa datamängden.

Den andra delen av experimentet är bildrekonstruktion, där en modell först tränades på bilden i figur 5b, vilken sedan användes till att generera bilder med 32, 64, 128, 256 och 512 pixlar per dimension, med syftet att undersöka modellens interpolering. Rekonstruktioner från 64 pixlar per dimension till 512 utfördes av den bästa modellen. Samtliga rekonstruktioner till 512 pixlar per dimension jämfördes med resultatet från Adobe Photoshops bikubiska rekonstruktionsalgoritm. Samtliga pixlar normaliserades för att utföra detta experiment, med objektet att undersöka hur granulariteten i bilden kan förbättras utan att exponera bilden av den dimension för modellen.



Figur 5: Original- och nedskalad bild av *Peppers*.

Jämförelseobjektet för detta experiment var huvudsakligen förlusten, samt de visuella resultaten. Med anledning av mer komplex funktion, valdes mer komplexa nätverk för att jämföra hur väl de kan lära sig funktionen som bilden svarar mot. Villkoren för experimentet definieras nedan.

- Nätverket tränas ett antal epoker, till den punkt att det inte uppnår en lägre förlust.
- AdamW används som optimeringsalgoritm med $weight_decay = 0.01$ och en schematisk inlärningshastighet som minskas successivt efter antalet tränade epoker.
- Nätverken tränas på parameterantal nära 500, 1000, 2000, 5000 och 10000 med anledning av funktionens höga komplexitetsgrad. Parameterantal ska avvika minimalt.
- Endast en *seed* används för att träna nätverken, eftersom en bild ska genereras.

3.6 Experiment 3: Bildklassificering

Syftet med det tredje experimentet var att jämföra hur KAN presterar på bildklassificering, samt att jämföra dess prestanda med faltningsnätverk, som är speciellt konstruerade för att extrahera egenskaper ur lokala regioner i bilder. Det stöd som finns för att KANs kan vara effektiva är att varje aktiveringsfunktion kan tränas för att skapa ett samband som beskriver flera indata i en lokal region. Dessa behöver inte vara monotont växande likt för MLPs, vilket i kombination med interpoleringar resulterar i en liknande detektion av lokala egenskaper.

Det dataset som användes heter *Pneumonia MNIST* och består av röntgenbilder för patienter med lunginflammation. Bilderna är i gråskala med 28 pixlar per dimension, med objekt att predicera om patienten har lunginflammation eller inte. Till varje bild hör en etikett som indikerar detta. Tränings- och testdel av dataset består sammanlagt av 5332 bilder, varav 4708 är träningsfall och 624 är testfall. Datasetet består av 1640 friska fall och 4216 drabbade fall, vilket indikerar att det är obalanserat. Detta kompenseras för genom att generera en större förlustgradient för den underrepresenterade klassen av datasetet. Därmed gjordes träningen opartisk oavsett klassernas storlek. En uppsättning av fyra bilder ur dataset, med deras respektive etikett, visas i figur 6.



Figur 6: Uppsättning av fyra bilder ut datasetet *Pneumonia MNIST* med deras respektive etikett. I andra och tredje bilden visas drabbade patienter, medan friska patienter demonstreras i första och fjärde bilden.

I detta experiment användes sju parametrar per basfunktion av anledningen att detta lämpar sig väl för att få ett parameterantal likt dem som önskas att jämföras. I detta experiment är antal parametrar per basfunktion endast det som justerades, eftersom att lägga till ett gömt lager inte kommer bidra till ett rättvist resultat. Detta är eftersom att ett fåtal aktiveringsfunktioner måste lära sig all information på ett fåtal parametrar, vilket resulterar i att träffsäkerheten blir avsevärt sämre. Därav valdes det istället att använda fler basfunktioner per aktiveringsfunktion och att bara ha ett lager av sammanslutningar för att optimera verkningsgraden av parametrarna.

4 Resultat

Resultatet från applicering av metoden var att SprecherComb presterade bäst när en enkel funktion testades. Under bildregressionen hade SprecherLambda bäst prestanda. Specifikt för regressioner har SKAN-varianterna visat att de har god potential att lära sig mycket komplexa samband med ett sparsamt antal parametrar. Under klassificeringen presterade faltningsnätverken bäst.

4.1 Experiment 1: Funktionsanalys

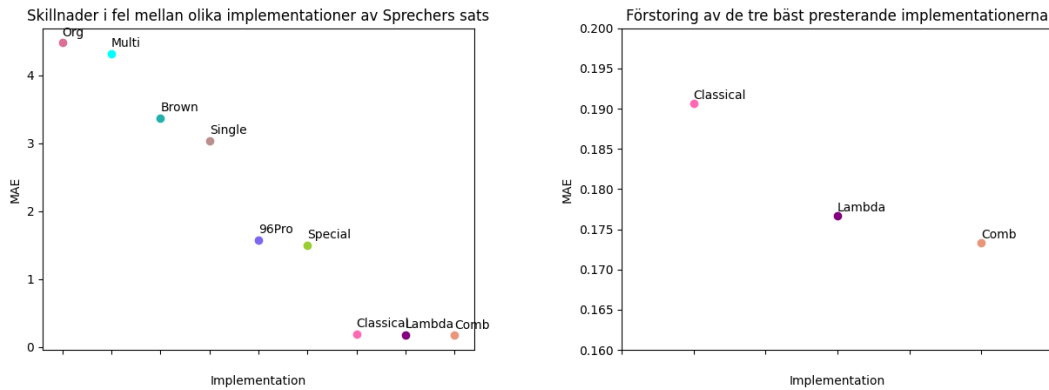
Nedan följer resultaten som producerats under test av nätverken med data av funktionen i ekvation (23). Strukturen som presenteras i tabellen indikerar hur nätverket är konstruerat, med antalet noder i respektive lager. Medelabsolutfelet avtar med antalet parametrar i nätverket.

Resultatet för KAN som tränats 500 epoker med satsstorlek 250 presenteras i tabell 2.

Tabell 2: MAE för KAN för funktionen $f(x) = 4xy^2$.

Nätverk	Struktur	Parametrar per aktiveringsfunktion	Antal parametrar	MAE
1	2-2-1	8	48	0.1779
2	2-4-1	8	96	0.1016
3	2-5-1	8	120	0.0892
4	2-3-5-1	8	208	0.0938
5	2-5-9-1	8	512	0.0677
6	2-10-10-1	8	968	0.0586
7	2-7-6-1	16	992	0.0749

Nedan syns skillnaderna i resultat för olika implementationer av SKAN-nätverk, där alla modeller har testats på ett 2 – 5 – 5 – 1 nätverk med 16 parametrar per basfunktion. Figur 7 visar tydligare skillnaden på de tre bäst presterande modellerna, där "Classical" är ett KAN-nätverk.



(a) Skillnader i prestanda mellan de olika implementationerna av Sprechers sats. Förtydligande av skillnaderna mellan de tre bäst presterande modellerna.

Figur 7: Översikt över modellprestanda.

Eftersom Lambda och Comb är de två modellerna som presterar bäst, är det dessa två som testas i tabellerna nedan. Varje struktur tränas över 200 epoker.

Tabell 3: MAE för SprecherLambda för funktionen $f(x) = 4xy^2$.

Nätverk	Struktur	Parametrar per aktiveringsfunktion	Antal parametrar	MAE
1	2-5-1	6	31	0.1113
2	2-9-1	6	49	0.0950
3	2-7-3-1	16	99	0.1879
4	2-11-9-1	16	195	0.0524
5	2-15-12-11-1	26	492	0.0289
6	2-15-20-24-1	36	1021	0.0304
7	2-25-20-15-1	26	1022	0.0261

Tabell 4: MAE för SprecherComb för funktionen $f(x) = 4xy^2$.

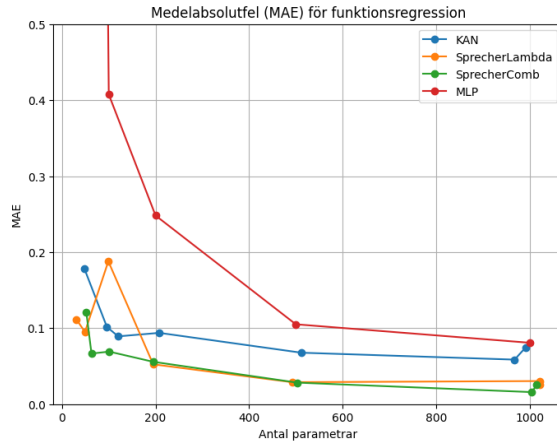
Nätverk	Struktur	Parametrar per aktiveringsfunktion	Antal parametrar	MAE
1	2-4-1	6	52	0.1206
2	2-5-1	6	63	0.0666
3	2-7-4-1	6	101	0.0691
4	2-5-6-1	16	195	0.0557
5	2-12-9-7-1	26	503	0.0284
6	2-13-14-16-1	26	1005	0.0159
7	2-10-11-15-1	36	1015	0.0253

Tabell 5 presenterar resultatet för MLPs.

Tabell 5: MAE för MLP som tränats över 500 epoker med satsstorlek 250 för funktionen $f(x) = 4xy^2$.

Nätverk	Struktur	Antal parametrar	MAE
1	2-3-4-4-1	50	3.6397
2	2-5-6-6-1	100	0.4074
3	2-9-10-6-1	200	0.2482
4	2-15-16-11-1	500	0.1051
5	2-15-27-18-1	1000	0.0808

Sammantaget bildar de resulterande medelabsolutfelen i tabellerna jämförelsen i figur 8.



Figur 8: Graf över medelabsolutfelen för alla modeller som testats på funktionen $4xy^2$.

4.2 Experiment 2: Bildregression och rekonstruktion

I detta experiment presenteras en mer komplex funktion, bilden *Peppers* i figur 5b, vars pixelns gråskaleväde beskrivs som en funktion av pixels koordinat.

Bildregression Tabell 6 visar KANs prestation på bildregressionen. Dessa har tränats över 500 epoker med satsstorlek 250.

Tabell 6: MAE för KAN för bilden *Peppers*.

Nätverk	Struktur	Antal parametrar	MAE
1	2-5-4-6-1	480	0.0867
2	2-8-8-5-1	1000	0.0652
3	2-10-11-10-1	2000	0.0514
4	2-10-20-13-10-1	4960	0.0411
5	2-20-20-20-20-1	9948	0.0346

Tabell 7 visar resultatet för bildregressionen med olika SprecherLambda modeller. Alla modellerna har 16 parametrar per basfunktion.

Tabell 7: MAE för SprecherLambda för bilden *Peppers*.

Nätverk	Struktur	Antal parametrar	MAE
1	2-19-20-1	511	0.0585
2	2-29-29-1	1011	0.0498
3	2-30-30-30-1	2022	0.0370
4	2-40-40-40-40-1	5090	0.0328
5	2-50-50-50-50-40-1	9948	0.0196

Tabell 8 visar resultatet för bildregressionen med olika SprecherComb modeller. Alla modellerna har 16 parametrar per basfunktion.

Tabell 8: MAE för SprecherComb för bilden *Peppers*.

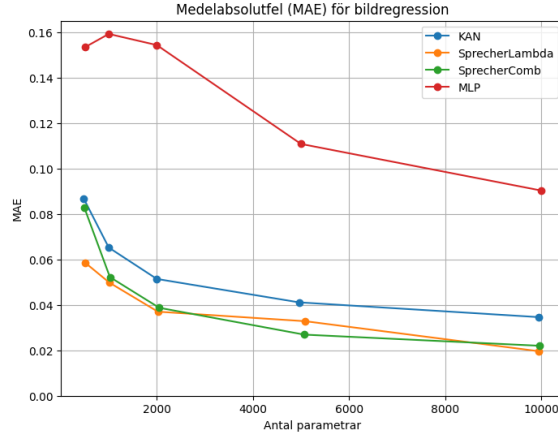
Nätverk	Struktur	Antal parametrar	MAE
1	2-13-13-1	491	0.0828
2	2-17-17-17-1	1024	0.0522
3	2-22-22-22-22-1	2052	0.0387
4	2-37-37-37-37-1	5067	0.0269
5	2-50-50-50-50-30-1	9960	0.0220

Resultaten för bildregression för MLP demonstreras i tabell 9. Dessa nätverk har tränats över 500 epoker med satsstorlek 250.

Tabell 9: MAE för MLP för bilden *Peppers*.

Nätverk	Struktur	Antal parametrar	MAE
1	2-9-10-6-1	500	0.1533
2	2-15-16-11-1	1000	0.1592
3	2-15-27-18-1	2000	0.1543
4	2-25-36-18-1	5000	0.1108
5	2-56-83-60-1	10000	0.0903

Slutligen visar figur 9 skillnaden i fel mellan de olika testade modellerna. De indikerar ett övervägande lågt medelabsolutfel för SKAN-varianterna, medan KANs har aningen högre, följt av MLPs som har nästan dubbelt så stort medelabsolutfel.



Figur 9: Jämförelse av medelabsolutfel för bildregression av bilden *Peppers*. Figuren speglar en avtagande förlust när antalet parametrar ökar.

Rekonstruktion För rekonstruktionen finns resultat från Adobe Photoshop med bikubisk rekonstruktionsalgoritm, och jämförelse med de andra modellerna finns i figur 17 och 18. Samtliga figurer återfinns i appendix A.2.

- KAN-modellen har struktur 2-41-50-43-20-1, 7 parametrar per basfunktion och består av 36134 parametrar totalt, se resultat i figur 14. Det slutliga MAE vid rekonstruktionen var 0.0442.
- SprecherLambdas resultat för en 2-200-100-80-60-40-1 modell med 36188 parametrar totalt finns i figur 15 och 18, med slutligt MAE på 0.0182. Alla modellerna har 16 parametrar per basfunktion.
- SprecherCombs resultat på en 2-200-100-80-60-30-1 modell med 36100 parametrar totalt finns i figur 16, med slutligt MAE på 0.0203. Alla modellerna har 16 parametrar per basfunktion.

4.3 Experiment 3: Bildklassificering

På grund av kraftigt varierande resultat över epokerna som nätverken tränats på har två olika resultat presenterats. Modellen testades under körningen, där resultaten oscillerade kraftigt mot slutet. Därav har det bästa testresultatet samt den avslutande klassificeringsträffsäkerheten noterats. Samtliga nätverk har tränats över 100 epoker med satsstorlek 250. Antal basfunktioner är angivet i hakparenteser efter strukturen i samtliga tabeller.

Resultaten för klassificering av KAN-nätverken presenteras i tabell 10. KAN-nätverken konvergerade snabbt på endast ett fåtal epoker. Se även figurer 19, 20 och 21 i appendix.

Tabell 10: Träffsäkerhet för klassificering av *Pneumonia MNIST*. I tabellen har nätverken samma struktur, men olika antal basfunktioner per aktiveringsfunktion.

Nätverk	Struktur	Parametrar	Bästa träffsäkerhet	Sista träffsäkerhet
1	784-1 [7]	5488	85.90%	85.10%
2	784-1 [13]	10192	82.85%	82.37%
3	784-1 [19]	14896	83.49%	82.85%

Resultaten för klassificering av SprecherLambda visas i tabell 11. Se även figurer 25, 26 och 27 i appendix.

Tabell 11: Träffsäkerhet av SKAN för klassificering av *Pneumonia MNIST*.

Nätverk	Struktur	Parametrar	Bästa träffsäkerhet	Sista träffsäkerhet
1	784-7-1 [16]	5531	87.18%	87.18%
2	784-10-50-50 -1 [16]	11022	88.78%	88.46%
3	784-15-60-60-1 [16]	16457	89.58%	89.58%

Resultaten för klassificering av SprecherComb visas i tabell 12. Se även figurer 28, 29 och 30 i appendix.

Tabell 12: Träffsäkerhet av SKAN för klassificering av *Pneumonia MNIST*.

Nätverk	Struktur	Parametrar	Bästa träffsäkerhet	Sista träffsäkerhet
1	784-7-1 [16]	5639	86.54%	85.10%
2	784-10-40-40 -1 [16]	11604	87.66%	86.70%
3	784-15-60-50 -1 [16]	16739	90.06%	87.66%

Resultaten för klassificeringen med faltningarnätverk presenteras i tabell 13. Se även figurer 22, 23 och 24 i appendix.

Tabell 13: Träffsäkerhet av faltningarnätverk för klassificering av *Pneumonia MNIST*. Nätverksstrukturerna benämner faltningarnätverken som C med storleken på deras filter intill. Efter lagren beskrivs antal filter som appliceras på det lager. Dessa är slutligen sammanslutna med en MLP som tränas på egenskaperna som extraherats av faltningarnätverket. Detta MLP går bara till en nod som predikterar etiketten för bilden. MLP-delen består endast av ett lager.

Nätverk	Struktur	Parametrar	Bästa träffsäkerhet	Sista träffsäkerhet
1	C5-32-C3-16-MLP	5857	87.50%	86.38%
2	C5-32-C3-32-MLP	10881	88.46%	86.38%
3	C5-48-C3-32-MLP	15905	88.94%	85.58%

5 Diskussion

Både KAN- och SKAN-nätverk goda prestanda i experimenten, primärt i regressionsuppgifter. De har möjlighet att lära sig komplexa funktioner med låga fel på bekostnad av högre beräkningskapacitet. De utgör ett alternativ till klassiska MLPs. Gällande klassificering har KAN underpresterat gentemot faltningarnätverk, däremot presterar SKAN likvärdigt. En fördel för faltningarnätverkens över Kolmogorov-nätverken är att de har kortare träningsstid.

5.1 KAN

Resultatet för det första experimentet presenteras i tabell 2. I det första experimentet tränades KAN-nätverken till ett lägre medelabsolutfel för testdata än vad MLP-nätverken lyckades producera. Det bästa medelabsolutfelet som presenteras är 0.0586, vilket kan jämföras med MLP-nätverkets motsvarande 0.0808 samt SKAN-varianterna som presenterar medelabsolutfel av storlek 0.0261 respektive 0.0159. De regressionsfunktioner som skapas, beskrivna i avsnitt 2.3, är mer robusta än de MLP-nätverken lyckas producera. Detta är primärt för att KAN-nätverken har en intern frihetsgrad mellan noderna. Flera icke-linjära funktioner appliceras på variabelvärdena för att sedan summera upp resultatet, vilket skiljer sig från MLP-nätverken vars variabelvärden summeras med dess vikter, för att sedan passera genom en aktiveringsfunktion. När olika funktioner appliceras finns det en större frihet i respons, samt att små förändringar i variabelvärde kan leda till stora variationer i funktionsvärdet. Detta demonstrerar även att approximationer av envariabelfunktioner är lättare att konstruera än de för flervariabelfunktioner, vilket presenteras i avsnitt 1 som den potential som finns för KAN-nätverk. Därav kan KAN-nätverken skapa precisa samband som beskriver funktionen på en större domän till ett sparsamt antal parametrar. KAN-nätverken underpresterar dock gentemot SKAN-varianterna, vilket indikerar den goda potential som finns i SKAN-nätverken och demonstrerar deras höga användningsgrad av dess parametrar. De två sista nätverken visar att under rådande omständigheter, ger åtta parametrar per aktiveringsfunktion bättre resultat än sexton. I sin tur indikerar detta att en mer spridd fördelning av parametrar över fler aktiveringsfunktioner

kan vara fördelaktig, då båda nätverk har omkring 1000 parametrar. Till följd av teorin i avsnitt 2.1 presenteras resultatet att fler funktioner med färre parametrar bättre kan approximera en funktion. Det här är primärt en konsekvens av att aktiveringsfunktionerna innehåller mycket information runt knutpunkterna mellan basfunktioner, där ett bättre icke-linjärt regressions samband skapas. Det är även en konsekvens av att fler aktiveringsfunktioner kan skapa en större värdemängd av en begränsad definitions mängd.

Resultaten för bildregressionen av KAN-nätverken presenteras i tabell 6, där samtliga överpresterade motsvarande MLP. Det bästa medelabsolutfel som presenteras för bilden är 0.0346, varpå SKAN-varianterna av motsvarande parameterantal presenterar ett lägre medelabsolutfel som är 0.0196 respektive 0.0220. Detta indikerar liknande resultat till vad det tidigare experimentet presenterar. Resultatet demonstrerar, likt tidigare experiment, att SKAN-varianterna har en större potential relativt parameterantalet när det gäller funktionsregressioner, men att KAN-nätverk fortfarande överpresterar gentemot MLP-nätverk. Den bild som nätverken tränas på är en mer komplex funktion, vilket resulterar i att större nätverk behöver tränas för att medelabsolutfelet ska bli lågt. För detta experiment blir dock skillnaden mellan KAN och motsvarande MLP större, vilket åter igen påvisar resultatet att mer precisa samband kan skapas när flera funktioner av en variabel summeras i flera led jämfört med ett MLP som försöker approximera en funktion av flera variabler. Detta blir specifikt tydligt när komplexiteten på den analyserade funktionen ökar. Modellen kan approximera en större värdemängd, beskriven av ett mer komplext mönster än en simpel funktion, med ett lägre fel. Detta knyter tillbaka till syftet i avsnitt 1.1, där en tydlig potential kan påvisas i dess förmåga att approximera komplexa mönster.

Bildrekonstruktion som presenteras i figur 14 samt 17 indikerar att KAN-nätverken har en viss potential, men inte bättre än SKAN-varianterna. Detta stämmer överens med att de inte tränats till lika låga medelabsolutfel. De interpolerar inte lika väl och misslyckas att skapa fina konturer i bilden, vilket slutligen presenterar en sämre rekonstruktion än vad den bikubiska rekonstruktionsalgoritmen i Adobe Photoshop gör. De har potential, men med komplikationen att dessa nätverk kräver stor beräkningskapacitet i jämförelse med Photoshop, resulterar i att de inte är fördelaktiga för detta ändamål.

Resultatet av klassificeringen är undermåligt i jämförelse med det som presenteras för faltning-nätverken. Detta indikerar, likt beskrivet i avsnitt 2.1, att KAN-nätverken huvudsakligen skapar regressiva samband, i detta fall av gråskalevärden och inte av de egenskaper som finns i bilden likt faltning-nätverk gör. Egenskaper i lokala regioner kan inte extraheras likt motiveringen i avsnitt 3.6. Som presenteras i avsnitt 1.1 var ett av huvudsyftena att undersöka nätverkens prestation för bildanalys, där detta experiment indikerar en underprestation relativt faltning-nätverk. KAN-nätverkens bästa träffsäkerhet var 85.90%, vilket är kan jämföras med faltning-nätverkets motsvarande 88.94%. Ett intressant resultat är att KAN-nätverken har det högsta resultatet för det nätverk med minst parametrar och att resultaten oscillerar, vilket är en stark indikation på att nätverken inte blir bättre på att modellera lokala egenskaper när antalet parametrar ökar, utan snarare övertränar på bildernas pixlar. En fördel med de KAN-nätverk som konstruerats är att dem konvergerar fort, vilket är en konsekvens av att parametrarna endast är utspridda över ett lager av sammanslutningar. Inga kaotiska träningsbeteenden har möjlighet uppstå i samma utsträckning eftersom att fel inte ackumuleras över flera lager.

En markant skillnad för KAN-nätverk är träningen, där den primära orsaken är att små initiala fel ackumuleras över aktiveringsfunktioner när data propageras genom nätverket. Nätverken agerar oförutsägbart i den mån att de uppvisar ett kaotisk beteende och är känsliga mot små förändringar i initialvärden, vilket är en egenskap som MLP-nätverk inte uppvisar. Detta stämmer överrens med avsnitt 2.1, där aktiveringsfunktioner i flera led kan skapa en större värdemängd i sin helhet. Detta är positivt för dess möjlighet att kunna beskriva komplexa samband, men negativt då dess träningstid är längre. MLP-nätverk använder istället en monoton aktiveringsfunktionen som tillämpas på en summa av produkter av variabelvärden och parametrar, vilket undviker detta kaotiska fenomen. För KAN-nätverken medför detta fenomen att en liten inlärningshastighet behöver tillämpas, primärt mot slutet av träningen. Därav är det lämpligt att använda en schematisk avtagande inlärningshastighet för att reducera träningstiden. En åtgärd som togs för denna instabilitet var att fastställa domänen som basfunktionerna skapas på och hålla basfunktionerna konsekventa genom hela träningen, till skillnad från att göra dem adaptiva baserat på indata. Detta reducerar det kaotiska beteendet under träningen och ger nätverket en möjlighet att kunna konvergera. För tillfället är algoritmen ineffektiv i den mån att den hämtar basfunktionerna, som rekursivt beräknas, evaluerat i indata från ett annat skript för varje aktiveringsfunktion, vilket i kombination med att låg inlärningshastighet behöver tillämpas ger en långsam träning. Detta är dock snarare en fråga om algoritmeffektivisering.

5.2 SKAN

Resultatanalys

Likt KAN, visar Sprechernätverken hög prestanda i det första experimentet. SKAN överträffar de andra två nätverken med fel mindre än hälften så stora än KAN, se figur 8. En möjlig förklaring är att

nätverken generaliserar enklare och bättre med endast en lärbar aktiveringsfunktion och att många aktiveringsfunktioner kan göra nätverken för specifika som medför försämrade prediktioner. Prestandorna varierar något, det inte är säkert att ett nätverk med fler parametrar ger lägre fel. En anledning till variationen kan vara att felet redan är mycket små och modellerna bra, så slumpmässighet får en större inverkan på resultaten. Att modellerna varierar i struktur och antal basfunktioner kan också variera prestandan. Resultaten visar däremot generellt att prestandan ökar med fler parametrar, se figur 8. SprecherComb presterar aningen bättre än SprecherLambda i funktionsregressionen, vilket visar att det är av större vikt att modellen har individuella aktiveringsfunktioner i sista lagret än bredare och djupare lager. Resultaten tyder också på att fler parametrar per basfunktion inte är bättre efter en viss gräns, vilket också genomgående noterats genom arbetets gång. Nätverken får antagligen det svårt att generalisera när funktionen har många parametrar.

Vidare, visar resultaten från bildregressionen att SKAN klarar av att representera ytterst komplexa funktioner. Bilderna från båda modellerna blir bättre med fler parametrar och bilderna blir tydliga, med liten förlust av detaljer. Det visar att transformationer genom inre translation och yttre skalning av samma aktiveringsfunktion är tillräckligt även för att fånga svårare samband. Platta och avtagande strukturer har använts och analyserats därför att de uppvisat högre prestanda. Att de strukturerna är bättre kan vara till följd av att ett lagrets λ - vikter kan ge mer information till nästkommande lager. Om det finns fler λ -vikter per nod till nästa lager till följd av avtagande struktur, kan det leda till att varje lager enklare kan tyda mer komplexa samband. SprecherLambda presterar bättre än SprecherComb i bildregressionen och interpoleringen, vilket indikerar att nätverket klarar sig bättre utan extra aktiveringsfunktioner på slutet i denna typ av uppgifter.

Även interpoleringen av SprecherLambda är god då bilden behåller struktur, former och får en mjukare visuell framtoning. Med lågt fel har modellen lärt sig bilden väl och med aktiveringsfunktioner för varje indata interpolerar nätverket enklare. Det sker eftersom intermedieära värden följer aktiveringsfunktionernas värden, vilka beskriver sambandet i bilden. Jämförelsevis är denna interpolering likvärdig med den som Adobe Photoshop producerat då SprecherLambda har mjukare former och är mindre grymig, medan Adobe producerar bättre detaljer, speciellt vid paprikornas toppar, se figur 17. I figur 18 där en interpolering med faktor 8 demonstreras, överpresterar SprecherLambda Adobe Photoshop. Anledningen till att SprecherLambda överträffar Adobe Photoshop är sannolikt för att modellen lärt sig bildens struktur, medan Adobe Photoshop endast rekonstruerar från närliggande pixlar och beaktar endast den lokala strukturen på bilden [15]. Vid interpolering med faktor åtta krävs ännu mer kunskap kring hela strukturen på bilden, eftersom gränsande pixlar inte ger tillräckligt med information och därför lyckas SprecherLambda bättre. SprecherLambda misslyckas däremot med formen på den främre paprikan och det indikerar att nätverket generaliserar mycket och missar detaljer. SprecherLambda tar också längre tid att träna och sedan rekonstruera.

Likaså, visar SKAN-modellerna hög kvalitet i klassifikationsuppgiften. Resultaten från klassificeringen fastslår att SprecherComb generellt presterar på en något lägre nivå än SprecherLambda. Det tyder på att det är en begränsning att ha fler aktiveringsfunktioner i sista lagret, även om dessa utgör en liten del av antalet parametrar. Möjligtvis minskar det nätverkens generaliseringsförmåga på grund av att för många funktioner och parametrar är mellan de sista lagren. I första experimentet var funktionen enkel och behovet av generalisering lägre. SKAN-modellerna visar hög kvalitet även i jämförelse med faltningarnätverk, trots att de inte lär sig någon spatial information, vilket framhäver nätverkens styrka. Resultaten indikerar också att SKAN överträffar KAN, vilket sannolikt beror på att SKAN kan ha större strukturer per parameterantal och därmed bättre inlärningsförmåga. Djupare strukturer är antagligen fördelaktigt eftersom det underlättar nätverket kan lära sig de komplexa sambanden och de svårare testfallen.

De goda resultaten, både i jämförelse med KAN och MLPs underbygger tesen att det finns sammanhang, många och varierande, då (S)KAN-nätverk överträffar konventionella nätverksstrukturer. SKAN kan urskilja och representera bilder effektivt och har högre noggrannhet än både KAN och MLPs per parameterantal. En osäkerhet är valet av knutintervall i metoden, det finns en liten risk att aktiveringar hamnar utanför intervallen, vilket kan försämra träningen och ge sämre resultat. Framtida forskning på normaliseringsmetoder är därför motiverat.

Nätverksstruktur och representation

SKAN kan ses som en hybridversion av FFNN och KAN. SKAN har anpassningsbara aktiveringsfunktioner som i KAN, samt vikter och translationer likt det i ett konventionellt FNN. Skillnaden i SKAN är att vikterna appliceras efter aktiveringsfunktionen och fungerar därmed inte som vikt på tidigare lagrets aktivering, utan som en skalning på aktiveringsfunktionen. En individuell lärbar aktiveringsfunktion ger större frihet och dynamik för nätverket att lära sig. Denna kombination av båda nätverk har visat sig framgångsrik, då den utnyttjar båda nätverkens styrkor på ett parameter-effektivt sätt. SKAN har lägre intern frihetsgrad än KAN eftersom aktiveringsfunktionen mellan ett par av noder endast kan skalas och translatera indatan. Det kan innebära att nätverket interpolerar eller skalar med parametrar värre jämfört med KAN. Däremot visar inte resultaten det, se exempelvis figur 9, men något som framtida studier möjligen kan analysera. En nackdel med SKAN är att en del av tolkningsförmågan från vanliga KAN förloras i och med introduktionen av vikterna.

SKANs sammansättning visar att det är bättre att aktiveringsfunktionerna är olika transfor-

mationer av samma funktion istället för helt olika. Det använder mycket färre parametrar och bevisligen räcker det för att fånga komplexa samband. Det innebär att skalning till större nätverk är mer genomförbart. Resultaten tyder på att SKAN kan kompensera uttrycksfriheten av fria funktioner med fler anslutningar och noder, vilket enligt resultat också överväger den fördelen.

Fortsättningsvis, konstateras att utan individuella λ lyckas inte nätverken med funktionsuppskattning, se figur 7. Det kan bero på att de har en fraktal natur enligt teorin, som inte går att representera eller optimera för i den metod som använts, eftersom de är konstanta med derivata noll överallt. Om λ däremot görs individuell för varje anslutning bryts denna relation när också satsens representation bryts. Generaliseringen i metoden av den inre translationen ϵq till ϵ_q gör också att varje nod blir oberoende av de andra. Det gör att varje nod kan få en aktiveringsfunktion som varierar mer än vad som annars varit möjligt, vilket kan förklara större tolkningsförmåga och bättre resultat.

Följaktligen, följer frågan om varför nätverken med individuella λ fungerar, och om och varför de bryter den potentiella fraktala naturen av de inre funktionerna. Anledningen till att nätverken med individuella $\lambda_{p,q}$ fungerar till skillnad från de strikt enligt satsen, är antagligen att introduktionen av fler parametrar $\lambda_{p,q}$ gör att aktiveringsfunktionen ψ inte fullständigt behöver beskriva alla möjliga indata och attribut. Sannolikt behöver ψ vara pseudo-fraktal för att ha förmågan att innefatta all information som behövs för att representera en funktion. Med introduktionen av nya parametrar tas en del av den bördan bort och därmed kan den fraktala strukturen brytas och det blir möjligt för ψ att vara en snäll kontinuerlig funktion som nätverken kan uppskatta med bas-splines.

Med prestandan i åtanke, uppstår frågan om de modifierade representationerna är giltiga. De modifieringar som gjorts har endast varit avslappnande, vilket medför att det inte begränsar parametrarna till att vara identiska med de i satserna. Det är möjligt att $\epsilon_q = \epsilon \cdot q \forall q$. På samma sätt kan $\lambda_{p,q} = \lambda_p \forall q$. Därmed kan de modifierade representationerna garanterat representera alla kontinuerliga funktioner på en begränsad mängd, men sannolikt också på fler sätt. Det säkerställer modellernas tillämpbarhet på diverse problem. SprecherComb bygger på avslappningen av Sprecher 1996 och SprecherLambda på Sprechers formulering av KAT utan yttre q -termer, se nedan.

$$\sum_{0 \leq q \leq 2n} \chi \left[\sum_{1 \leq p \leq n} \lambda_{p,q} \psi(x_p + \epsilon_q) \right] \quad (24)$$

$$\sum_{0 \leq q \leq 2n} \chi_q \left[\sum_{1 \leq p \leq n} \lambda_{p,q} \psi(x_p + \epsilon_q) \right] \quad (25)$$

5.3 MLP och faltningsnätverk

I experimenten har MLP- och faltningsnätverk använts som utgångspunkt för analys. Överlag har MLP-nätverken ett undermåligt resultat i regressionsexperimenten, vilket är av anledningen att KAN-nätverken kan skapa jämnare interpoleringar mellan datapunkter. Aktiveringsfunktionerna är funktioner av flera variabler, där parametrarna används för att modifiera dem i motsats till klassiska MLP-nätverk som använder parametrarna för skalning av variabelvärdet. Därmed blir regressionerna mindre precisa. MLP-nätverken har inte interna frihetsgrader i aktiveringsfunktionerna likt KAN-nätverken och SKAN-varianterna. Medelabsolutfelet som MLP-nätverken lyckas producera är som bäst för funktionsregressionen 0.0808 och för bildregressionen 0.0903, vilket är avsevärt högre än motsvarande fel för KAN och SKAN-varianterna.

Faltningsnätverk har ett bättre resultat än KAN-varianterna vid klassificering. Primärt intressant är den höga träffsäkerheten som det faltningsnätverk med 15905 parametrar har på 88.94%. Det var inte den bästa träffsäkerheten, men överlag har dem högre träffsäkerhet än KAN- och SKAN-varianterna av motsvarande parameterantal. Dess goda prestanda härstammar från att definitionsmängden som neurala nätverket tränas på består av bildens egenskaper i lokala regioner istället för gråskalevärden. Egenskaperna är extraherade genom faltningslagren, likt beskrivet i avsnitt 2.7 En huvudkomponent i klassificering är att kunna extrahera egenskaper ur bilder i lokala områden av bilden, vilket KAN-nätverken inte specifikt tränas på. Därav klassificerar faltningsnätverk med högre träffsäkerhet. Dessa är även relativt snabba att träna, vilket gör dem fördelaktiga modeller att använda och skala upp.

Faltningsnätverken som valts är konstruerade för att koncentrera majoriteten av parametrarna i faltningskomponenten, vilket är en felkälla som kan generera missvisande resultat. Med objektet att maximera prestandan är detta inte det mest optimala och struktur hade kunnat modifieras för att uppnå högre träffsäkerhet. Detta är en möjlig anledning till att SKAN-nätverket uppvisar en högre träffsäkerhet för det största nätverket.

6 Samhälleliga och etiska aspekter

Med konstruktionen av neurala nätverk uppstår etiska risker, primärt hur modellerna används vid generering av bilder och text. Huvudaspekten att ta hänsyn till är att inget material som kan anses kränkande, känsligt eller oetiskt får genereras eller användas för att träna modellerna. De huvudsakliga åtgärderna som tagits för detta arbete är att använda bilder som inte omfattas av någon av kriterierna ovan. Bilden *Peppers* och datasetet *Pneumonia MNIST* är de primära datakällorna som används för att träna modeller i detta projekt. Dessa har valts med noggrannhet för att varken exponera känslig information eller producera kränkande material.

Artificiell intelligens är för närvarande ett mycket aktuellt och omdiskuterat ämne. Detta arbete syftar till att undersöka alternativa tekniker till klassiska neurala nätverk. Med utveckling kan bättre modeller bli mer integrerat i samhället, vilket kommer med både för- och nackdelar. Nya teknologier som förenklar människors liv kan utvecklas, men ibland på bekostnad av att människor förlorar sina jobb.

7 Slutsats

Sammanfattningsvis kan det sägas att KAN och SKAN-varianter har ett övervägande gott resultat, där de är särskilt kraftfulla vid regressioner. Att utnyttja möjligheten att skapa träningsbara aktiveringsfunktioner fungerar mycket väl för att skapa samband som interpolerar och kompletterar saknade data. En stark potential uppvisades av SKAN-varianterna för rekonstruktion av bilder vid förfining av granularitet, där dessa för fallet av åtta gångers granularitetsförfining överpresterade gentemot ett klassiskt verktyg; Adobe Photoshop. Detta lovande resultat är dock på bekostnad av högre beräkningskapacitet. För klassificering presterar dessa typer av nätverk generellt sämre än faltningsnätverk, med något enskilt undantag. Faltningsnätverk som är specifikt konstruerade för att extrahera egenskaper ur lokala regioner i bilder, vilket KAN-nätverk och SKAN-varianter inte är.

8 Framtidsutsikter

Detta arbete utgör en grund för vidare studier inom ämnet. Arbetet visar på potential hos Kolmogorov-Arnold Nätverk för regressioner, vilket kan och bör undersökas vidare. Primärt intressant är att studera hur olika delar av nätverken påverkar prediktioner. Något som undersökningen även borde utvecklas i är vilka tekniker som kan användas för att träna dessa nätverk effektivare, då det för tillfället är den största begränsningen. För att denna typ av nätverk ska börja användas frekvent måste deras träning effektiviseras. Slutligen är det även intressant att undersöka hur olika funktionsapproximationer kan användas lokalt i noder. Exempel på detta är att modellera dem med små neurala nätverk, istället för att ha en uppsättning av basfunktioner med motsvarande parametrar. En annan aspekt att undersöka är användandet av funktioner av fler variabler som inre funktioner, och att ansluta dessa typer av nätverk till slutet av ett faltningsnätverk. Detta implementeras istället för ett klassiskt neuralt nätverk. Trots att ämnet endast berörs översiktligt i detta arbete, visar projektet på en lovande potential för fortsatt forskning.

Med grund i SKANs höga prestanda motiveras ytterligare undersökning av konvergensanalys i hur nätverken förbättras med antal parametrar. Skalar SKAN lika väl som KAN med stora mängder parametrar är det ett lovande nätverk som bör utvecklas vidare. Integrering i andra nätverksstrukturer, exempelvis kombinera faltningsnätverk med SKAN är tilltalande, eftersom båda nätverken har hög prestanda inom klassificering. Det kan vara betydelsefullt att undersöka normalisering av data mellan lager, vilket möjliggör ett konsekvent knutintervall för alla.

Referenser

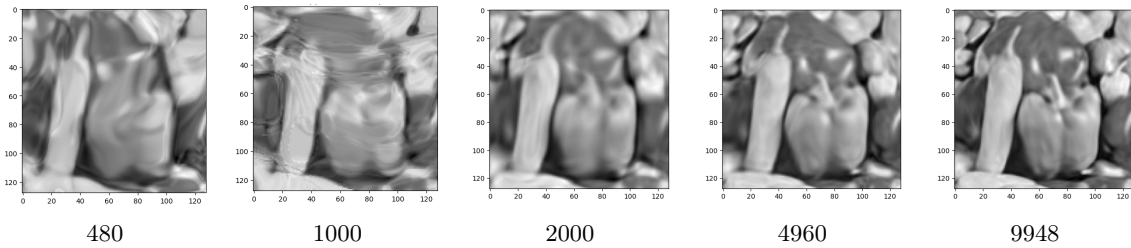
1. Liu Z, Wang Y, Vaidya S, Ruehle F, Halverson J, Soljačić M, Hou TY och Tegmark M. KAN. arXiv:2404.19756 2024. DOI: <https://doi.org/10.48550/arXiv.2404.19756>
2. Kolmogorov A. On the representation of continuous functions of many variables by superposition of continuous functions of one variable and addition. *American Mathematical Society Translations* 1963; 28:55–9
3. Aggarwal CC. *Neural Networks and Deep Learning*. Springer, 2018. DOI: 10.1007/978-3-319-94463-0. Available from: <https://doi.org/10.1007/978-3-319-94463-0>
4. Goodfellow I, Bengio Y och Courville A. *Deep Learning*. MIT Press, 2016. Available from: <http://www.deeplearningbook.org>
5. Li Z. Kolmogorov-Arnold Networks are Radial Basis Function Networks. 2024. DOI: <https://doi.org/10.48550/arXiv.2405.06721>. arXiv: 2405.06721
6. Boor C de. *A Practical Guide to Splines*. JSTOR, 1980. DOI: 10.2307/2006241. Available from: <https://doi.org/10.2307/2006241>
7. Sprecher D. On the Structure of Continuous Functions of Several Variables. *Transactions of the American Mathematical Society* 1965; 115:340–55
8. Köppen M och Yoshida K. Universal Representation of Image Functions by the Sprecher Construction. *Soft Computing as Transdisciplinary Science and Technology*. Utg. av Abraham A, Dote Y, Furuhashi T, Köppen M, Ohuchi A och Ohsawa Y. Berlin, Heidelberg: Springer Berlin Heidelberg, 2005 :202–10
9. Goldberg Y. *Neural Network Methods in Natural Language Processing*. Vol. 10. *Synthesis Lectures on Human Language Technologies 1*. Morgan & Claypool Publishers, 2017
10. Demb R och Sprecher D. A note on computing with Kolmogorov Superpositions without iterations. *Neural Networks* 2021; 144:438–42. DOI: <https://doi.org/10.1016/j.neunet.2021.07.006>. Available from: <https://www.sciencedirect.com/science/article/pii/S0893608021002690>
11. Polson S och Sokolov V. Kolmogorov GAM Networks are all you need! 2025. arXiv: 2501.00704 [cs.LG]. Available from: <https://arxiv.org/abs/2501.00704> [Accessed on: 2025 Jun 1]
12. Kingma DP och Ba J. Adam: A Method for Stochastic Optimization. arXiv preprint arXiv:1412.6980 2015. Available from: <https://arxiv.org/abs/1412.6980>
13. Loshchilov I och Hutter F. Decoupled Weight Decay Regularization. arXiv preprint arXiv:1711.05101 2019. Available from: <https://arxiv.org/abs/1711.05101>
14. The USC-SIPI Image Database. Available from: <http://sipi.usc.edu/database/> [Accessed on: 2025 May 8]
15. Adobe Inc. Image size and resolution in Photoshop. [Internet]. San Jose (CA): Adobe; [updated 2025; cited 2025 May 30]. 2024. Available from: <https://helpx.adobe.com/photoshop/using/image-size-resolution.html>

Användande av artificiell intelligens

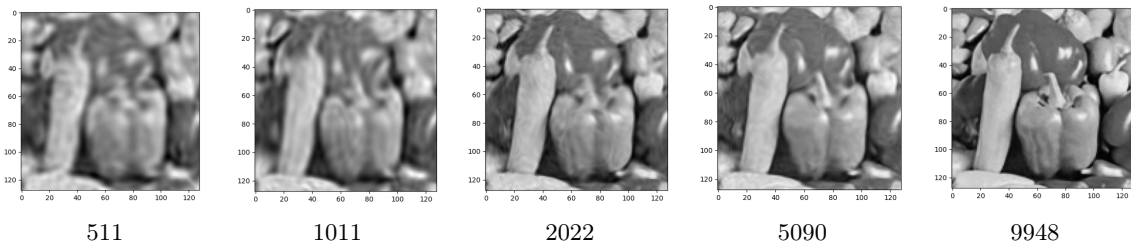
I denna artikel har AI i form av OpenAIs ChatGPT använts i mycket liten grad. Det har använts för att bygga förståelse om *Pytorch*-biblioteket, mer specifikt *AdamW*-algoritmen, inbyggda funktioner samt tensorer. Samtliga områden hade kunnat utforskas genom att använda en sökmotor, men denna åtgärd har tagits för att spara tid. Ingen kod eller annat material till rapporten har genererats med dessa verktyg.

A Bildregressioner och bildrekonstruktioner

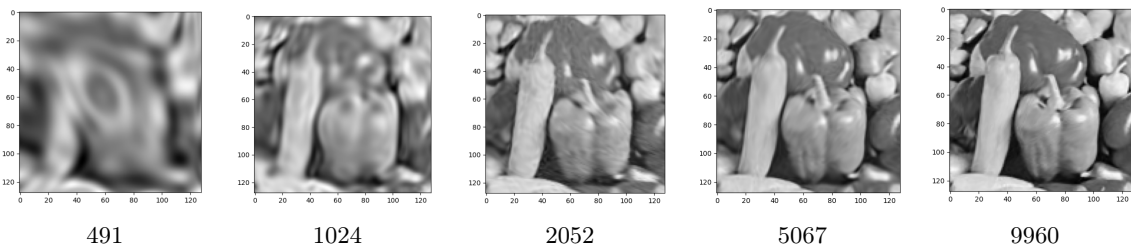
A.1 Bildregressioner



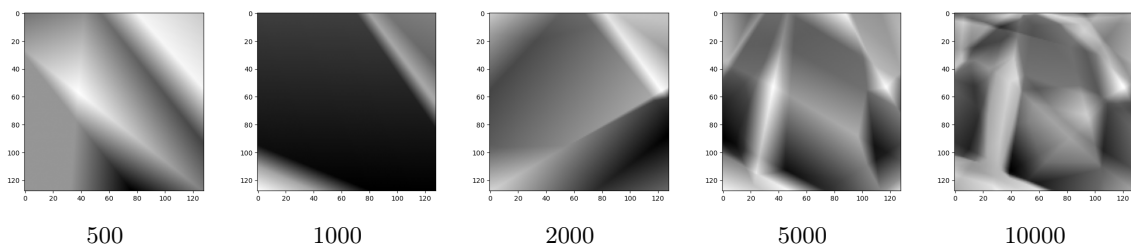
Figur 10: Bildregression för KAN på bilden *Peppers*. Samtliga nätverk är tränade på bilden med dimension 128x128. Bilderna benämns med antalet parametrar som nätverken haft.



Figur 11: Bildregression för SprecherLambda på bilden *Peppers*. Samtliga nätverk är tränade på bilden med dimension 128x128. Bilderna benämns med antalet parametrar som nätverken haft.



Figur 12: Bildregression för SprecherComb på bilden *Peppers*. Samtliga nätverk är tränade på bilden med dimension 128x128. Bilderna benämns med antalet parametrar som nätverken haft.



Figur 13: Bildregression för ett MLP på bilden *Peppers*. Samtliga nätverk är tränade på bilden med dimension 128x128. Bilderna benämns med antalet parametrar som nätverken haft.

A.2 Bildrekonstruktioner



(a) 32×32



(b) 64×64



(c) 128×128



(d) 256×256

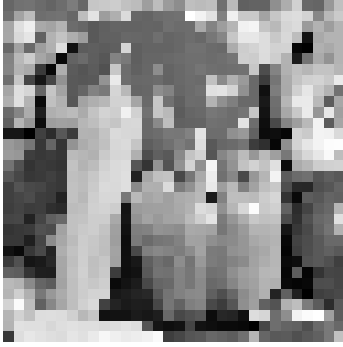


(e) 512×512



(f) Original 128×128

Figur 14: Bildrekonstruktion för KAN av bilden *Peppers*. Nätverket har tränats på bilden med dimension 128×128 .



(a) 32×32



(b) 64×64



(c) 128×128



(d) 256×256

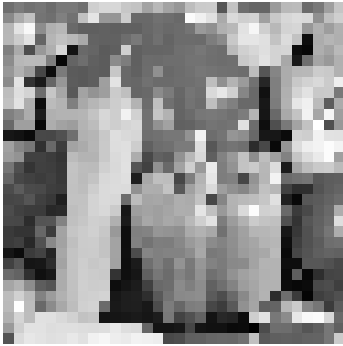


(e) 512×512



(f) Original 128×128

Figur 15: Bildrekonstruktion för SprecherLambda på bilden *Peppers*. Nätverket har tränats på bilden med dimension 128×128 .



(a) 32×32



(b) 64×64



(c) 128×128



(d) 256×256



(e) 512×512



(f) Original 128×128

Figur 16: Bildrekonstruktion för SprecherComb på bilden *Peppers*. Nätverket har tränats på bilden med dimension 128×128 .



(a) 512x512 interpolation av KAN.



(b) 512x512 interpolation av SprecherLambda.



(c) 512x512 interpolation av SprecherComb.



(d) 512x512 av Adobe Photoshop.

Figur 17: Jämförelse av rekonstruktion av 512x512 från en bild av dimension 128x128. Sprecher-Lambda och SprecherComb skapar finare konturer i interpolationen än vad Adobe Photoshop och KAN gör.



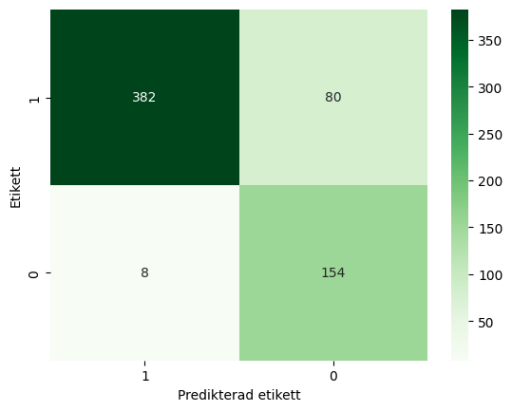
(a) 512x512 interpolation av SprecherLambda



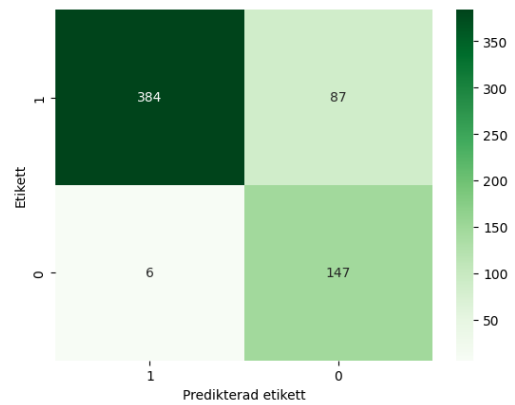
(b) 512x512 interpolation av Adobe Photoshop.

Figur 18: Jämförelse mellan SprecherLambda och Adobe Photoshop av Interpolation från 64x64 pixlar till 512x512.

B Förväxlingsmatris

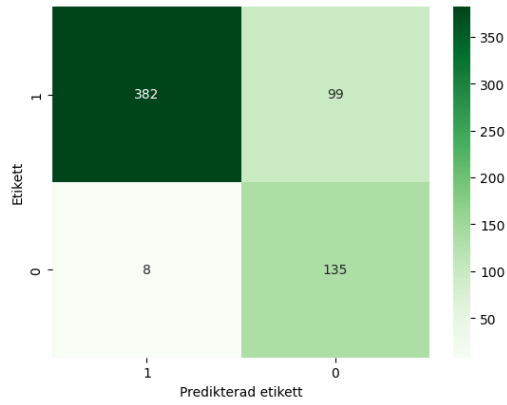


(a) Bästa prediktionen för klassificering av KAN med 5488 parametrar. Antalet korrekt klassificerade är 85.90 %.

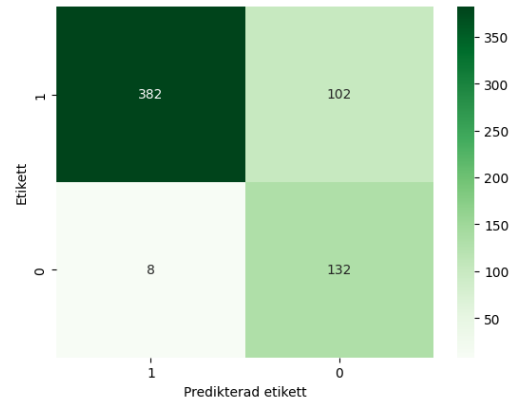


(b) Sista prediktionen för klassificering av KAN med 5488 parametrar. Antalet korrekt klassificerade är 85.10 %.

Figur 19: Jämförelse av prediktioner och faktiska etiketter för klassificeringar av KAN med 5488 parametrar.

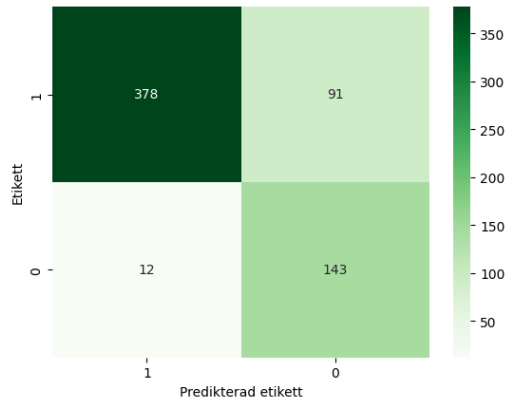


(a) Bästa prediktionen för klassificering av KAN med 10192 parametrar. Antalet korrekt klassificerade är 82.85 %.

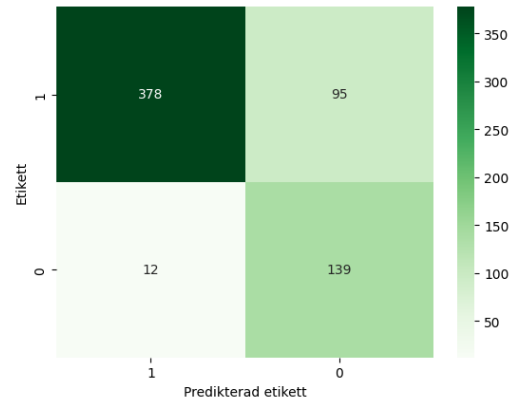


(b) Sista prediktionen för klassificering av KAN med 10192 parametrar. Antalet korrekt klassificerade är 82.37 %.

Figur 20: Jämförelse av prediktioner och faktiska etiketter för klassificeringar av KAN med 10192 parametrar.

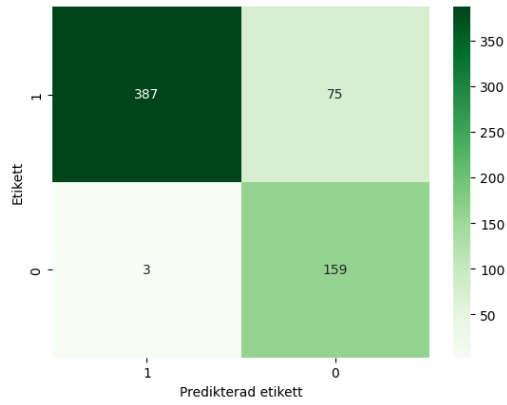


(a) Bästa prediktionen för klassificering av KAN med 14896 parametrar. Antalet korrekt klassificerade är 83.49 %.

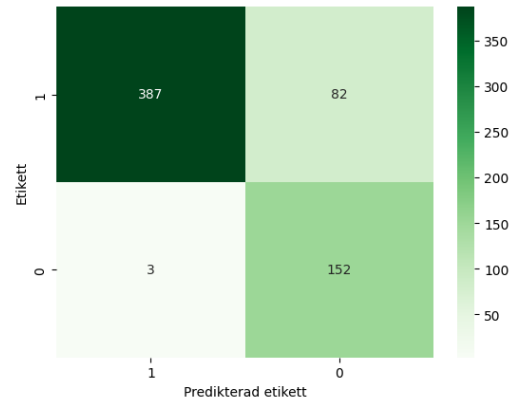


(b) Sista prediktionen för klassificering av KAN med 14896 parametrar. Antalet korrekt klassificerade är 82.85 %.

Figur 21: Jämförelse av prediktioner och faktiska etiketter för klassificeringar av KAN med 14896 parametrar.

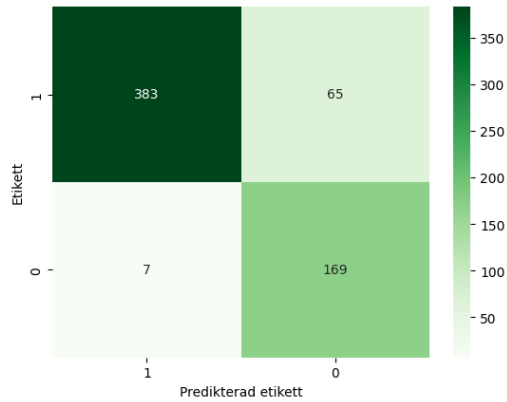


(a) Bästa prediktionen för klassificering av faltningssätverk. Antalet korrekt klassificerade är 87.50 %.

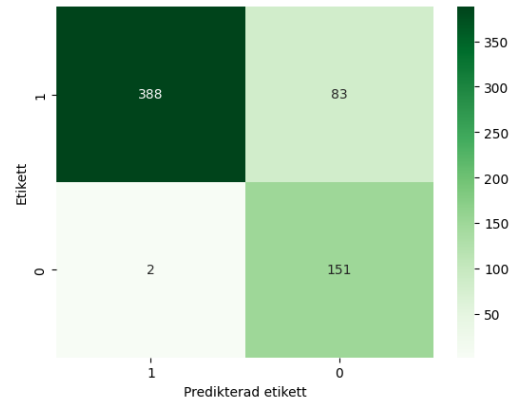


(b) Sista prediktionen för klassificering av faltningssätverk. Antalet korrekt klassificerade är 86.38 %.

Figur 22: Jämförelse av prediktioner och faktiska etiketter för klassificeringar av faltningssätverk med 5488 parametrar.

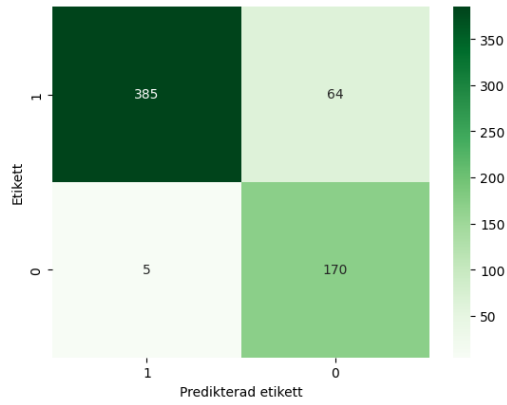


(a) Bästa prediktionen för klassificering av faltningssätverk. Antalet korrekt klassificerade är 88.46 %.

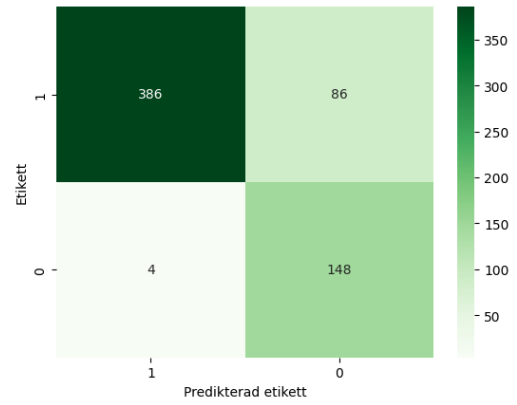


(b) Sista prediktionen för klassificering av faltningssätverk. Antalet korrekt klassificerade är 86.38 %.

Figur 23: Jämförelse av prediktioner och faktiska etiketter för klassificeringar av faltningssätverk med 10192 parametrar.

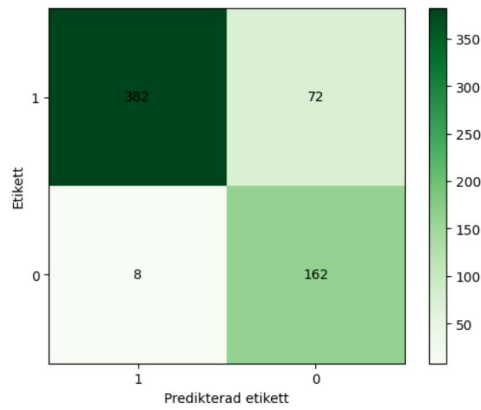


(a) Bästa prediktionen för klassificering av faltningarnätverk. Antalet korrekt klassificerade är 88.94 %.



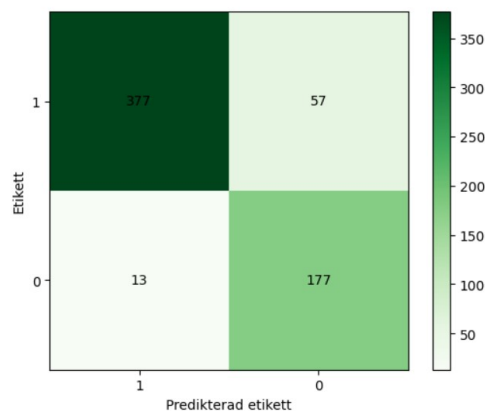
(b) Sista prediktionen för klassificering av faltningarnätverk. Antalet korrekt klassificerade är 85.58 %.

Figur 24: Jämförelse av prediktioner och faktiska etiketter för klassificeringar av faltningarnätverk med 14896 parametrar.

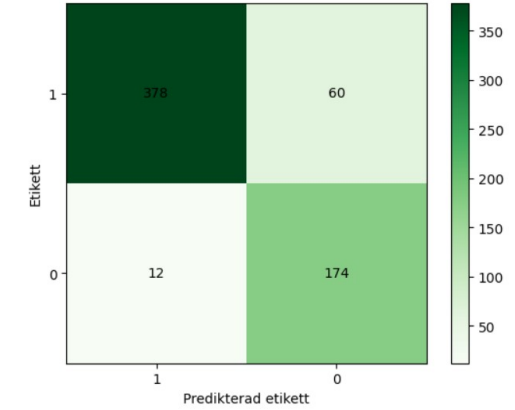


(a) Bästa och prediktionen för klassificering av SprecherLambda. Antalet korrekt klassificerade är 87.18 %.

Figur 25: Jämförelse av prediktioner och faktiska etiketter för klassificeringar av SprecherLambda med 5531 parametrar.

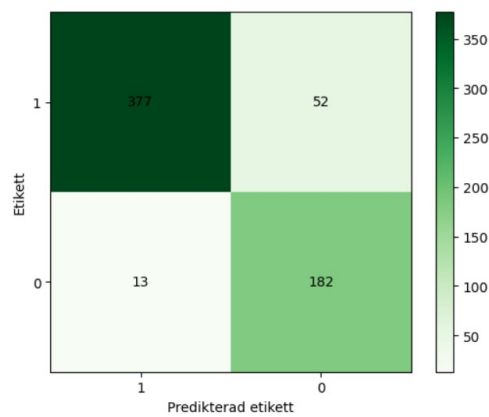


(a) Bästa prediktionen för klassificering av falt-ningsnätverk. Antalet korrekt klassificerade är 88.78 %.



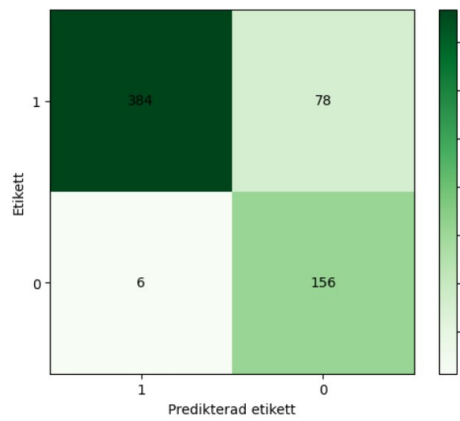
(b) Sista prediktionen för klassificering av SprecherLambda. Antalet korrekt klassificerade är 88.46 %.

Figur 26: Jämförelse av prediktioner och faktiska etiketter för klassificeringar av SprecherLambda med 11022 parametrar.

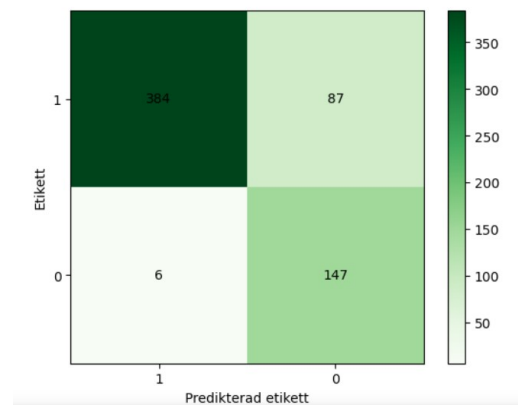


(a) Bästa och prediktionen för klassificering av SprecherLambda. Antalet korrekt klassificerade är 89.58 %.

Figur 27: Jämförelse av prediktioner och faktiska etiketter för klassificeringar av SprecherLambda med 16457 parametrar.

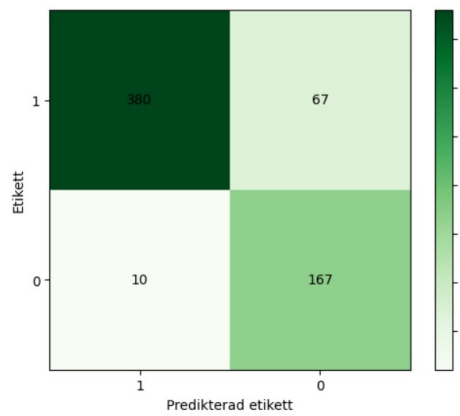


(a) Bästa prediktionen för klassificering av SprecherComb. Antalet korrekt klassificerade är 86.54 %.

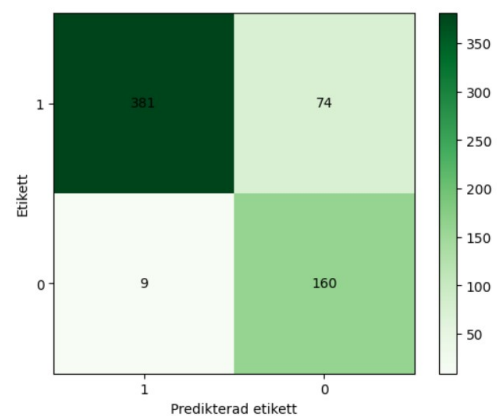


(b) Sista prediktionen för klassificering av faltningarnätverk. Antalet korrekt klassificerade är 85.10 %.

Figur 28: Jämförelse av prediktioner och faktiska etiketter för klassificeringar av SprecherComb med 5639 parametrar.

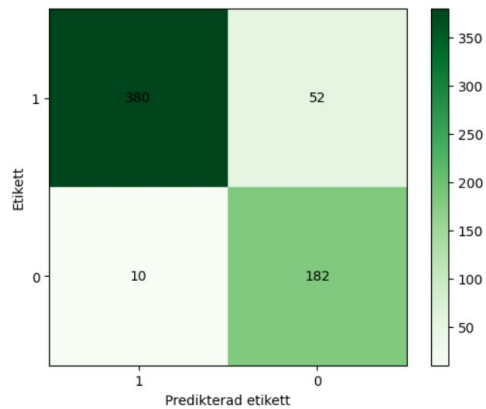


(a) Bästa prediktionen för klassificering av SprecherComb. Antalet korrekt klassificerade är 87.66 %.

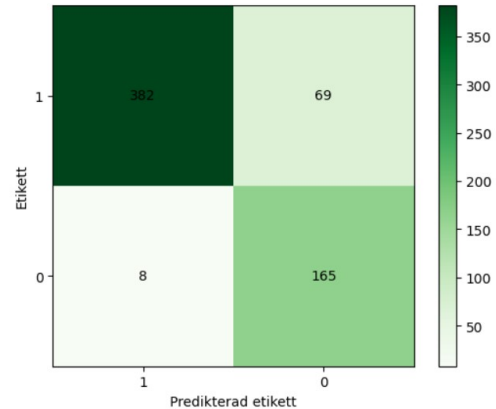


(b) Sista prediktionen för klassificering av faltningarnätverk. Antalet korrekt klassificerade är 86.70 %.

Figur 29: Jämförelse av prediktioner och faktiska etiketter för klassificeringar av SprecherComb med 11604 parametrar.



(a) Bästa prediktionen för klassificering av SprecherComb. Antalet korrekt klassificerade är 90.06 %.



(b) Sista prediktionen för klassificering av SprecherComb. Antalet korrekt klassificerade är 87.66 %.

Figur 30: Jämförelse av prediktioner och faktiska etiketter för klassificeringar av SprecherComb med 16739 parametrar.

C Appendix 2 – källkod

C.1 KAN och MLP

C.1.1 Skript 1: KAN-nätverken

```

1  """
2  DOC INFO for modules.py
3
4  Contains classes functional (1) and sequential (2).
5
6  (1) functional represents a KAN layer
7  (2) sequential builds a model sequentially, taking many KAN layers as inputs
8
9  """
10 # Import necessary packages
11 import cox_de_boor
12 from torch import normal, empty, from_numpy, transpose, float64, sum as torch_sum,
13     linspace
14 from torch.nn import LogSoftmax, Parameter
15 import torch
16 from scipy.interpolate import BSpline
17 import seaborn as sns
18 from torch.nn.functional import mse_loss
19 import numpy as np
20 from torch import linspace, tensor, stack, cat, zeros, randn, nn, randperm
21 from torch.utils.data.dataset import random_split
22 import matplotlib.pyplot as plt
23 from math import ceil
24 device = torch.device("cuda" if torch.cuda.is_available() else "cpu")
25
26 class functional:
27     """ Models one layer in a classical KAN using functional units (KAN nodes).
28
29     Future potential upgrades:
30     - "variant" argument to specify the variant of the node, i.e classical or
31       David Sprechers representation
32     """
33     # Give instructions on how to initiate the model
34     def __init__(self, nr_in, nr_out, k, t):
35
36         # Readability variables
37         self.nr_of_basis = len(t)-k-1 + 2*k # 2*k term comes from grid extension
38
39         # Network hyperparameters init
40         self.nr_in = nr_in
41         self.nr_out = nr_out
42
43         # Spline initialization
44         self.t = t # control points
45         self.k = k # degree

```

```

44         self.C = Parameter(normal(0, 0.1, size=(self.nr_in, self.nr_of_basis, self.
45             nr_out), requires_grad=True, dtype=torch.float64, device=device))
46
47     # Define a standard __call__ function
48     def __call__(self, x):
49         return self.forward(x)
50
51     # Define how the data should be propagated
52     def forward(self, x):
53         """
54         A forward pass using input x. Outputs
55
56         Parameters
57         x : Input data tensor of size (nr of data, nr of inputs).
58         """
59
60         # Initializing basis tensor
61         nr_data = x.shape[0]
62         all_basis = empty(size=(self.nr_in, nr_data, self.nr_of_basis), dtype=
63             float64, device=device).to(device)
64
65         # Propagated differently depending on whether there is one or multiple rows
66         # in the tensor
67         x_dimension = len(x.shape)
68         if x_dimension == 1:
69
70             all_basis[0] = cox_de_boor.basis_functions(x, t=self.t, k=self.k)
71
72         elif x_dimension == 2:
73             # Fill basis tensor before matrix multiplication
74             for i in range(x.shape[1]):
75                 # t change --> number of basis change --> number of parameters c
76                 # change (the formula len(t)-k-1+2*k still holds)
77                 all_basis[i] = cox_de_boor.basis_functions(x[:, i], t=self.t, k=
78                     self.k)
79
80         else:
81             raise Exception("Input tensor dimension cannot exceed 2")
82
83         # Sum all basis splines
84         result = torch.sum(all_basis @ self.C, dim=0, dtype=float64).to(device)
85         return result
86
87     def parameters(self):
88         # getter method
89         return self.C
90
91
92 class sequential:
93     """Builds models sequentially like in PyTorch"""
94     def __init__(self, *layers):
95         self.layers = layers
96
97     def __call__(self, x):
98         return self.forward(x)
99
100     def forward(self, x):
101         # propagate through the network
102         for layer in self.layers:
103             x = layer(x)
104         return x
105
106     def parameters(self):
107         # provides an iterable containing torch.nn objects
108         parameters = []
109         for layer in self.layers:
110             parameters.append(layer.parameters())
111         return parameters
112
113     def train_model(self, x, targets, optimizer, loss_criterion, nr_epochs,
114         print_loss_each=1000, classification_task = False):
115         """
116         x : input data for forward pass
117         target : the target values. NOTE: MAKE SURE IT IS A [1000, 1] TENSOR NOT
118             JUST [1000]
119         optimizer : Chosen PyTorch optimizer
120         loss_criterion : a PyTorch defined loss function
121         nr_epochs : number of epochs
122         print_loss_each : print loss each j number of epochs
123         """
124         loss_list = []
125         for epoch in range(nr_epochs+1):
126
127             # Reset gradients
128             optimizer.zero_grad()

```

```

121
122     # Propagate the input through the network in order to obtain
123     # predictions
124     predictions = self.forward(x)
125
126     # Compute the loss
127     loss = loss_criterion(predictions, targets)
128
129     # Compute gradients and optimize weights
130     loss.backward()
131     optimizer.step()
132
133     # print loss every print_loss_each steps
134     if epoch % print_loss_each == 0:
135         print("Epoch", epoch, "loss: ", loss.item())
136
137     # Save the loss for visualization purposes
138     loss_list.append(loss.item())
139
140     # Define for what number of epochs the training loss were the lowest
141     best_amount_of_epochs = np.argmax(loss_list)
142
143     print(f"The best amount of epochs is {best_amount_of_epochs}")
144
145     # Plot the training loss
146     plt.figure()
147     plt.plot([i + 1 for i in range(nr_epochs + 1)], loss_list)
148     plt.xlabel("Antal epoker")
149     plt.ylabel("Medelkvadratfejl i træning")
150     plt.title("MSE i træning")
151     plt.ylim(0, 0.01)
152     plt.grid()
153     plt.show()
154
155     # Return where the training loss was at its lowest
156     return best_amount_of_epochs
157
158 def batch_train_model(self, x, targets, optimizer, loss_criterion, nr_epochs,
159                       print_loss_each=1000, batch_size = 250, plot_loss = True, mse_plot_limit =
160                       0.2, classification_task = False, testing_data = torch.tensor(0).to(device)
161                       , testing_targets = torch.tensor(0).to(device)):
162     """
163     Arguments:
164     x : input data for forward pass
165     target : the target values. NOTE: MAKE SURE IT IS A [1000, 1] TENSOR NOT
166             JUST [1000]
167     optimizer : Chosen PyTorch optimizer
168     loss_criterion : a PyTorch defined loss function
169     nr_epochs : number of epochs
170     print_loss_each : print loss each j number of epochs
171     """
172     # Number of batches
173     nr_data = x.size()[0]
174     nr_batches = ceil(nr_data / batch_size)
175
176     # Define a list to save the losses
177     loss_list = []
178
179     # Loop through all the epochs
180     for epoch in range(nr_epochs+1):
181
182         # Shuffle the indices - in order to batch-train properly
183         shuffled_indices = randperm(nr_data).to(device)
184
185         # Storing the epoch loss
186         epoch_loss = 0
187
188         # Loop through every batch
189         for batch_idx in range(nr_batches):
190
191             # Extract the batch indices and check whether the batch does not
192             # threspass the length of the list
193             start_idx = batch_idx * batch_size
194             end_idx = min(start_idx + batch_size, nr_data)
195
196             # Define the indices of the batch
197             batch_indices = shuffled_indices[int(start_idx) : int(end_idx)]
198
199             # Dividing the data into batches
200             batch_x, batch_targets = x[batch_indices], targets[batch_indices]
201
202             # Reset gradients
203             optimizer.zero_grad()

```

```

199         # Forward the batch
200         batch_predictions = self.forward(batch_x)
201
202         # Compute loss
203         batch_loss = loss_criterion(batch_predictions, batch_targets)
204         epoch_loss += batch_loss.item() * (end_idx - start_idx) / nr_data
205
206         # Compute gradients and optimize weights
207         batch_loss.backward()
208         optimizer.step()
209
210         # Append to the loss list
211         loss_list.append(epoch_loss)
212
213         # Print epochs loss
214         if epoch % (print_loss_each) == 0:
215             print("Epoch", epoch, "loss: ", epoch_loss)
216
217         # Test the model every epoch if it is a classification task
218         if classification_task:
219             _ = self.test_model(x = testing_data, targets = testing_targets,
220                               classification_task = True)
221
222         # The user can specify whether the training loss should be plotted or not
223         if plot_loss:
224             plt.title("MSE f r t r n i n g")
225             plt.plot([epoch for epoch in range(nr_epochs + 1)], loss_list)
226             plt.ylim(0, mse_plot_limit)
227             plt.show()
228
229         # Get the tensors of the individual spline, if one wants to plot them for
230         # instance
231         def get_individual_splines(self, nr_in = 2):
232             """
233             This function returns all the individual splines when using a dynamic
234             interval.
235             """
236
237             # Setting spline domain
238             nr_data = 1000
239             spline_domain = stack([linspace(-2, 2, nr_data) for _ in range(nr_in)], dim
240                                 = 0)
241             spline_points = [spline_domain.clone()]
242             all_splines = [] # nr_in x nr_data x nr_out
243
244             # Loop through all layers
245             for layer in self.layers:
246                 layer_splines = []
247                 layer_output = zeros([nr_data, layer.nr_out])
248
249                 # Loop through all the previous saved domains
250                 for mu, element in enumerate(spline_domain):
251
252                     # Extract the basis functions
253                     basis_functions = cox_de_boor.basis_functions(element.T, layer.t,
254                                                                    layer.k) # (input_data x nr_of_basis_functions), different
255                                                                    domains of each
256
257                     # Batch tensor-matrix multiplication to compute the splines
258                     spline = (basis_functions.float() @ layer.C[mu].float()).to(device)
259                     layer_output += spline
260
261                     # Append the splines to a list to make them easy accessible
262                     layer_splines.append(spline)
263
264                 # Re-define the spline domain for the upcoming layer
265                 spline_domain = layer_output.T
266
267                 # Save the spline domains in a gathered list
268                 spline_points.append(spline_domain.clone())
269
270                 # Reconstruct the layer_splines list to a tensor
271                 layer_splines = stack(layer_splines, dim = 0).to(device)
272
273                 # Append all the splines in the specific layer to a list that gathers
274                 # all the splines
275                 all_splines.append(layer_splines)
276
277             # Return the domains
278             return spline_points, all_splines
279
280         def plot_splines(self, spline_domain, all_splines):
281
282             # Get the splines

```

```

276 spline_domain, all_splines = self.get_individual_splines()
277
278 # Loop through all layers in the sequential
279 for mu, layer in enumerate(self.layers):
280
281     # Create a figure to plot on
282     plt.figure(figsize=(4 * layer.nr_out, 3 * layer.nr_in))
283
284     # Loop through all input neurons in the layer
285     for input_neuron in range(layer.nr_in):
286
287         # Loop through all input neurons in the layer
288         for output_neuron in range(layer.nr_out):
289
290             # Subplot all the splines in the layer
291             plt.subplot(layer.nr_in, layer.nr_out, input_neuron * layer.
292                 nr_out + output_neuron + 1)
292             plt.title(f"Spline_{mu + 1}_{input_neuron + 1}_{output_neuron +
293                 1}")
294
295             # Needs to be sorted?
296             plt.plot(spline_domain[mu][input_neuron].detach().numpy(),
297                 all_splines[mu][input_neuron].T[output_neuron].detach().
298                 numpy())
299
300             # Set an overall title
301             plt.suptitle(f"Spline_layer_inputneuron_outputneuron")
302             plt.show()
303
304 def test_model(self, x, targets, loss_criterion = nn.L1Loss(), plot_splines =
305     False, classification_task = False):
306
307     # Check whether it is a regression or a classification task
308     if classification_task:
309         """
310         predictions = torch.sigmoid(self.forward(x))
311         total_correct = ((predictions - targets).abs() < 0.5).sum().item()
312         total_samples = targets.size(0)
313
314         # Verify that total_samples is not zero, to avoid division by zero
315         if total_samples != 0:
316             model_accuracy = total_correct / total_samples
317             print(f"The model accuracy of test images is {model_accuracy * 100 :.4f
318                 }%")
319         """
320
321         # Define that we do not want to update weights when evaluating
322         with torch.no_grad():
323
324             # Sigmoid, which BCELossWithLogits, the classification optimizer used,
325             # does internally
326             predictions = torch.sigmoid(self.forward(x))
327
328             # Separate which are correctly predicted, the labels are either 0 or
329             # 1, all above 0.5 is a 1 prediction
330             predicted_labels = (predictions >= 0.5).float()
331             targets = targets.view(-1, 1).float()
332
333             # Count the total correct predicted
334             total_correct = (predicted_labels == targets).sum().item()
335             total_samples = targets.size(0)
336
337             # Calculate the accuracy
338             if total_samples != 0:
339                 model_accuracy = total_correct / total_samples
340                 print(f"The model accuracy of test images is {model_accuracy *
341                     100:.2f}%")
342
343             # Extract the predicted values to the cpu, needs to be constructed to
344             # numpy array
345             preds = predicted_labels.cpu()
346             truth = targets.cpu()
347
348             # Count True Positive, True Negative, False Positive and False Negative
349             TP = ((preds == 1) & (truth == 1)).sum().item()
350             TN = ((preds == 0) & (truth == 0)).sum().item()
351             FP = ((preds == 1) & (truth == 0)).sum().item()
352             FN = ((preds == 0) & (truth == 1)).sum().item()
353
354             # Construct a confusion matrix, a heatmap
355             conf_matrix = np.array([[TP, FP], [FN, TN]])
356
357             # Define the labels for the axes
358             labels = ['1', '0']

```

```

350         # Construct a heatmap
351         plt.figure()
352         sns.heatmap(conf_matrix, annot = True, fmt = "d", cmap = "Greens",
353                    xticklabels = labels, yticklabels = labels)
354         plt.xlabel("Predikterad etikett")
355         plt.ylabel("Etikett")
356         plt.show()
357
358     # If not a classification task
359     else:
360         predictions = self.forward(x)
361
362     # Calculate the loss
363     loss = loss_criterion(predictions, targets)
364
365     # The user can specify if he wants to plot the splines
366     if plot_splines:
367         spline_domain, all_splines = self.get_individual_splines()
368         self.plot_splines(spline_domain, all_splines)
369
370     # Return the loss value
371     return loss
372 def sigmoid(self, x):
373     return 1 / (1 + torch.exp(x))
374
375 class KAN:
376
377     def __init__(self, *structure, t, k):
378         """ Arguments
379         structure : structure of network given as n-tuple. EX. fast_init(2, 5, 1, t
380                    , k) yields 2-5-1 KAN.
381         """
382         self.layers = []
383
384         for i in range(len(structure)-1):
385             layer = functional(nr_in=structure[i], nr_out=structure[i+1], k=k, t=t)
386             self.layers.append(layer)
387
388     def __call__(self, x):
389         return self.forward(x)
390
391     def parameters(self):
392         # provides an iterable containing torch.nn objects
393         parameters = []
394         for layer in self.layers:
395             parameters.append(layer.parameters())
396         return parameters
397
398     def forward(self, x):
399         for layer in self.layers:
400             x = layer(x)
401         return x
402
403     def train_model(self, x, targets, optimizer, loss_criterion, nr_epochs,
404                   print_loss_each=1000):
405         """
406         x : input data for forward pass
407         targets : the target values. NOTE: MAKE SURE IT IS A [1000, 1] TENSOR NOT
408                JUST [1000]
409         optimizer : Chosen PyTorch optimzier
410         loss_criterion : a PyTorch defined loss function
411         nr_epochs : number of epochs
412         print_loss_each : print loss each j number of epochs
413         """
414         for epoch in range(nr_epochs+1):
415
416             # Reset gradients
417             optimizer.zero_grad()
418
419             # Compute loss
420             predictions = self.forward(x)
421             print("predictions shape", predictions.shape)
422             print("targets shape", targets.shape)
423             loss = loss_criterion(predictions, targets)
424
425             # Compute gradients and optimize weights
426             loss.backward()
427             optimizer.step()
428
429             # print loss every print_loss_each steps
430             if epoch % print_loss_each == 0:
431                 print("Epoch", epoch, "loss: ", loss.item())

```

C.1.2 Skript 2: Cox-de-Boor's rekursionsformel

```
1 # Import necessary packages
2 from torch import cat
3 import torch
4 # Define that we want to use a gpu if it is available
5 device = torch.device("cuda" if torch.cuda.is_available() else "cpu")
6
7 def basis_functions(x, t, k, extended=True):
8     # Implements Cox-De Boor formula to obtain Basis functions for BSplines
9     # This function is a re-written form of the Github user pg2455 who has provided
10    # his/her code under the MIT license. I have just simplified it.
11
12    # Returns :
13
14    # x: input data tensor
15    # t: control points in 1D
16    # k: degree of piecewise polynomials
17
18    if extended:
19        t = extend_grid(t, k)
20
21    # Reshape to perform comparisons.
22    t_ = t.unsqueeze(dim=0)
23    x_ = x.unsqueeze(dim=1)
24
25    # Cox-de-Boor recursion formula
26    for j in range(k+1):
27        # Base case: j = 0
28        if j == 0:
29            N_j = ((x_ >= t_[ :, :-1]) * ((x_ < t_[ :, 1:])) * 1.0).to(device)
30        else:
31            left = (x_ - t_[ :, -(j+1)]) / (t_[ :, 1:-j] - t_[ :, -(j+1)]) * N_j[:, :-1]
32            right = (t_[ :, (j+1):] - x_) / (t_[ :, (j+1):] - t_[ :, 1:-j]) * N_j[:, 1:]
33            N_j = left+right
34    return N_j
35
36 def extend_grid(grid, k):
37     """
38     Extends the grid by 2*k points, k points per side
39
40     Args:
41         grid: number of splines x number of control points
42         k: spline order
43
44     Returns:
45         new_grid: number of splines x (number of control points + 2 * k)
46
47     """
48     n_intervals = grid.shape[-1] - 1
49     h = (grid[-1] - grid[0]) / n_intervals # step length to determine t_(i+1) = h * t_i
50
51     for i in range(k):
52         grid = torch.cat([grid[:,1] - h, grid], dim=-1).to(device) # logic translated : t_(-1) := t_0 - h --> append t_(-1) to grid
53         grid = torch.cat([grid, grid[:,1] + h], dim=-1).to(device) # t_(n+1) := t_n + h --> append t_(n+1) to grid
54
55     return grid
```

C.1.3 Skript 3: Analys av KAN

```
1 # Importing libraries
2 import matplotlib.pyplot as plt
3 import torch
4 import numpy as np
5 import seaborn as sns
6
7 from torch.utils.data.dataset import random_split
8 import importlib
9 import alexKAN
10 importlib.reload(alexKAN)
11 from torch.optim.lr_scheduler import StepLR
12 device = torch.device('cuda' if torch.cuda.is_available() else 'cpu')
13
14 # Train_test_split function
15 def train_test_split(input, target, test_fraction = 0.2):
16     """
```

```

17     Description:
18     Splits the data with a fraction of training and test samples. The model keeps
19     track that the correct target data are used for the correct input data.
20
21     Arguments:
22     input : The data that should be used.
23     target : The target of prediction.
24     test_fraction : Defines the fraction that should be in the test data sample.
25     Standard: 0.2
26
27     Returns:
28     train_input : The splitted training input.
29     train_target : The splitted training target.
30     test_input : The splitted testing input.
31     test_target : The splitted testing target.
32
33     """
34     # Metrics for the data
35     data_length = input.size()[0]
36     train_size = int((1 - test_fraction) * data_length) # Generate the train
37     size
38
39     # Random permutation of the tensors when merged to keep track of which
40     # inputs correspond to the same outputs
41     perm = torch.randperm(nr_of_data).to(device)
42     input, target = input[perm, :].to(device), target[perm, :].to(device)
43
44     # Divide permutation based on training size
45     train_input, train_target = input[:train_size, :].to(device), target[:
46     train_size, :].to(device)
47     test_input, test_target = input[train_size:, :].to(device), target[
48     train_size:, :].to(device)
49
50     # Return the train and test tensors
51     return train_input, train_target, test_input, test_target
52
53     """
54     The following is for the function regression analysis.
55     """
56
57     # Defining the domain
58     a = -2
59     b = 2
60     nr_of_data = 10000
61
62     # Model parameters
63     nr_of_knots = 6
64
65     #  $t + k - 1$  parameters per basis function,  $k = 3$ 
66     t_6 = torch.linspace(a, b, nr_of_knots).to(device)
67     t_14 = torch.linspace(a, b, 14).to(device)
68     k = 3 # degree
69     weight_decay = 1e-2 # Default weight_decay - l2 regularization
70     learning_rate = 0.01
71     epochs = 500
72     batch_size = 250
73
74     def train_and_test(nr_of_seeds = 1, nr_of_data = 10000, batch_size = 250): # should
75     take the model size as well
76     """
77     Description:
78     Trains and test the specified KAN models stored in model_factories for a
79     certain amount of seeds.
80
81     Arguments:
82     nr_of_seeds : The amount of seeds the model should be trained and tested over
83     batch_size : The batch size used for training the model
84
85     Returns:
86     mean_loss : The mean loss over all the seeds for all the models.
87
88     """
89     # Takes the model as an input
90     mean_loss = torch.zeros(5).to(device)
91     seed_loss = torch.zeros(nr_of_seeds).to(device)
92     best_epochs_512 = [6051, 9861, 3215, 9736, 7815, 7641, 8063, 9979, 9024, 9213]
93     # 512 parameters
94
95     # Model optimizer
96     loss_criterion = torch.nn.MSELoss()
97
98     #best_nr_of_epochs_for_each_seed = []

```

```

92
93 for seed in range(nr_of_seeds):
94     # Reset the model
95     print(f"Seed {seed}")
96
97     # Input data
98     torch.manual_seed(seed) # setting the seed
99     x_data = (a - b) * torch.rand(nr_of_data).to(device) + b
100    y_data = (a - b) * torch.rand(nr_of_data).to(device) + b
101
102    # Targets
103    z_data = torch.empty(size = (nr_of_data, 1), dtype = torch.float64).to(
        device)
104
105    f = lambda x, y: 4 * x * y ** 2
106    z_data[:, 0] = f(x_data, y_data).to(device) # Wrong input
107
108    # Storing input data in tensor
109    input_tensor = torch.empty(size=(nr_of_data, 2)).to(device)
110    input_tensor[:, 0] = x_data; input_tensor[:, 1] = y_data
111
112    # Split the data into training and testing
113    train_input, train_target, test_input, test_target = train_test_split(
        input_tensor, z_data)
114
115    # Loop through all models and train them for this seed
116    for model_idx, model_factory in enumerate(model_factories):
117        model = model_factory()
118        optimizer = torch.optim.AdamW(model.parameters(), lr = learning_rate,
            weight_decay = weight_decay)
119        # Train the model
120        model.batch_train_model(x = train_input, targets = train_target,
            optimizer = optimizer, loss_criterion = loss_criterion, nr_epochs =
            epochs, print_loss_each = (epochs // 2), batch_size = batch_size,
            plot_loss = True, mse_plot_limit = 0.2)
121        # Test the model
122        running_loss = model.test_model(test_input, test_target, loss_criterion
            = torch.nn.L1Loss())
123        seed_loss[seed] += running_loss.item()
124        mean_loss[model_idx] += running_loss.item() / nr_of_seeds
125
126    # Printing and returning the loss
127    print(f"The mean test loss for {nr_of_seeds} seeds is {mean_loss}")
128    print(f"The seed loss is {seed_loss}")
129    return mean_loss
130
131
132 # Executing the analysis, saving all the models
133 model_factories = [
134     lambda: alexKAN.sequential(
135         alexKAN.functional(nr_in=2, nr_out=2, k=3, t=t_6),
136         alexKAN.functional(nr_in=2, nr_out=1, k=3, t=t_6)
137     ),
138     lambda: alexKAN.sequential(
139         alexKAN.functional(nr_in=2, nr_out=4, k=3, t=t_6),
140         alexKAN.functional(nr_in=4, nr_out=1, k=3, t=t_6)
141     ),
142     lambda: alexKAN.sequential( # The iconic 2-5-1 structure - 8 basis functions
143         alexKAN.functional(nr_in=2, nr_out=5, k=3, t=t_6),
144         alexKAN.functional(nr_in=5, nr_out=1, k=3, t=t_6)
145     ),
146     lambda: alexKAN.sequential(
147         alexKAN.functional(nr_in=2, nr_out=3, k=3, t=t_6),
148         alexKAN.functional(nr_in=3, nr_out=5, k=3, t=t_6),
149         alexKAN.functional(nr_in=5, nr_out=1, k=3, t=t_6)
150     ),
151     lambda: alexKAN.sequential(
152         alexKAN.functional(nr_in=2, nr_out=5, k=3, t=t_6),
153         alexKAN.functional(nr_in=5, nr_out=9, k=3, t=t_6),
154         alexKAN.functional(nr_in=9, nr_out=1, k=3, t=t_6)
155     ),
156     lambda: alexKAN.sequential(
157         alexKAN.functional(nr_in=2, nr_out=10, k=3, t=t_6),
158         alexKAN.functional(nr_in=10, nr_out=10, k=3, t=t_6),
159         alexKAN.functional(nr_in=10, nr_out=1, k=3, t=t_6)
160     ),
161     lambda: alexKAN.sequential( # more parameters per basis function
162         alexKAN.functional(nr_in=2, nr_out=7, k=3, t=t_14),
163         alexKAN.functional(nr_in=7, nr_out=6, k=3, t=t_14),
164         alexKAN.functional(nr_in=6, nr_out=1, k=3, t=t_14)
165     ),
166 ]
167
168 # Define main function

```

```

169 def main(nr_of_seeds = 10, parameters = [48, 96, 208, 512, 968], nr_of_data =
170         10000, batch_size = 250):
171     """
172     Description:
173     Runs the training and test, and plotting the losses for all the networks.
174
175     Arguments:
176     nr_of_seeds : The amount of seeds the model should be trained and tested over
177     batch_size : The batch size used for training the model
178     parameters : Number of parameters for all the models trained.
179     nr_of_data : Number of data for generation.
180
181     Returns:
182     """
183     mean_loss = train_and_test(nr_of_seeds = nr_of_seeds, nr_of_data = nr_of_data)
184     plt.figure()
185     plt.title(f"Medelabsolutfel (MAE) f r {nr_of_seeds} $\mathit{{seeds}}$")
186     plt.plot(parameters, mean_loss.detach().cpu().numpy(), marker="*", label="MAE
187             som funktion av antal parametrar")
188     plt.xlim([0, 1.1 * max(parameters)])
189     plt.ylim([0, 1.1 * max(mean_loss.cpu())])
190     plt.legend()
191     plt.grid()
192     plt.xlabel("Antal parametrar")
193     plt.ylabel("MAE")
194     plt.show()
195
196 main(nr_of_seeds = 10, nr_of_data = nr_of_data, batch_size = batch_size)
197
198 """
199 The following code is for image regression analysis.
200 """
201
202 # Import necessary packages
203 from PIL import Image, ImageOps
204 import numpy as np
205 import torch
206 import matplotlib.pyplot as plt
207 from skimage.color import rgb2gray
208 import matplotlib.pyplot as plt
209 import torch
210 import math
211 import pandas as pd
212 from torch.utils.data.dataset import random_split
213 import importlib
214 import alexKAN
215
216 # Reload, when modifying it, it needs to be reloaded every time
217 importlib.reload(alexKAN)
218 device = torch.device('cuda' if torch.cuda.is_available() else 'cpu')
219
220 # Read the picture
221 nr_pixels = 128
222 im = Image.open("/content/pepper.png") # Change the path of the file
223 im = im.resize((nr_pixels, nr_pixels))
224 im = ImageOps.grayscale(im)
225 pix = im.load()
226
227 # Make a numpy array and a torch tensor out of the image, normalized grayscale
228 # values
229 im_array = np.array(im) / 255 # Normalize the greyscale value
230 im_tensor = torch.tensor(im_array).to(device)
231 print(im_tensor)
232
233 # Show the image
234 plt.imshow(im, cmap = "grey")
235 plt.axis('off')
236 plt.show()
237
238 # Construct the data to the form we want it in
239 im_height, im_width = im_tensor.size()[0], im_tensor.size()[1]
240 im_input = torch.empty([im_height * im_width, 2], dtype = torch.float64).to(device)
241 im_target = torch.empty([im_height * im_width, 1], dtype = torch.float64).to(device)
242
243 # Remake it to a tensor suitable for the KAN library
244 for y, row in enumerate(im_tensor):
245     for x, pix in enumerate(row):
246         # Setting all the x, y and z values in the correct spot
247         im_input[y * im_width + x, 0] = x / im_width # x values
248         im_input[y * im_width + x, 1] = y / im_height # y values

```

```

249         im_target[y * im_width + x, 0] = pix.item()
250
251
252     # Running the analysis - create an analysis python script
253
254     # Defining the domain
255     a = -2
256     b = 2
257
258     # Model parameters
259     nr_of_knots = 6
260     t = torch.linspace(a, b, nr_of_knots).to(device)
261     t_14 = torch.linspace(a, b, 14).to(device)
262
263     k = 3 # degree
264     weight_decay = 1e-2 # Default weight_decay - l2 regularization
265     learning_rate = 0.001
266     epochs = 500
267     batch_size = 250
268
269
270     def train_and_test_image(nr_of_seeds = 1, parameters = [480, 1000, 2000, 4960,
271     10080]): # should take the model size as well
272         """
273         Description:
274         Trains and test the image regression model, for some specified KAN models.
275
276         Arguments:
277         nr_of_seeds : The number of seeds used to train the model
278         parameters : Number of parameters for all models trained.
279
280         Returns:
281         """
282
283         # Model optimizer
284         loss_criterion = torch.nn.MSELoss()
285         mean_loss = torch.zeros(5).to(device)
286
287         # Do this over a number of seeds, for the image experiment it is only done over
288         # one
289         for seed in range(nr_of_seeds):
290
291             # Reset the model
292             print(f"Seed {seed}")
293             torch.manual_seed(seed) # setting the seed
294             best_nr_epochs_list = []
295
296             # Reset the model, train on the optimal amount and test it
297             for model_idx, model_factory in enumerate(model_factories):
298                 model = model_factory()
299                 optimizer = torch.optim.AdamW(model.parameters(), lr = learning_rate,
300                 weight_decay = weight_decay)
301
302                 # Batch-train the model
303                 model.batch_train_model(x = im_input, targets = im_target, optimizer =
304                 optimizer, loss_criterion = loss_criterion, nr_epochs = epochs,
305                 print_loss_each = (epochs // 2), batch_size = batch_size, plot_loss
306                 = True, mse_plot_limit = 0.2)
307
308                 # Test the model - sort the pixels back into a 2d array
309                 pred_image = torch.zeros([nr_pixels, nr_pixels]).to(device)
310                 pred = model.forward(x = im_input)
311                 for pix_idx, pix in enumerate(pred):
312                     pix_x, pix_y = int(im_input[pix_idx, 0] * nr_pixels), int(im_input[
313                     pix_idx, 1] * nr_pixels)
314                     pred_image[pix_y, pix_x] = pix * 255
315
316                 # Test the loss for the model
317                 mae_loss = model.test_model(x = im_input, targets = im_target)
318                 mean_loss[model_idx] = mae_loss
319                 print(f"The MAE for the image is {mae_loss} after {epochs} epochs with
320                 {parameters[model_idx]} parameters")
321
322                 # Show the predicted image
323                 print(f"Image for model {parameters[model_idx]} parameters\n")
324                 pred_image_np = pred_image.detach().cpu().numpy()
325                 plt.imshow(pred_image_np, cmap = 'grey')
326                 plt.show()
327
328     # Defining all the models used
329     model_factories = [
330         lambda: alexKAN.sequential(
331             alexKAN.functional(nr_in=2, nr_out=5, k=3, t=t),
332             alexKAN.functional(nr_in=5, nr_out=4, k=3, t=t),

```

```

325         alexKAN.functional(nr_in=4, nr_out=6, k=3, t=t),
326         alexKAN.functional(nr_in=6, nr_out=1, k=3, t=t)
327     ),
328     lambda: alexKAN.sequential(
329         alexKAN.functional(nr_in=2, nr_out=8, k=3, t=t),
330         alexKAN.functional(nr_in=8, nr_out=8, k=3, t=t),
331         alexKAN.functional(nr_in=8, nr_out=5, k=3, t=t),
332         alexKAN.functional(nr_in=5, nr_out=1, k=3, t=t)
333     ),
334     lambda: alexKAN.sequential(
335         alexKAN.functional(nr_in=2, nr_out=10, k=3, t=t),
336         alexKAN.functional(nr_in=10, nr_out=11, k=3, t=t),
337         alexKAN.functional(nr_in=11, nr_out=10, k=3, t=t),
338         alexKAN.functional(nr_in=10, nr_out=1, k=3, t=t)
339     ),
340     lambda: alexKAN.sequential(
341         alexKAN.functional(nr_in=2, nr_out=10, k=3, t=t),
342         alexKAN.functional(nr_in=10, nr_out=20, k=3, t=t),
343         alexKAN.functional(nr_in=20, nr_out=13, k=3, t=t),
344         alexKAN.functional(nr_in=13, nr_out=10, k=3, t=t),
345         alexKAN.functional(nr_in=10, nr_out=1, k=3, t=t)
346     ),
347     lambda: alexKAN.sequential(
348         alexKAN.functional(nr_in=2, nr_out=20, k=3, t=t),
349         alexKAN.functional(nr_in=20, nr_out=20, k=3, t=t),
350         alexKAN.functional(nr_in=20, nr_out=20, k=3, t=t),
351         alexKAN.functional(nr_in=20, nr_out=20, k=3, t=t),
352         alexKAN.functional(nr_in=20, nr_out=1, k=3, t=t)
353     ),
354 ]
355
356 # Define main function
357 def main(nr_of_seeds = 1, parameters = [480, 1000, 2000, 4960, 10080]):
358     train_and_test_image(nr_of_seeds = nr_of_seeds)
359     """
360     Description:
361     Runs the image regression analysis for all KAN models.
362
363     Arguments:
364     nr_of_seeds : The number of seeds used to train the model
365     parameters : Number of parameters for all models trained.
366
367     Returns:
368     """
369
370 main(nr_of_seeds = 1)
371
372
373 # The following code is for reconstruction of Peppers in different dimensions
374
375 # The largest image has to be broken down because the memory of the GPU cannot
376 # handle that large of a tensor
377 # hence the 512x512 image will be broken into 4 pieces, where the following
378 # function splits the image
379 # It also selects one of the for to input to the model
380
381 def image_selector(image_nr_x, image_nr_y, nr_of_subimages_per_dimension = 2):
382     """
383     Description:
384     The function splits a large image into sub-parts. The number of sub-parts is 4.
385     The purpose of this function is to divide the 512x512 image into four
386     subparts
387
388     Arguments:
389     image_nr_x : which of the sub-images in x (width) direction
390     image_nr_y : which of the sub-images in y (height) direction
391     nr_of_sub_images_per_dimension : The number of images per dimension.
392
393     Returns:
394     test_im_input : Returns the sub-image of the specified location.
395
396     """
397     nr_of_images = nr_of_subimages_per_dimension ** 2
398     nr_pixels = 512
399     pixel_split = nr_pixels // nr_of_subimages_per_dimension
400     test_im_input = torch.empty([pixel_split * pixel_split, 2], dtype = torch.float64
401     ).to(device)
402     for y in range(pixel_split * (image_nr_y), pixel_split * (image_nr_y + 1)):
403         for x in range(pixel_split * (image_nr_x), pixel_split * (image_nr_x + 1)):
404             local_x, local_y = x - pixel_split * image_nr_x, y - pixel_split * image_nr_y
405             # Move all indexed to first quadrant
406             idx = local_y * pixel_split + local_x

```

```

403     # Setting all the x, y and z values in the correct spot
404     test_im_input[idx, 0] = x / nr_pixels # x values
405     test_im_input[idx, 1] = y / nr_pixels # y values
406     print(test_im_input)
407     return test_im_input
408
409
410 # The following reconstructs all the images for a 36100 parameter KAN and saves the
411     image in a csv file for the 512x512 image
412
413 # Defining the domain
414 a = -2
415 b = 2
416
417 # Model parameters
418 nr_of_knots = 5
419 t = torch.linspace(a, b, nr_of_knots).to(device)
420
421 k = 3 # degree
422 weight_decay = 1e-2 # Default weight_decay - l2 regularization
423 learning_rate = 0.001
424 epochs = 500
425 batch_size = 250
426
427 def reconstruction_test(nr_of_seeds = 1, image_reconstruction_dimensions = [32, 64,
428     128, 256, 512]): # should take the model size as well
429     """
430     Description:
431     This function reconstructs the image for the specified dimensions, trained on a
432     specified KAN model.
433
434     Arguments:
435     nr_of_seeds : Number of seeds the training should be carried out on.
436     image_reconstruction_dimensions : Defines the dimensions for which the image
437     should be reconstructed from.
438
439     Returns:
440     """
441     # Model optimizer
442     loss_criterion = torch.nn.MSELoss()
443
444     for seed in range(nr_of_seeds):
445         # Reset the model
446         print(f"Seed {seed}")
447         torch.manual_seed(seed) # setting the seed
448         best_nr_epochs_list = []
449
450         # Reset the model, train on the optimal amount and test it
451         for model_idx, model_factory in enumerate(model_factories):
452             model = model_factory()
453             optimizer = torch.optim.AdamW(model.parameters(), lr = learning_rate,
454                 weight_decay = weight_decay)
455
456             # Batch-train the model
457             model.batch_train_model(x = im_input, targets = im_target, optimizer =
458                 optimizer, loss_criterion = loss_criterion, nr_epochs = epochs,
459                 print_loss_each = 10, batch_size = batch_size, plot_loss = True,
460                 mse_plot_limit = 0.2, testing_data = im_input, testing_targets =
461                 im_target)
462
463             # Test the model - construct multiple images
464             for dimension_idx, im_dimension in enumerate(
465                 image_reconstruction_dimensions):
466                 if im_dimension == 512:
467                     # Split the image into 4 sub-images
468                     nr_splits = 2
469                     nr_pixel_per_split = im_dimension // nr_splits
470
471                     image_x = 1
472                     image_y = 1
473                     test_im_input = image_selector(image_x, image_y,
474                         nr_of_subimages_per_dimension = nr_splits)
475                 else: # if not
476                     test_im_input = torch.empty([im_dimension * im_dimension, 2], dtype
477                         = torch.float64).to(device)
478                     for y in range(im_dimension):
479                         for x in range(im_dimension):
480                             # Setting all the x, y and z values in the correct spot
481                             test_im_input[y * im_dimension + x, 0] = x / im_dimension # x
482                                 values
483                             test_im_input[y * im_dimension + x, 1] = y / im_dimension # y

```

```

474         values
475     if im_dimension == 512:
476         # Fix indexing - the current tensor, and re-organize it to fit the
477         # local indices
478         test_im_input_local = test_im_input.clone()
479         test_im_input_local[:, 0] = (test_im_input[:, 0] * nr_splits) % 1
480         test_im_input_local[:, 1] = (test_im_input[:, 1] * nr_splits) % 1
481
482         # Define the image number
483         image_nr = image_x + image_y * nr_splits
484
485         pred_image_test = torch.zeros([nr_pixel_per_split,
486                                       nr_pixel_per_split]).to(device)
487     else:
488         pred_image_test = torch.zeros([im_dimension, im_dimension]).to(
489             device)
490     pred = model.forward(x = test_im_input)
491
492     # Loop through all the pixels and replace them in their original
493     # location
494     for pix_idx, pix in enumerate(pred):
495         pix_x = int(test_im_input[pix_idx, 0] * im_dimension)
496         pix_y = int(test_im_input[pix_idx, 1] * im_dimension)
497         pred_image_test[pix_y, pix_x] = pix * 255
498     pred_image_np = pred_image_test.detach().cpu().numpy()
499     df = pd.DataFrame(pred_image_np)
500     if im_dimension == 512: # Save the largest image in order to merge it
501         df.to_csv(f"image_{dimension_idx}.csv", index=False)
502         plt.imsave(f"image_{dimension_idx}_interpolated.png", pred_image_np,
503                   cmap = "gray")
504
505     # Show the predicted image
506     print(f"Image for model {im_dimension} parameters\n")
507     plt.imshow(pred_image_np, cmap = 'grey')
508     plt.show()
509
510 # Define the only model
511 model_factories = [
512     lambda: alexKAN.sequential(
513         alexKAN.functional(nr_in=2, nr_out=41, k=3, t=t),
514         alexKAN.functional(nr_in=41, nr_out=50, k=3, t=t),
515         alexKAN.functional(nr_in=50, nr_out=43, k=3, t=t),
516         alexKAN.functional(nr_in=43, nr_out=20, k=3, t=t),
517         alexKAN.functional(nr_in=20, nr_out=1, k=3, t=t)
518     ),
519 ]
520
521 # Define main function
522 def main(nr_of_seeds = 1):
523     reconstruction_test(nr_of_seeds = nr_of_seeds, split = False)
524
525 main(nr_of_seeds = 1)
526
527 # The following script merges all the sub-images that are stored in a dataframe
528
529 sub_image_0 = pd.read_csv("sub_image_0.csv")
530 sub_image_1 = pd.read_csv("sub_image_1.csv")
531 sub_image_2 = pd.read_csv("sub_image_2.csv")
532 sub_image_3 = pd.read_csv("sub_image_3.csv")
533 top_image = pd.concat([sub_image_0, sub_image_1], axis = 1)
534 bottom_image = pd.concat([sub_image_2, sub_image_3], axis = 1)
535 reconstructed_image = pd.concat([top_image, bottom_image], axis = 0)
536 # reconstructed_image.to_csv("restored_512_image.csv")
537 image_array = reconstructed_image.to_numpy()
538 import cv2
539 import numpy as np
540
541 array = reconstructed_image.to_numpy()
542 plt.figure()
543 plt.imshow(array, cmap = "grey")
544 plt.axis("off")
545 plt.show()

```

C.1.4 Skript 4: Analys av MLP

```

1 # Define the MLP structures that are wanted
2 function_networks_matrix = [
3     [2, 3, 4, 4, 1],
4     [2, 5, 6, 6, 1],
5     [2, 9, 10, 6, 1],

```

```

6     [2, 15, 16, 11, 1],
7     [2, 15, 27, 18, 1]
8 ]
9
10 image_regression_networks_matrix = [
11     [2, 15, 16, 11, 1],
12     [2, 15, 27, 18, 1],
13     [2, 25, 36, 26, 1],
14     [2, 45, 57, 38, 1],
15     [2, 56, 83, 60, 1]
16 ]
17
18 # Re-define them as tensors
19 function_networks = torch.tensor(function_networks_matrix).to(device)
20 image_regression_networks = torch.tensor(image_regression_networks_matrix).to(
    device)
21
22 # Building a function which trains and test the neural network
23 def train_and_test(train_input, train_target, test_input, test_target, model,
    nr_epochs = 10, batch_size = 250, print_test = False, print_test_every_epoch =
    5, classification_task = False, loss_criterion = torch.nn.MSELoss(),
    best_testing_accuracy = 0):
24
25     """
26     Description:
27     Trains and test the neural network models, whos structures are user-specified.
28     It also plots heatmaps if it is a classification task.
29
30     Arguments:
31     train_input : Training data input.
32     train_target : Training target input.
33     test_input : Testing data input.
34     test_target : Testing target input.
35     model : The model that should be used for training.
36     nr_epochs : The number of epochs the model should be trained for.
37     batch_size : The batch size the model should be trained for
38     print_test : True / False statement if the test results should be printed.
39     print_test_every_epoch : Define when the loss should be printed.
40     classification_task : Defines if it is a classification task or not.
41     loss_criterion : Defines what loss function should be used for optimization.
42     best_testing_accuracy : Defines the best model accuracy during training,
43     for evaluation of network.
44
45     Returns:
46     test_loss : Returns the test loss for the model when evaluated.
47     """
48
49     # Define which optimizer that should be used
50     optimizer = torch.optim.AdamW(model.parameters(), lr = 0.001, weight_decay =
    0.01)
51
52     # Define which loss criterion should be used for testing the model
53     test_loss_criterion = torch.nn.L1Loss()
54
55     # Define the number of data and the number of batches
56     nr_data = train_input.size()[0]
57     nr_batches = int(math.ceil(nr_data / batch_size))
58     for epoch in range(nr_epochs):
59
60         # Shuffle the indices
61         shuffled_indices = torch.randperm(nr_data).to(device)
62
63         for batch_idx in range(nr_batches):
64
65             # Define the batch indices
66             start_index = batch_idx * batch_size
67             end_index = min((batch_idx + 1) * batch_size, nr_data)
68             current_batch_indices = shuffled_indices[start_index : end_index].to(
                device)
69             current_batch_input, current_batch_target = train_input[
                current_batch_indices].to(device), train_target[
                current_batch_indices].to(device)
70
71             # Propagation through the network
72             current_batch_predictions = model(current_batch_input)
73             loss = loss_criterion(current_batch_predictions, current_batch_target)
74
75             # Backpropagation
76             optimizer.zero_grad()
77             loss.backward()
78             optimizer.step()
79
80         # Test the model

```

```

77     test_predictions = model(test_input)
78     test_loss = test_loss_criterion(test_predictions, test_target)
79
80     # Fix a heatmap for the classification
81     if classification_task:
82
83         # Define that we do not want to update weights when evaluating
84         with torch.no_grad():
85             # Sigmoid, which BCELossWithLogits does internally
86             predictions = torch.sigmoid(model.forward(test_input))
87
88             # Separate which are correctly predicted
89             predicted_labels = (predictions >= 0.5).float()
90             targets = test_target.view(-1, 1).float()
91
92             # Count the total correct predicted
93             total_correct = (predicted_labels == targets).sum().item()
94             total_samples = targets.size(0)
95
96             # Calculate the accuracy
97             if total_samples != 0:
98                 model_accuracy = total_correct / total_samples
99                 print(f"The model accuracy of test images is {model_accuracy *
100                    100:.2f}%")
101
102             # Only want to show the best testing accuracy
103             if model_accuracy > best_testing_accuracy or epoch + 1 == nr_epochs:
104                 best_testing_accuracy = max(model_accuracy, best_testing_accuracy)
105
106             # Extract the predicted values to the cpu, needs to be constructed to
107             # numpy array
108             preds = predicted_labels.cpu()
109             truth = targets.cpu()
110
111             # Count True Positive, True Negative, False Positive and False
112             # Negative
113             TP = ((preds == 1) & (truth == 1)).sum().item()
114             TN = ((preds == 0) & (truth == 0)).sum().item()
115             FP = ((preds == 1) & (truth == 0)).sum().item()
116             FN = ((preds == 0) & (truth == 1)).sum().item()
117
118             # Construct a confusion matrix
119             conf_matrix = np.array([[TP, FP], [FN, TN]])
120
121             # Define the labels for the axes
122             labels = ['1', '0']
123
124             # Construct a heatmap
125             plt.figure()
126             sns.heatmap(conf_matrix, annot=True, fmt="d", cmap="Greens",
127                        xticklabels=labels, yticklabels=labels)
128             plt.xlabel("Predikterad etikett")
129             plt.ylabel("Etikett")
130             plt.show()
131
132             if (print_test) and ((epoch + 1) % print_test_every_epoch == 0):
133                 print(f"The test MAE after {epoch + 1} epochs is {test_loss}")
134
135     # Return the final loss
136     return test_loss
137
138 # Construct the data that is used for the model
139
140 # Metrics - define for where the data should be gathered from for the function
141 # regression
142 seed = 0 # loop over seeds
143 a = -2
144 b = 2
145 nr_of_data = 10000
146
147 def get_data(seed, a, b, nr_of_data):
148     """
149     Description:
150     Generates the data for function regression, with a specific seed. The function
151     for which analysis is carried out for is defined in the get_data function.
152
153     Arguments:
154     seed : Defines the seed for which the data should be randomly generated for.
155     a : Defines the lower limit for which the data should be randomly generated for
156     b : Defines the upper limit for which the data should be randomly generated for

```

```

154     nr_of_data : Defines the number of data that should be generated.
155
156     Returns :
157     train_input : The splitted training input data.
158     train_target : The splitted training target data.
159     test_input : The splitted testing input data.
160     test_target : The splitted testing target data.
161     """
162     torch.manual_seed(seed) # setting the seed
163
164     # Get the x and y data randomly over the interval
165     x_data = (a - b) * torch.rand(nr_of_data).to(device) + b
166     y_data = (a - b) * torch.rand(nr_of_data).to(device) + b
167
168     # Targets
169     z_data = torch.empty(size = (nr_of_data, 1), dtype = torch.float64).to(device)
170     f = lambda x, y: 4 * x * y ** 2
171     z_data[:, 0] = f(x_data, y_data).to(device) # Wrong input
172
173     # Storing input data in tensor
174     input_tensor = torch.empty(size=(nr_of_data, 2)).to(device)
175     input_tensor[:, 0] = x_data; input_tensor[:, 1] = y_data
176
177     # Split the data into training and testing
178     train_input, train_target, test_input, test_target = train_test_split(
179         input_tensor, z_data)
180     return train_input, train_target, test_input, test_target
181
182 train_input, train_target, test_input, test_target = get_data(seed = seed, a = a, b
183     = b, nr_of_data = nr_of_data)
184
185 # Define the main loop for the model - the training loop
186
187 def main(train_input_dataset, train_target_dataset, test_input_dataset,
188     test_target_dataset, nr_epochs = 10, parameter_list = [], avg_test_losses =
189     torch.zeros(len(function_networks)).to(device), analysis = "NaN", networks =
190     function_networks, nr_of_seeds = 1):
191     # Loop over seeds
192     """
193     Description:
194     The function is the main training loop for the function regression analysis.
195
196     Arguments:
197     train_input_dataset : The train input dataset.
198     train_target_dataset : The train target dataset.
199     test_input_dataset : The test input dataset.
200     test_target_dataset : The test target dataset.
201     nr_epochs : Defines how many epochs the network should be trained over.
202     parameter_list : Defines the amount of parameters that the models have, used
203         for plotting purposes.
204     avg_test_losses : stores all the losses of the functions
205     analysis : Defines which analysis the model is running, for printing purposes.
206     networks : defines the array of models that are used for this experiment.
207     nr_of_seeds : Defines how many seeds the models should be trained on for
208         comparison.
209
210     Return:
211     avg_test_losses : The test losses for the functions.
212     """
213     for seed in range(nr_of_seeds):
214         torch.manual_seed(seed = seed)
215         print(f"Seed {seed}")
216         # Creating an image
217
218         for network_idx, network in enumerate(function_networks):
219
220             # Constructing the torch model
221             layers = []
222
223             for i in range(len(network) - 2):
224                 nr_layer_input_neurons, nr_layer_output_neurons = int(network[i]),
225                     int(network[i + 1])
226                 layers.append(torch.nn.Linear(nr_layer_input_neurons,
227                     nr_layer_output_neurons))
228                 layers.append(torch.nn.ReLU())
229
230             layers.append(torch.nn.Linear(int(network[-2]), int(network[-1]))) #
231                 Final layer without activation
232
233             # Establishing the model for the network
234             model = torch.nn.Sequential(*layers).to(device)

```

```

227     # Training and testing all models
228     test_loss = train_and_test(train_input = train_input_dataset.float(),
                               train_target = train_target_dataset.float(), test_input =
                               test_input_dataset.float(), test_target = test_target_dataset.float()
                               (), model = model, nr_epochs = nr_epochs, batch_size = 250,
                               print_test = False, print_test_every_epoch = 5)
229     avg_test_losses[network_idx] += test_loss / nr_of_seeds
230
231     # Showing a predicted image
232     if analysis == "image regression":
233         print(f"The image for {parameter_list[network_idx]} parameters")
234         plt.figure()
235         forwarded_image = model(test_input_dataset.float())
236         predicted_image = np.zeros([nr_pixels, nr_pixels])
237         for pix_idx, pix in enumerate(forwarded_image):
238             pix_x, pix_y = int(im_input[pix_idx, 0] * nr_pixels), int(
                im_input[pix_idx, 1] * nr_pixels)
239             predicted_image[pix_y, pix_x] = pix * 255
240         plt.imshow(predicted_image, cmap = 'grey')
241         plt.show()
242
243
244
245     # Printing the results
246     print(f"The {analysis} analysis test losses are {avg_test_losses}")
247
248     # Plotting the results
249     if len(parameter_list) == len(avg_test_losses):
250         plt.figure()
251         plt.plot(parameter_list, avg_test_losses.cpu().detach(), label = f"Average
                test losses for {nr_of_seeds} seeds ")
252         plt.legend()
253         plt.grid()
254         plt.show()
255
256     # Return the average loss
257     return avg_test_losses
258
259 # Metrics
260 function_parameter_list = [50, 100, 200, 500, 1000]
261 image_regression_parameter_list = [500, 1000, 2000, 5000, 10000]
262 nr_epochs = 500
263 nr_of_seeds = 10
264
265 function_test_losses = main(train_input_dataset = train_input, train_target_dataset
    = train_target, test_input_dataset = test_input, test_target_dataset =
    test_target, nr_epochs = nr_epochs, parameter_list = function_parameter_list,
    analysis = "function regression", networks = function_networks, nr_of_seeds =
    nr_of_seeds)

```

C.1.5 Skript 5: Klassificering av KAN och MLP

```

1
2 # Install the Pneumonia MNIST dataset
3 !pip install -q medmnist
4
5 # Importing libraries
6 import medmnist
7 from medmnist import PneumoniaMNIST
8 from medmnist import INFO
9 import importlib
10 import alexKAN
11 importlib.reload(alexKAN)
12
13 # PyTorch imports
14 import torch
15 from torchvision import transforms
16 from torch.utils.data import DataLoader, ConcatDataset
17 device = torch.device("cuda" if torch.cuda.is_available() else "cpu")
18
19 # Choose task and download
20 data_flag = 'pneumoniamnist'
21 download = True
22
23 # Define the information for the dataset, and load it with a data class
24 info = INFO[data_flag]
25 DataClass = getattr(medmnist, info['python_class'])
26
27 # Define transforms
28 transform = transforms.Compose([
29     transforms.ToTensor(),
30     transforms.Normalize(mean=[.5], std=[.5]) # Since grayscale

```

```

31 ])
32
33 # Load the different dataset
34 train_dataset = DataClass(split = 'train', transform = transform, download =
    download)
35 val_dataset = DataClass(split = 'val', transform = transform, download = download
    )
36 test_dataset = DataClass(split = 'test', transform = transform, download =
    download)
37 dataset = ConcatDataset([train_dataset, val_dataset, test_dataset])
38
39 # For exploratory purposes
40 print(f"Number of training samples: {len(train_dataset)}")
41 print(f"Number of validation samples: {len(val_dataset)}")
42 print(f"Number of testing samples: {len(test_dataset)}")
43
44 # Reconstruct the data in the form we want it in - suitable for the KAN networks
45 image_length = len(train_dataset[0][0][0].flatten())
46
47 # Split the images and their labels
48 pneumonia_data_set = torch.empty([len(dataset), image_length], dtype = torch.
    float64).to(device)
49 pneumonia_labels = torch.empty([len(dataset), 1], dtype = torch.float64).to(device)
50 for image in range(len(dataset)):
51     pneumonia_data_set[image, :] = dataset[image][0][0].flatten()
52     pneumonia_labels[image, 0] = torch.tensor(dataset[image][1], dtype =
        pneumonia_labels.dtype, device = pneumonia_labels.device)
53
54 # Train and test split of the dataset
55 pneumonia_data_set_train = torch.empty([len(train_dataset), image_length], dtype =
    torch.float64).to(device)
56 pneumonia_labels_train = torch.empty([len(train_dataset), 1], dtype = torch.float64
    ).to(device)
57 pneumonia_data_set_test = torch.empty([len(test_dataset), image_length], dtype =
    torch.float64).to(device)
58 pneumonia_labels_test = torch.empty([len(test_dataset), 1], dtype = torch.float64).
    to(device)
59
60 # Construct it to the form required for the KAN model
61 for image in range(len(train_dataset)):
62     pneumonia_data_set_train[image, :] = train_dataset[image][0][0].flatten()
63     pneumonia_labels_train[image, 0] = torch.tensor(train_dataset[image][1], dtype
        = pneumonia_labels_train.dtype, device = pneumonia_labels_train.device)
64 for image in range(len(test_dataset)):
65     pneumonia_data_set_test[image, :] = test_dataset[image][0][0].flatten()
66     pneumonia_labels_test[image, 0] = torch.tensor(test_dataset[image][1], dtype =
        pneumonia_labels_test.dtype, device = pneumonia_labels_test.device)
67
68 # Defining the domain
69 a = 0
70 b = 1
71
72 # Model parameters - define the different knot intervals
73 t_5 = torch.linspace(a, b, 5).to(device)
74 t_11 = torch.linspace(a, b, 11).to(device)
75 t_17 = torch.linspace(a, b, 17).to(device)
76
77 k = 3 # degree
78 weight_decay = 1e-2 # Default weight_decay - l2 regularization
79 learning_rate = 0.001
80 epochs = 100
81 batch_size = 250
82
83
84 def pneumonia_mnist_classification(nr_of_seeds = 1): # should take the model size
    as well
85     """
86     Description:
87     The defined model is trained on the Pneumonia MNIST data set. This function
        loops through all KAN models and trains them on the data set.
88
89     Arguments:
90     nr_of_seeds : Defines how many seeds the models should be trained on for
        comparison.
91
92     Return:
93     None
94     """
95     # Define the classification loss function
96     loss_criterion = torch.nn.BCEWithLogitsLoss()
97
98     # Loop through all the seeds
99     for seed in range(nr_of_seeds):
100         # Reset the model

```

```

101     print(f"Seed {seed}")
102     torch.manual_seed(seed) # setting the seed
103
104     # Reset the model, train on the optimal amount and test it
105     for model_idx, model_factory in enumerate(model_factories):
106         print("=====")
107         print(f"Model {model_idx + 1}")
108         model = model_factory()
109         optimizer = torch.optim.AdamW(model.parameters(), lr = learning_rate,
110                                     weight_decay = weight_decay)
111
112         # Batch-train the model
113         model.batch_train_model(x = pneumonia_data_set_train, targets =
114                               pneumonia_labels_train, optimizer = optimizer, loss_criterion =
115                               loss_criterion, nr_epochs = epochs, print_loss_each = 1, batch_size =
116                               batch_size, plot_loss = True, mse_plot_limit = 0.7,
117                               classification_task = True, testing_data = pneumonia_data_set_test,
118                               testing_targets = pneumonia_labels_test)
119
120         # Test the model - sort the pixels back into a 2d array
121         mae_loss = model.test_model(x = pneumonia_data_set_test, targets =
122                                   pneumonia_labels_test, classification_task = True)
123         print(f"The MAE for the image is {mae_loss} after {epochs} epochs with
124               {nr_parameters} parameters")
125
126     # Defines the used models
127     model_factories = [
128         lambda: alexKAN.sequential(
129             alexKAN.functional(nr_in = 28 * 28, nr_out=1, k=3, t=t_5),
130         ),
131         lambda: alexKAN.sequential(
132             alexKAN.functional(nr_in = 28 * 28, nr_out=1, k=3, t=t_11),
133         ),
134         lambda: alexKAN.sequential(
135             alexKAN.functional(nr_in = 28 * 28, nr_out=1, k=3, t=t_17),
136         ),
137     ]
138
139     # Define main function
140     def main(nr_of_seeds = 1):
141         """
142         Description:
143         The defined model is trained on the Pneumonia MNIST data set and runs the
144         analysis.
145
146         Arguments:
147         nr_of_seeds : Defines how many seeds the models should be trained on for
148         comparison.
149
150         Return:
151         """
152         pneumonia_mnist_classification(nr_of_seeds = nr_of_seeds)
153
154     main(nr_of_seeds = 1)
155
156     # This runs the analysis for a CNN
157     import torch.nn as nn
158     import math
159     import numpy as np
160     import matplotlib.pyplot as plt
161     import seaborn as sns
162     from torch.utils.data import DataLoader
163
164     # Reload the data
165     train_loader = DataLoader(train_dataset, batch_size=len(train_dataset))
166     test_loader = DataLoader(test_dataset, batch_size=len(test_dataset))
167
168     # Load all data in one batch
169     train_data_iter = iter(train_loader)
170     test_data_iter = iter(test_loader)
171
172     # Split the data to their respective parts
173     images_train, labels_train = next(train_data_iter)
174     images_test, labels_test = next(test_data_iter)
175
176     # Convert to float - threw an error previously
177     images_train = images_train.float().to(device)
178     images_test = images_test.float().to(device)
179     labels_train = labels_train.float().to(device)
180     labels_test = labels_test.float().to(device)
181
182     # Define all the CNNs
183     CNN_5857 = nn.Sequential(
184         nn.Conv2d(1, 32, kernel_size=5, stride=1, padding=0),

```

```

175     nn.ReLU(),
176     nn.MaxPool2d(2, 2),
177
178     nn.Conv2d(32, 16, kernel_size=3, stride=1, padding=0),
179     nn.ReLU(),
180     nn.MaxPool2d(2, 2),
181
182     nn.Flatten(),
183     nn.Linear(400, 1)
184 ).to(device)
185
186 CNN_10881 = nn.Sequential(
187     nn.Conv2d(1, 32, kernel_size=5, stride=1, padding=0),
188     nn.ReLU(),
189     nn.MaxPool2d(kernel_size=2, stride=2),
190
191     nn.Conv2d(32, 32, kernel_size=3, stride=1, padding=0),
192     nn.ReLU(),
193     nn.MaxPool2d(kernel_size=2, stride=2),
194
195     nn.Flatten(),
196     nn.Linear(800, 1)
197 ).to(device)
198
199
200 CNN_15905 = nn.Sequential(
201     nn.Conv2d(1, 48, kernel_size=5, stride=1, padding=0),
202     nn.ReLU(),
203     nn.MaxPool2d(2, 2),
204     nn.Conv2d(48, 32, kernel_size=3, stride=1, padding=0),
205     nn.ReLU(),
206     nn.MaxPool2d(2, 2),
207
208     nn.Flatten(),
209     nn.Linear(800, 1)
210 ).to(device)
211
212 # Define the hyperparameters for the model and specify the loss function. Weighted
213 # penalization due to being an imbalanced dataset.
214 num_parameters = sum(p.numel() for p in CNN_5857.parameters() if p.requires_grad)
215 nr_epochs = 400
216 pos_weight = torch.tensor([3439 / 1245]).to(device)
217 loss_criterion = torch.nn.BCEWithLogitsLoss(pos_weight = pos_weight)
218 best_5857_accuracy = 0
219 best_10881_accuracy = 0
220 best_15905_accuracy = 0
221
222 # Run the train_and_test function for all the CNNs
223 print(f"CNN 5857 =====")
224 test_loss_5857 = train_and_test(train_input = images_train, train_target =
225     labels_train, test_input = images_test, test_target = labels_test, model =
226     CNN_5857, nr_epochs = nr_epochs, batch_size = 250, print_test = False,
227     print_test_every_epoch = 5, classification_task = True, loss_criterion =
228     loss_criterion, best_testing_accuracy = 0)
229 print(f"CNN 10881 =====")
230 test_loss_10881 = train_and_test(train_input = images_train, train_target =
231     labels_train, test_input = images_test, test_target = labels_test, model =
232     CNN_10881, nr_epochs = nr_epochs, batch_size = 250, print_test = False,
233     print_test_every_epoch = 5, classification_task = True, loss_criterion =
234     loss_criterion, best_testing_accuracy = 0)
235 print(f"CNN 15905 =====")
236 test_loss_15905 = train_and_test(train_input = images_train, train_target =
237     labels_train, test_input = images_test, test_target = labels_test, model =
238     CNN_15905, nr_epochs = nr_epochs, batch_size = 250, print_test = False,
239     print_test_every_epoch = 5, classification_task = True, loss_criterion =
240     loss_criterion, best_testing_accuracy = 0)

```

C.1.6 Skript 6: plottning av grafer

```

1 import matplotlib.pyplot as plt
2 import numpy as np
3
4 #values for plot between sprcher
5 #values = [4.47525, 4.31478, 3.36936, 3.03245, 1.57732, 1.49841, 0.19069, 0.17672,
6     0.17338]
7
8 #Number of parameters
9 valuesx = [[48, 96, 120, 208, 512, 968, 992],
10     [31, 49, 99, 195, 492, 1021, 1022],
11     [52, 63, 101, 195, 503, 1005, 1015],
12     [50, 100, 200, 500, 1000]]

```

```

13
14 #values for the number of parameters
15 valuesy = [[0.4312, 0.1935, 0.1338, 0.3445, 0.2055, 0.0586, 0.0749],
16            [0.11127, 0.09501, 0.18789, 0.05243, 0.02892, 0.0304, 0.02613],
17            [0.12059, 0.0666, 0.06913, 0.05574, 0.02836, 0.01585, 0.02525],
18            [3.4583, 0.8944, 0.1867, 0.0979, 0.0735] ]
19 colors = np.array(["palevioletred", "cyan", "lightseagreen", "rosybrown", "
    mediumslateblue", "yellowgreen", "hotpink", "purple", "darksalmon"])
20 names = ["Org", "Multi", "Brown", "Single", "96Pro", "Special", "Classical", "
    Lambda", "Comb"]
21
22 #Uncomment the following code to plot all 9 implementations.
23 """
24 for i in range(9):
25     plt.scatter(x=[i+1], y=[values[i]], c=colors[i], label=f'Plot {i+1}')
26     plt.text(x=i+1, y=values[i]+0.1, s=names[i])
27     plt.xticks(color='w')
28
29
30 plt.title("Skillnader i fel mellan olika implementationer av Sprechers sats")
31 plt.xlabel("Implementation")
32 plt.ylabel("MAE")
33 """
34
35 #Uncomment the following code to plot the three implementations that gave the best
    results zoomed in.
36
37 plt.subplot(xlim=(0.5, 3.5), ylim=(0.16, 0.2))
38 for i in range(3):
39     plt.scatter(x=[i+1], y=[values[i+6]], c=colors[i+6], label=f'Plot {i+6}')
40     plt.text(x=i+1, y=values[i+6]+0.0005, s=names[i+6])
41     plt.xticks(color='w')
42
43 plt.title("F r storing av de tre b st presterande implementationerna")
44 plt.xlabel("Implementation")
45 plt.ylabel("MAE")
46 plt.show()
47 """
48
49 #Uncomment the following code to print MAE
50 #for i in range(7):
51 #     plt.scatter(x=[i+1], y=[values[i]], c=colors[i], label=f'Plot {i+1}')
52 #     plt.text(x=i+1, y=values[i]+0.1, s=names[i])
53
54 #plt.title("Olika implementationer av Sprechers sats")
55 #plt.xlabel("Implementation")
56 #plt.ylabel("MAE")
57
58 titel = ["KAN", "SprecherLambda", "SprecherComb", "MLP"]
59
60
61 plt.figure()
62 plt.title(f"Medelabsolutfel (MAE) f r bildregressionen")
63 for i in range(4):
64     plt.plot(valuesx[i], valuesy[i], marker = "o", label = titel[i])
65 plt.xlim([0, 1.1 * 1000])
66 plt.ylim([0, 1.1 * 0.45])
67 plt.legend()
68 plt.grid()
69 plt.xlabel("Antal parametrar")
70 plt.ylabel("MAE")
71 plt.show()
72
73
74 """
75     plt.figure()
76     plt.title(f"Medelabsolutfel (MAE) f r {nr_of_seeds} $\mathit{{seeds}}$")
77     plt.plot(parameters, mean_loss.detach().numpy(), marker = "*", label = "MAE som
        funktion av antal parametrar")
78     plt.xlim([0, 1.1 * max(parameters)])
79     plt.ylim([0, 1.1 * max(mean_loss)])
80     plt.legend()
81     plt.grid()
82     plt.xlabel("Antal parametrar")
83     plt.ylabel("MAE")
84     plt.show()
85
86 main(nr_of_seeds = 1)
87 """

```

C.2 SKAN

C.2.1 Skript 1: Funktionsregression SKAN

```
1 #imports:
2 import torch
3 import torch.nn as nn
4 import torch.optim as optim
5 from torch.utils.data import DataLoader, TensorDataset, random_split
6 import numpy as np
7 import matplotlib.pyplot as plt
8 from numpy.random import rand
9 import pandas as pd
10 from functools import partial
11 import random
12 torch.cuda.empty_cache()
13 #-----
14 # Setting up data:
15
16 def train_test_split(input, target, test_fraction = 0.2):
17
18     """
19     Train test split function:
20     Arguments:
21     input : The input tensor data.
22     target : The target tensor data.
23     test_fraction : The fraction of the dataset in the test data.
24
25     Return:
26     train_input : The training input to the network.
27     train_target : The corresponding training target.
28     test_input : The testing input to the network.
29     test_target : The corresponding testing target.
30
31     """
32
33     # Metrics for the data
34     data_length = input.size()[0]
35     train_size = int((1 - test_fraction) * data_length) # Generate the train size
36
37     # Random permutation of the tensors when merged to keep track of which inputs
38     # correspond to the same outputs
39     perm = torch.randperm(data_length)
40     input, target = input[perm, :], target[perm, :]
41
42     # Divide permutation based on training size
43     train_input, train_target = input[:train_size, :], target[:train_size, :]
44     test_input, test_target = input[train_size:, :], target[train_size:, :]
45
46     # Return the train and test tensors
47     return train_input, train_target, test_input, test_target
48
49 seed=0
50 a = -2
51 b = 2
52 nr_of_data = 10000
53
54 def get_data(seed, a, b, nr_of_data):
55     torch.manual_seed(seed) # setting the seed
56     x_data = (a - b) * torch.rand(nr_of_data) + b
57     y_data = (a - b) * torch.rand(nr_of_data) + b
58
59     # Targets
60     z_data = torch.empty(size = (nr_of_data, 1), dtype = torch.float64)
61     f = lambda x, y: 4 * x * y ** 2
62     z_data[:, 0] = f(x_data, y_data) # Wrong input
63
64     # Storing input data in tensor
65     input_tensor = torch.empty(size=(nr_of_data, 2))
66     input_tensor[:, 0] = x_data; input_tensor[:, 1] = y_data
67
68     # Split the data into training and testing
69     train_input, train_target, test_input, test_target = train_test_split(
70         input_tensor, z_data)
71     return train_input, train_target, test_input, test_target
72
73 train_input, train_target, test_input, test_target = get_data(seed = seed, a = a, b
74     = b, nr_of_data = nr_of_data)
75
76 # Setting seed manually:
77 def set_seed(seed):
78     torch.manual_seed(seed) # Set the seed for CPU operations
79     np.random.seed(seed) # Set the seed for numpy
80     random.seed(seed) # Set the seed for Python's random module
```

```

77
78     if torch.cuda.is_available():
79         torch.cuda.manual_seed(seed) # Set seed for CUDA
80         torch.cuda.manual_seed_all(seed) # Set seed for all GPUs
81         torch.backends.cudnn.deterministic = True # Ensures deterministic behavior
82         torch.backends.cudnn.benchmark = False # Disables optimization that can
            introduce randomness
83
84 # Example usage
85 set_seed(0)
86
87 device = torch.device("cuda" if torch.cuda.is_available() else "cpu")
88 print(device)
89 #-----
90 #defining models:
91 class SprecherMulti(nn.Module):
92     def __init__(self, structure, batch, degree, num_knots):
93         super().__init__()
94         self.degree = degree
95         self.batch = batch
96         self.structure = structure
97         self.knots = torch.arange(-5, 5, step = 10/num_knots, dtype=torch.float32)
98         self.num_c = self.knots.size(0)-degree-1 #number of paramaters per
            acitivisionfunction
99         self.std = 0.1
100        self.cs = nn.Parameter(torch.normal(mean=0, std=self.std, size=(len(
            structure)-1, self.num_c))) # paramters for each fnciton
101        self.lambdas = nn.Parameter(torch.normal(mean=0, std=self.std, size=(sum(
            structure[:len(structure)-2]),)) #Lambda values for inner formula
102        self.eps = nn.Parameter(torch.normal(mean=0, std=self.std, size=(len(
            structure)-2,)) #epsilon values outer formula
103
104
105     def layer_pass(self, x, layer):
106         functions = torch.zeros((self.batch, self.structure[layer], self.structure[
            layer+1])) + x.unsqueeze(2).repeat(1, 1, self.structure[layer+1])+( self
            .eps[layer] * torch.tensor([[i for i in range(self.structure[layer+1])
            ]]).float()).repeat(self.batch, self.structure[layer], 1) # init tensor
            and adding input and translating with epislon times q
107         functions = self.apply_BSpline(functions, self.cs[layer]) * self.lambdas[sum
            (self.structure[:layer]):sum(self.structure[:layer+1])].view(self.
            structure[layer], 1) # applying function and multiplying with lambda
108         result = (torch.sum(functions, dim=1, keepdim=True)+ torch.tensor([[i for i
            in range(self.structure[layer+1])]]).float()).squeeze(1) # adding outer
            q
109         return result
110         #Layerpass takes input and creates tensor for the outputs, by filling tensor
            with inputs and paramaters acc to formula and then apply the learnble
            activation function
111
112     def final_pass(self, x):
113         result = torch.sum(self.apply_BSpline(x, self.cs[len(self.structure)-2]), dim
            =1)
114         return result
115         #apply the final function on second to last layer output
116
117     def forward(self, x): #apply layerpasses for first n-2 such and the last apply
            general function pass acc to formula.
118         input = x
119         for layer in range(len(self.structure)-2):
120             input = self.layer_pass(input, layer)
121         result = self.final_pass(input).view(self.batch, 1)
122         return result
123
124     def b_spline(self, knot_index, degree, t, knots):
125         """
126         Takes in a knot_index for the spline, starting, loop through the knots -
            degree - 1
127         """
128         if degree == 0:
129             # Convert boolean result to float (0 or 1)
130             return ((knots[knot_index] <= t) & (t < knots[knot_index + 1])).float()
131
132         else:
133             # Handling denominators for recursive B-spline calculation
134             denom1 = knots[knot_index + degree] - knots[knot_index] if (knot_index
            + degree) < len(knots) else 0
135             denom2 = knots[knot_index + degree + 1] - knots[knot_index + 1] if (
            knot_index + degree + 1) < len(knots) else 0
136
137             term1 = torch.zeros_like(t) # Initialize term1 tensor
138             term2 = torch.zeros_like(t) # Initialize term2 tensor
139
140             if denom1 != 0:

```

```

141         term1 = ((t - knots[knot_index]) / denom1) * self.b_spline(
142             knot_index, degree - 1, t, knots)
143     if denom2 != 0:
144         term2 = ((knots[knot_index + degree + 1] - t) / denom2) * self.
145             b_spline(knot_index + 1, degree - 1, t, knots)
146     return term1 + term2
147 def BSpline(self,c,knot_interval,degree,t):
148     sum = 0
149     for i in range(len(c)):
150         sum = sum + c[i]*self.b_spline(i,degree,t,knot_interval) #is this
151         correct? no????! let it be for now!
152     return sum
153
154 def apply_BSpline(self,tensor,c):
155     return self.BSpline(c, self.knots, self.degree, tensor)
156
157 class SprecherSpecial(nn.Module):
158     def __init__(self,structure,batch,degree,num_knots):
159         super().__init__()
160         self.degree = degree
161         self.batch = batch
162         self.structure = structure
163         self.knots = torch.arange(-5,5, step = 10/num_knots, dtype=torch.float32)
164         self.num_c = self.knots.size(0)-degree-1
165         self.std = 0.1
166         self.cs = nn.Parameter(torch.normal(mean=0, std=self.std, size=(len(
167             structure)-1,self.num_c)))
168         self.lambdas = nn.Parameter(torch.normal(mean=0, std=1, size=(sum(structure
169             [:len(structure)-2]),)))
170         self.eps = nn.Parameter(torch.normal(mean=0, std=1, size=(len(structure)
171             -2,)))
172         #for Xavier init:
173         sum_in_out_nodes = [structure[i]+structure[i+1] for i in range(len(structure
174             )-1)]
175         self.std_list = torch.tensor([self.xavier(x) for x in sum_in_out_nodes],
176             dtype=torch.float32)
177         xavier = torch.normal(0,self.std_list)
178         ones = torch.ones(len(structure)-1)
179         weights = torch.stack([ones,xavier],dim=1)
180         self.weights = nn.Parameter(weights)
181         self.layer = None
182         self.dodo = nn.Parameter(torch.ones(len(structure)-2)) #optimizable factor
183         scaling the outer q-term in layer function
184         self.epz = nn.Parameter(torch.abs(torch.normal(mean=0, std=0.1, size=(sum(
185             structure[1:len(structure)-1]),,))) # positive init f r peronalized
186         epsilon, one per node in hidden layers
187         # for easy calculation of indexing when using epz in layer funciton:
188         o = structure.copy()
189         del o[0]
190         self.structure2 = o
191
192     def xavier(self,x): #for Xavier init
193         std = np.sqrt(2/(x))
194         return std
195
196     def layer_pass(self,x,layer):
197         functions = torch.zeros((self.batch,self.structure[layer],self.structure[
198             layer+1])) + x.unsqueeze(2).repeat(1,1, self.structure[layer+1])(self.
199             epz[sum(self.structure2[:layer]):sum(self.structure2[:layer+1])]).
200             repeat(self.batch, self.structure[layer], 1)
201         functions = self.phi(functions,self.cs[layer],self.weights[layer]) * self.
202             lambdas[sum(self.structure[:layer]):sum(self.structure[:layer+1])].view
203             (self.structure[layer], 1) # is this ok broadcasting
204         -----
205         result = (torch.sum(functions,dim=1, keepdim=True)+ self.dodo[layer]*torch.
206             tensor([[i for i in range(self.structure[layer+1])]]).float()).squeeze
207             (1)
208         self.layer = result #saving last layer data
209         return result
210
211     def final_pass(self,x):
212         result = torch.sum(self.phi(x,self.cs[len(self.structure)-2],self.weights[
213             len(self.structure)-2]),dim=1)
214         return result
215
216     def forward(self,x):
217         input = x
218         for layer in range(len(self.structure)-2):
219             input = self.layer_pass(input,layer)
220         result = self.final_pass(input).view(self.batch,1)
221         return result

```

```

205 def b_spline(self, knot_index, degree, t, knots):
206     """
207     Takes in a knot_index for the spline, starting, loop through the knots -
208     degree - 1
209     """
210     if degree == 0:
211         # Convert boolean result to float (0 or 1)
212         return ((knots[knot_index] <= t) & (t < knots[knot_index + 1])).float()
213     else:
214         # Handling denominators for recursive B-spline calculation
215         denom1 = knots[knot_index + degree] - knots[knot_index] if (knot_index
216             + degree) < len(knots) else 0
217         denom2 = knots[knot_index + degree + 1] - knots[knot_index + 1] if (
218             knot_index + degree + 1) < len(knots) else 0
219
220         term1 = torch.zeros_like(t) # Initialize term1 tensor
221         term2 = torch.zeros_like(t) # Initialize term2 tensor
222
223         if denom1 != 0:
224             term1 = ((t - knots[knot_index]) / denom1) * self.b_spline(
225                 knot_index, degree - 1, t, knots)
226         if denom2 != 0:
227             term2 = ((knots[knot_index + degree + 1] - t) / denom2) * self.
228                 b_spline(knot_index + 1, degree - 1, t, knots)
229
230         return term1 + term2
231
232 def BSpline(self, c, knot_interval, degree, t):
233     sum = 0
234     for i in range(len(c)):
235         sum = sum + c[i]*self.b_spline(i, degree, t, knot_interval)
236     return sum
237
238 def phi(self, tensor, c, weight): # weighted activation function
239     return weight[0]*self.BSpline(c, self.knots, self.degree, tensor) + weight
240         [1]*nn.functional.silu(tensor)
241
242 def silu(self, x):
243     return x * (1 / (1 + np.exp(-x)))
244
245 def plot_layer_function(self, layer, x): # for plotting inner functions
246     y = self.phi(x, self.cs[layer], self.weights[layer])
247     x = x.tolist()
248     y = y.tolist()
249     plt.figure()
250     plt.plot(x, y)
251     plt.show()
252
253 def plot_final_function(self, layer, x):
254     y = self.phi(x, self)
255
256 class SprecherClassical(nn.Module): #classical 2-5-1 KAN using Sprecher
257     infrastructure
258     def __init__(self, structure, batch, degree, num_knots):
259         super().__init__()
260         self.degree = degree
261         self.batch = batch #batch_size
262         self.structure = structure
263         self.knots = torch.arange(-5, 5, step = 10/num_knots, dtype=torch.float32)
264         self.num_c = self.knots.size(0)-degree-1
265         self.std = 0.1
266         self.cs = nn.Parameter(torch.normal(mean=0, std=self.std, size=(10, self.
267             num_c)))
268         self.lambdas = nn.Parameter(torch.normal(mean=0, std=self.std, size=(sum(
269             structure[:len(structure)-2]),))
270         self.eps = nn.Parameter(torch.normal(mean=0, std=self.std, size=(len(
271             structure)-2,))
272         self.final_cs = nn.Parameter(torch.normal(mean=0, std=self.std, size = (
273             structure[len(structure)-2], self.num_c)))
274
275 def layer_pass(self, x, layer):
276     functions = torch.zeros((self.batch, self.structure[layer], self.structure[
277         layer+1])) + x.unsqueeze(2).repeat(1, 1, self.structure[layer+1])
278     s = 0
279     for i in range(2):
280         for k in range(5):
281             functions[:, i, k] = self.apply_BSpline(functions[:, i, k], self.cs[s])
282             s = s+1
283     result = (torch.sum(functions, dim=1, keepdim=True)).squeeze(1)
284     return result

```

```

277
278 #Layerpass takes input and creates tensor for the outputs, by filling tensor
with inputs and paramaters acc to formula and then apply the learnble
activation function
279
280 def final_pass(self,x):
281     result = torch.zeros(size=(self.batch,self.structure[len(self.structure)
282                               -2]))
283     for i in range(self.structure[len(self.structure)-2]):
284         res = self.apply_BSpline(x[:,i] ,self.final_cs[i])
285         result[:,i] = res.view(self.batch)
286     return torch.sum(result,dim=1)
287
288 def forward(self,x): #apply layerpasses for first n-2 such and the last apply
general function pass acc to formula.
289     input = x
290     for layer in range(len(self.structure)-2):
291         input = self.layer_pass(input,layer)
292     result = self.final_pass(input).view(self.batch,1)
293     return result
294
295 def b_spline(self, knot_index, degree, t, knots): #Whats t?
296     -----
297     """
298     Takes in a knot_index for the spline, starting, loop through the knots -
299     degree - 1
300     """
301     if degree == 0:
302         # Convert boolean result to float (0 or 1)
303         return ((knots[knot_index] <= t) & (t < knots[knot_index + 1])).float()
304     else:
305         # Handling denominators for recursive B-spline calculation
306         denom1 = knots[knot_index + degree] - knots[knot_index] if (knot_index
307                               + degree) < len(knots) else 0
308         denom2 = knots[knot_index + degree + 1] - knots[knot_index + 1] if (
309                               knot_index + degree + 1) < len(knots) else 0
310
311         term1 = torch.zeros_like(t) # Initialize term1 tensor
312         term2 = torch.zeros_like(t) # Initialize term2 tensor
313
314         if denom1 != 0:
315             term1 = ((t - knots[knot_index]) / denom1) * self.b_spline(
316                 knot_index, degree - 1, t, knots)
317         if denom2 != 0:
318             term2 = ((knots[knot_index + degree + 1] - t) / denom2) * self.
319                 b_spline(knot_index + 1, degree - 1, t, knots)
320
321         return term1 + term2
322
323 def BSpline(self,c,knot_interval,degree,t):
324     sum = 0
325     for i in range(len(c)):
326         sum = sum + c[i]*self.b_spline(i,degree,t,knot_interval)
327     return sum
328
329 def apply_BSpline(self,tensor,c):
330     return(self.BSpline(c, self.knots, self.degree, tensor))
331
332 class SprecherLambda(SprecherSpecial):
333     def __init__(self, structure, batch, degree, num_knots):
334         super().__init__(structure, batch, degree, num_knots)
335         self.lambda_matrices = nn.ParameterList([nn.Parameter(torch.normal(mean=0,
336                               std=self.std, size=(structure[i],structure[i+1]))) for i in range(len(
337                               structure)-2)])
338
339     def layer_pass(self,x,layer):
340         functions = torch.zeros((self.batch,self.structure[layer],self.structure[
341                               layer+1])) + x.unsqueeze(2).repeat(1,1, self.structure[layer+1])+(self.
342                               epz[sum(self.structure2[:layer]):sum(self.structure2[:layer+1])]).
343                               repeat(self.batch, self.structure[layer], 1)
344         functions = self.phi(functions,self.cs[layer],self.weights[layer]) * self.
345             lambda_matrices[layer].unsqueeze(0)
346         result = (torch.sum(functions,dim=1, keepdim=True)).squeeze(1)
347         self.layer = result
348         return result
349
350 class Sprecher96Pro(SprecherSpecial): # layer pass redone and new parameters added
for the extra activationfunctions in the last layer
351     def __init__(self, structure, batch, degree, num_knots):
352         super().__init__(structure, batch, degree, num_knots)
353         self.final_cs = nn.Parameter(torch.normal(mean=0,std=self.std,size = (
354                               structure[len(structure)-2],self.num_c)))
355         self.cs = nn.Parameter(torch.normal(mean=0, std=self.std, size=(len(

```

```

        structure)-2,self.num_c)))
343 ones = torch.ones(structure[len(structure)-2]-1)
344 print(self.std_list[-1])
345 std_list = self.std_list[-1].expand(ones.size(0))
346 xavier = torch.normal(0,std_list)
347 weights = torch.stack([ones,xavier],dim=1)
348 self.final_weights = nn.Parameter(weights)
349
350 def layer_pass(self,x,layer):
351 functions = torch.zeros((self.batch,self.structure[layer],self.structure[
        layer+1])) + x.unsqueeze(2).repeat(1,1, self.structure[layer+1])+(self.
        epz[sum(self.structure2[:layer]):sum(self.structure2[:layer+1])]).
        repeat(self.batch, self.structure[layer], 1)
352 functions = self.phi(functions,self.cs[layer],self.weights[layer]) * self.
        lambdas[sum(self.structure[:layer]):sum(self.structure[:layer+1])].view
        (self.structure[layer], 1) # is this ok broadcasting
        ?-----
353 result = (torch.sum(functions,dim=1, keepdim=True)).squeeze(1)
354 self.layer = result
355 return result
356
357 def final_pass(self,x):
358 result = torch.zeros(size=(self.batch,self.structure[len(self.structure)
        -2]))
359 result[:,0] = self.phi(x[:,0],self.final_cs[0],self.weights[-1])
360 for i in range(self.structure[len(self.structure)-2]-1):
361 res = self.phi(x[:,i],self.final_cs[i],self.final_weights[i])
362 result[:,i+1] = res.view(self.batch)
363 return torch.sum(result,dim=1)
364
365 class SprecherComb(Sprecher96Pro):
366 def __init__(self, structure, batch, degree, num_knots):
367 super().__init__(structure, batch, degree, num_knots)
368 self.lambda_matrices = nn.ParameterList([nn.Parameter(torch.normal(mean=0,
        std=self.std, size=(structure[i],structure[i+1]))) for i in range(len(
        structure)-2)])
369
370 def layer_pass(self,x,layer):
371 functions = torch.zeros((self.batch,self.structure[layer],self.structure[
        layer+1])) + x.unsqueeze(2).repeat(1,1, self.structure[layer+1])+(self.
        epz[sum(self.structure2[:layer]):sum(self.structure2[:layer+1])]).
        repeat(self.batch, self.structure[layer], 1)
372 functions = self.phi(functions,self.cs[layer],self.weights[layer]) * self.
        lambda_matrices[layer].unsqueeze(0)
373 result = (torch.sum(functions,dim=1, keepdim=True)).squeeze(1)
374 self.layer = result
375 return result
376
377 class SprecherSingle(SprecherSpecial): # model with one single lambda for each
        hidden layer
378 def __init__(self, structure, batch, degree, num_knots):
379 super().__init__(structure, batch, degree, num_knots)
380 self.lambdas = nn.Parameter(torch.normal(mean=0,std=self.std,size=(len(
        structure)-2,)))
381
382 def layer_pass(self,x,layer):
383 lambdas = torch.full((self.structure[layer],self.structure[layer+1]),self.
        lambdas[layer].item())
384 for row in range(lambdas.size(0)):
385 for col in range(lambdas.size(1)):
386 lambdas[row,col] = lambdas[row,col]**((row+1)*col)
387 functions = torch.zeros((self.batch,self.structure[layer],self.structure[
        layer+1])) + x.unsqueeze(2).repeat(1,1, self.structure[layer+1])+( self
        .eps[layer] * torch.tensor([[i for i in range(self.structure[layer+1])
        ]]).float()).repeat(self.batch, self.structure[layer], 1)
388 functions = self.phi(functions,self.cs[layer],self.weights[layer]) *
        lambdas.unsqueeze(0)
389 result = (torch.sum(functions,dim=1, keepdim=True)).squeeze(1)
390 self.layer = result
391 return result
392
393 class SprecherOrg(SprecherSpecial): # model based on original Sprecher theorem, one
        lambda per layer, with p as exponent
394 def __init__(self, structure, batch, degree, num_knots):
395 super().__init__(structure, batch, degree, num_knots)
396 self.lambdas = nn.Parameter(torch.normal(mean=0,std=self.std,size=(len(
        structure)-2,)))
397
398 def layer_pass(self,x,layer):
399 lambdas = torch.full((self.structure[layer],self.structure[layer+1]),self.
        lambdas[layer].item())
400 for row in range(lambdas.size(0)):
401 lambdas[row,:] = lambdas[row,:]**((row+1))
402 functions = torch.zeros((self.batch,self.structure[layer],self.structure[

```

```

        layer+1])) + x.unsqueeze(2).repeat(1,1, self.structure[layer+1])+( self
        .eps[layer] * torch.tensor([[i for i in range(self.structure[layer+1])
        ]]).float()).repeat(self.batch, self.structure[layer], 1)
403 functions = self.phi(functions, self.cs[layer], self.weights[layer]) *
        lambdas.unsqueeze(0)
404 result = (torch.sum(functions, dim=1, keepdim=True)+ torch.tensor([[i for i
        in range(self.structure[layer+1])]).float()).squeeze(1)
405 self.layer = result
406 return result
407
408 class SprecherBrown(Sprecher96Pro):
409     def __init__(self, structure, batch, degree, num_knots):
410         super().__init__(structure, batch, degree, num_knots)
411         self.lambdas = nn.Parameter(torch.normal(mean=0, std=self.std, size=(len(
        structure)-2,)))
412
413     def layer_pass(self, x, layer):
414         n = self.structure[layer]
415         eps = 1/((2*n+1)*(2*n+2))
416         lambdas = torch.full((self.structure[layer], self.structure[layer+1]), self.
        lambdas[layer].item())
417         for row in range(lambdas.size(0)):
418             lambdas[row,:] = lambdas[row,:]**((row+1))
419         functions = torch.zeros((self.batch, self.structure[layer], self.structure[
        layer+1])) + x.unsqueeze(2).repeat(1,1, self.structure[layer+1])+(eps *
        torch.tensor([[i for i in range(self.structure[layer+1])]).float()]).
        repeat(self.batch, self.structure[layer], 1)
420         functions = self.phi(functions, self.cs[layer], self.weights[layer]) *
        lambdas.unsqueeze(0)
421         result = (torch.sum(functions, dim=1, keepdim=True)).squeeze(1)
422         self.layer = result
423         return result
424 #-----
425 # Training and testing the model:
426
427 # set up:
428 from torch.optim.lr_scheduler import StepLR
429 batch_size = 250
430
431 model = SprecherLambda([2,25,20,15,1], batch_size, 3, 30) #choose model, strucutre,
        batchsize, degree and number of knots of the knotvector
432 model = model.to(device)
433
434 train_input, train_target, test_input, test_target = get_data(seed = 9, a = a, b =
        b, nr_of_data = nr_of_data)
435 dataset_train = TensorDataset(train_input, train_target)
436 dataset_test = TensorDataset(test_input, test_target)
437
438
439 train_loader = DataLoader(dataset_train, batch_size=batch_size, shuffle=False,
        drop_last=True)
440 test_loader = DataLoader(dataset_test, batch_size=batch_size, shuffle=False,
        drop_last=True)
441
442 test_fraction = 0.2
443
444
445 dataset_length = nr_of_data
446 train_size = int(dataset_length * (1 - test_fraction))
447 test_size = dataset_length - train_size # Ensures the sum matches dataset length
448 loss_function = nn.MSELoss()
449 optimizer = optim.AdamW(model.parameters(), lr = 0.01)
450 scheduler = StepLR(optimizer, step_size=25, gamma=0.75)
451 num_epochs = 200
452 test_losses = []
453
454 # epoch train and test loop
455 for epoch in range(num_epochs):
456     model.train()
457     running_loss = 0
458     for data, target in train_loader:
459         optimizer.zero_grad() # reset gradients for new training epoch
460         prediction = model(data) # model prediction
461         loss = loss_function(prediction, target) # loss of prediction
462         loss.backward() # backpropagation
463         optimizer.step() # updating paramaters in model based on backpropagation
464         running_loss += loss.item()
465     print('running training loss: ', running_loss)
466     scheduler.step()
467     model.eval() # evaluateate model mode
468     test_loss = 0
469     with torch.no_grad(): #test loss i MAE
470         for data, target in test_loader:
471             data, target = data.to(device), target.to(device)

```

```

472         prediction = model(data)
473         loss = torch.sum(torch.abs(prediction-target)) # mae loss
474         test_loss += loss.item() # counting mae loss
475     test_losses.append(test_loss)
476
477     print('avg_test_loss: ', test_loss/((test_size//batch_size)*batch_size))
478     print('epoch ',epoch+1 , 'done :)' )

```

C.2.2 Skript 2: Bildregression och rekonstruktion SKAN

```

1
2 #imports:
3 import torch
4 import torch.nn as nn
5 import torch.optim as optim
6 from torch.utils.data import DataLoader, TensorDataset, random_split
7 from torch.cuda.amp import autocast, GradScaler
8
9 import os
10 import matplotlib
11 import numpy as np
12 import matplotlib.pyplot as plt
13 from numpy.random import rand
14 import pandas as pd
15 #from sklearn.model_selection import train_test_split
16 from functools import partial
17 import random
18 torch.cuda.empty_cache()
19
20 def set_seed(seed):
21     torch.manual_seed(seed) # Set the seed for CPU operations
22     np.random.seed(seed) # Set the seed for numpy
23     random.seed(seed) # Set the seed for Python's random module
24
25     if torch.cuda.is_available():
26         torch.cuda.manual_seed(seed) # Set seed for CUDA
27         torch.cuda.manual_seed_all(seed) # Set seed for all GPUs
28         torch.backends.cudnn.deterministic = True # Ensures deterministic behavior
29         torch.backends.cudnn.benchmark = False # Disables optimization that can
30             introduce randomness
31
32 # Example usage
33 set_seed(0)
34
35 device = torch.device("cuda" if torch.cuda.is_available() else "cpu")
36 print(device)
37 #
38 -----
39 # defining models
40 class SprecherSpecial(nn.Module):
41     def __init__(self, structure, batch, degree, num_knots):
42         super().__init__()
43         self.degree = degree
44         self.batch = batch
45         self.structure = structure
46         self.knots = torch.arange(-2,2, step = 4/num_knots, dtype=torch.float32,
47             device=device)
48         self.num_c = self.knots.size(0)-degree-1
49         self.std = 0.1
50         self.cs = nn.Parameter(torch.normal(mean=0, std=self.std, size=(len(
51             structure)-1,self.num_c)))
52         self.lambdas = nn.Parameter(torch.normal(mean=0, std=1, size=(sum(structure
53             [:len(structure)-2]),)))
54         self.eps = nn.Parameter(torch.normal(mean=0, std=1, size=(len(structure)
55             -2,)))
56         #for Xavier init
57         sum_in_out_nodes =[structure[i]+structure[i+1] for i in range(len(structure
58             )-1)]
59         self.std_list = torch.tensor([self.xavier(x) for x in sum_in_out_nodes],
60             dtype=torch.float32, device=device)
61         xavier = torch.normal(0,self.std_list)
62         ones = torch.ones(len(structure)-1,device = device)
63         weights = torch.stack([ones,xavier],dim=1)
64         self.weights = nn.Parameter(weights)
65         self.layer = None
66         self.dodo = nn.Parameter(torch.ones(len(structure)-2))
67         self.epz = nn.Parameter(torch.abs(torch.normal(mean=0, std=0.1, size=(sum(
68             structure[1:len(structure)-1]),,))) # epsilon values for each hidden
69             node
70         # for simpler indexing in layer pass function:
71         o = structure.copy()

```

```

62     del o[0]
63     self.structure2 = o
64
65     def xavier(self,x): #for Xavier init
66         std = np.sqrt(2/(x))
67         return std
68
69     def layer_pass(self,x,layer):
70         functions = torch.zeros((self.batch,self.structure[layer],self.structure[
71             layer+1]),device=device) + x.unsqueeze(2).repeat(1,1, self.structure[
72             layer+1])+(self.epz[sum(self.structure2[:layer]):sum(self.structure2[:
73             layer+1])]).repeat(self.batch, self.structure[layer], 1)
74         functions = self.phi(functions,self.cs[layer],self.weights[layer]) * self.
75             lambdas[sum(self.structure[:layer]):sum(self.structure[:layer+1])].view
76             (self.structure[layer], 1)
77         result = (torch.sum(functions,dim=1, keepdim=True)+ self.dodo[layer]*torch.
78             tensor([[i for i in range(self.structure[layer+1])]],evice=device).
79             float()).squeeze(1)
80         self.layer = result
81         return result
82
83     def final_pass(self,x):
84         result = torch.sum(self.phi(x,self.cs[len(self.structure)-2],self.weights[
85             len(self.structure)-2]),dim=1)
86         return result
87
88     def forward(self,x):
89         input = x
90         for layer in range(len(self.structure)-2):
91             input = self.layer_pass(input,layer)
92         result = self.final_pass(input).view(self.batch,1)
93         return result
94
95     def basis_function(self, degree, knots, t): #non recursive faster basis
96         function calculations
97         """
98         Compute all non-zero B-spline basis functions of a given degree for input
99         tensor 't'.
100
101         Returns: (t.shape, num_basis_functions) tensor of basis evaluations.
102         """
103         num_basis = len(knots) - degree - 1
104         t = t.unsqueeze(-1) # Shape: [*, 1] to [*, num_basis]
105
106         # Initialize degree 0 basis functions (step functions)
107         B = ((knots[:-1] <= t) & (t < knots[1:])).float() # Shape: [..., num_basis +
108             degree]
109
110         for d in range(1, degree + 1):
111             left = (t - knots[:-d-1]) / (knots[d:-1] - knots[:-d-1])
112             right = (knots[d+1:] - t) / (knots[d+1:] - knots[1:-d])
113
114             left_term = left * B[... , :-1]
115             right_term = right * B[... , 1:]
116             B = left_term + right_term
117
118         return B # Shape: [..., num_basis]
119
120     def BSpline(self, c, knot_interval, degree, t):
121         """
122         Evaluate spline at t using basis function matrix and coefficients c.
123
124         Args:
125             c: (num_basis,) coefficient tensor
126             knot_interval: knot vector (tensor)
127             degree: degree of spline
128             t: input tensor, shape [...].
129
130         Returns:
131             Spline values at t, shape: [...]
132         """
133         B = self.basis_function(degree, knot_interval, t) # Shape [..., num_basis]
134         return torch.sum(B * c, dim=-1) # Weighted sum over basis
135
136     def phi(self, tensor, c, weight):
137         """
138         Final phi function, compatible with existing code.
139         """
140         spline_part = self.BSpline(c, self.knots, self.degree, tensor)
141         silu_part = nn.functional.silu(tensor)
142         return weight[0] * spline_part + weight[1] * silu_part

```

```

135
136
137     def plot_layer_function(self, layer, x):
138         y = self.phi(x, self.cs[layer], self.weights[layer])
139         x = x.tolist()
140         y = y.tolist()
141         plt.figure()
142         plt.plot(x, y)
143         plt.show()
144
145
146     #
-----
147
148     class Sprecher96Pro(SprecherSpecial):
149         def __init__(self, structure, batch, degree, num_knots):
150             super().__init__(structure, batch, degree, num_knots)
151             self.final_cs = nn.Parameter(torch.normal(mean=0, std=self.std, size = (
                structure[len(structure)-2], self.num_c)))
152             self.cs = nn.Parameter(torch.normal(mean=0, std=self.std, size=(len(
                structure)-2, self.num_c)))
153             ones = torch.ones(structure[len(structure)-2]-1, device = device)
154             std_list = self.std_list[-1].expand(ones.size(0))
155
156             xavier = torch.normal(0, std_list)
157             weights = torch.stack([ones, xavier], dim=1)
158             self.final_weights = nn.Parameter(weights)
159
160         def layer_pass(self, x, layer):
161             functions = torch.zeros((self.batch, self.structure[layer], self.structure[
                layer+1])) + x.unsqueeze(2).repeat(1, 1, self.structure[layer+1])+(self.
                epz[sum(self.structure2[:layer]):sum(self.structure2[:layer+1])]).
                repeat(self.batch, self.structure[layer], 1)
162             functions = self.phi(functions, self.cs[layer], self.weights[layer]) * self.
                lambdas[sum(self.structure[:layer]):sum(self.structure[:layer+1])].view
                (self.structure[layer], 1) # is this ok broadcasting
                ?-----
163             result = (torch.sum(functions, dim=1, keepdim=True)).squeeze(1)
164             self.layer = result
165             return result
166
167         def final_pass(self, x):
168             result = torch.zeros(size=(self.batch, self.structure[len(self.structure)
                -2]), device=device)
169             result[:, 0] = self.phi(x[:, 0], self.final_cs[0], self.weights[-1])
170             for i in range(self.structure[len(self.structure)-2]-1):
171                 res = self.phi(x[:, i], self.final_cs[i], self.final_weights[i])
172                 result[:, i+1] = res.view(self.batch)
173             return torch.sum(result, dim=1)
174
175     #
-----
176     class SprecherLambda(SprecherSpecial):
177         def __init__(self, structure, batch, degree, num_knots):
178             super().__init__(structure, batch, degree, num_knots)
179             self.lambda_matrices = nn.ParameterList([nn.Parameter(torch.normal(mean=0,
                std=self.std, size=(structure[i], structure[i+1]))) for i in range(len(
                structure)-2)])
180
181         def layer_pass(self, x, layer):
182             functions = torch.zeros((self.batch, self.structure[layer], self.structure[
                layer+1]), device = device) + x.unsqueeze(2).repeat(1, 1, self.structure[
                layer+1])+(self.epz[sum(self.structure2[:layer]):sum(self.structure2[:
                layer+1])]).repeat(self.batch, self.structure[layer], 1)
183             functions = self.phi(functions, self.cs[layer], self.weights[layer]) * self.
                lambda_matrices[layer].unsqueeze(0)
184             result = (torch.sum(functions, dim=1, keepdim=True)).squeeze(1)
185             self.layer = result
186             return result
187
188     class SprecherComb(Sprecher96Pro):
189         def __init__(self, structure, batch, degree, num_knots):
190             super().__init__(structure, batch, degree, num_knots)
191             self.lambda_matrices = nn.ParameterList([nn.Parameter(torch.normal(mean=0,
                std=self.std, size=(structure[i], structure[i+1]))) for i in range(len(
                structure)-2)])
192             self.knots = torch.arange(-5, 5, step = 10/num_knots, dtype=torch.float32,
                device=device)
193
194
195         def layer_pass(self, x, layer):
196             functions = torch.zeros((self.batch, self.structure[layer], self.structure[

```

```

        layer+1]),device = device) + x.unsqueeze(2).repeat(1,1, self.structure[
        layer+1])+(self.epz[sum(self.structure2[:layer]):sum(self.structure2[:
        layer+1])]).repeat(self.batch, self.structure[layer], 1)
197     functions = self.phi(functions,self.cs[layer],self.weights[layer]) * self.
        lambda_matrices[layer].unsqueeze(0)
198     result = (torch.sum(functions,dim=1, keepdim=True)).squeeze(1)
199     self.layer = result
200     return result
201
202     def final_pass(self,x):
203         result = torch.zeros(size=(self.batch,self.structure[len(self.structure)
204                                -2]),device=device)
205         result[:,0] = self.phi(x[:,0],self.final_cs[0],self.weights[-1])
206         for i in range(self.structure[len(self.structure)-2]-1):
207             res = self.phi(x[:,i],self.final_cs[i],self.final_weights[i])
208             result[:,i+1] = res.view(self.batch)
209         return torch.sum(result,dim=1)
210     #
-----
211     #imorting and setting up image data for training:
212     from PIL import Image, ImageOps
213     nr_pixels = 64
214     im = Image.open("pepper.png")
215     im = im.resize((nr_pixels, nr_pixels))
216     im = ImageOps.grayscale(im)
217     pix = im.load()
218
219     im_array = np.array(im)
220     im_tensor = torch.tensor(im_array, dtype=torch.float32, device=device) / 255 #
        normalize
221
222     #
-----
223     x,y = torch.meshgrid(torch.arange(nr_pixels)/nr_pixels,torch.arange(nr_pixels)/
        nr_pixels,indexing='ij') # kan vara d ligt med linspace
224
225     x = x.flatten()
226     y = y.flatten()
227
228     pixel_coords = torch.stack((x,y),dim=1)
229
230
231     df = pd.DataFrame({'x':x.ravel(),'y':y.ravel(),'z' : (im_array/255).ravel()})
232     input_cols = ["x", "y"]
233     target_cols = ["z"]
234
235     x = x.to(device)
236     y = y.to(device)
237     pixel_coords = torch.stack((x,y),dim=1)
238
239
240     def dataframe_to_tensor(df, input_cols, target_cols):
241         inputs = torch.tensor(df[input_cols].values, dtype=torch.float32,device =
        device)
242         targets = torch.tensor(df[target_cols].values, dtype=torch.float32,device =
        device)
243         return inputs, targets
244
245     inputs, targets = dataframe_to_tensor(df, input_cols, target_cols)
246     dataset = TensorDataset(inputs, targets)
247
248     pixel_vals = im_tensor.flatten().unsqueeze(1)
249
250     #
-----
251     # setting up training and testing
252     from torch.optim.lr_scheduler import StepLR
253     batch_size = 500
254
255     model = SprecherLambda([2,200,100,80,80,80,60,40,1],batch_size,3,20) #choose model
        , strucutre,, spline degree, batchsize and number of knots per knotvector
256
257
258     model = model.to(device)
259
260     test_fraction = 0.2
261
262     dataset_length = len(dataset)
263     train_size = int(dataset_length * (1 - test_fraction))
264     test_size = dataset_length - train_size # Ensures the sum matches dataset length

```

```

265 train, test = random_split(dataset, [train_size, test_size])
266 train_loader = DataLoader(train, batch_size=batch_size, shuffle=True, drop_last=
    True, pin_memory = False)
267 test_loader = DataLoader(test, batch_size=batch_size, drop_last=True, pin_memory=
    False)
268 loss_function = nn.MSELoss()
269 optimizer = optim.AdamW(model.parameters(),lr = 0.01,weight_decay = 0.03)
270 scheduler = StepLR(optimizer, step_size=20, gamma=0.82)
271 num_epochs = 200
272 test_losses = []
273
274
275 for epoch in range(num_epochs):
276     model.train()
277     running_loss = 0
278     for (data,target) in train_loader:
279         optimizer.zero_grad()
280         prediction = model(data)
281         loss = loss_function(prediction,target)
282         loss.backward()
283         optimizer.step()
284         running_loss += loss.item()
285     print('running training loss: ', running_loss)
286     scheduler.step()
287     model.eval()
288     test_loss = 0
289     with torch.no_grad(): #test loss in MAE
290         for data, target in test_loader:
291             data,target = data.to(device), target.to(device)
292             prediction = model(data)
293             loss = torch.sum(torch.abs(prediction-target))
294             test_loss += loss.item()
295     test_losses.append(test_loss)
296
297     print('avg_test_loss: ', test_loss/((test_size//batch_size)*batch_size))
298     print('epoch ',epoch+1 , 'done :)')
299
300
301 #
-----
302 # print model parameters
303 for name, param in model.named_parameters():
304     print(f"Parameter: {name}, Shape: {param.shape}")
305     print(param)
306 print('layer\n',model.layer)
307 #
-----
308 #save produced image by doing partwise prediction caluclations and reassebling the
    image in order to save Vram usage
309 matplotlib.use('Agg') # Use non-interactive backend
310
311 # Create output directory if it doesn't exist
312 output_dir = "saved_images"
313 os.makedirs(output_dir, exist_ok=True)
314 batch_size = 1024
315 pixels = [256,512] # pixel dimensions for reconstruciton
316
317 for p in pixels:
318     nr_pixels = p
319     model.batch = batch_size
320     x,y = torch.meshgrid(torch.arange(nr_pixels)/nr_pixels,torch.arange(nr_pixels)/
        nr_pixels,indexing= 'ij')
321     x = x.flatten().to(device)
322     y = y.flatten().to(device)
323
324     pixel_coords = torch.stack((x,y),dim=1)
325
326     output_chunks = []
327     with torch.no_grad():
328         for i in range(0, len(pixel_coords), batch_size):
329             batch = pixel_coords[i:i+batch_size]
330             output = model(batch)
331             output_chunks.append(output)
332
333
334     image = torch.cat(output_chunks, dim=0).view(nr_pixels, nr_pixels) # reassemble
335
336
337 # generate random filename without affecting global seed
338 r = random.SystemRandom().randint(0, 10000) # Uses system entropy, unaffected
    by torch or numpy seeds
339 name = f"Lambda {r} {p}.png"

```

```

340
341 # save to output directory
342     save_path = os.path.join(output_dir, name)
343
344     array = image.detach().cpu().numpy()
345
346     # save image
347     plt.imsave(save_path, array, cmap='gray')
348
349     print(f"Image saved to: {save_path}")
350
351
352 # -----#

```

C.2.3 Skript 3: Bildklassifikation SKAN

```

1 # import and set seed:
2 #pip install medmnist tqdm -- needed
3 import torch
4 import torch.nn as nn
5 import torch.optim as optim
6 from torch.utils.data import DataLoader, TensorDataset, random_split
7 from torch.cuda.amp import autocast, GradScaler
8
9 import os
10 import matplotlib
11 import numpy as np
12 ##from scipy.interpolate import BSpline
13 #from scipy.interpolate import UnivariateSpline
14 import matplotlib.pyplot as plt
15 from numpy.random import rand
16 import pandas as pd
17 #from sklearn.model_selection import train_test_split
18 from functools import partial
19 import random
20 torch.cuda.empty_cache()
21
22 def set_seed(seed):
23     torch.manual_seed(seed) # Set the seed for CPU operations
24     np.random.seed(seed) # Set the seed for numpy
25     random.seed(seed) # Set the seed for Python's random module
26
27     if torch.cuda.is_available():
28         torch.cuda.manual_seed(seed) # Set seed for CUDA
29         torch.cuda.manual_seed_all(seed) # Set seed for all GPUs
30         torch.backends.cudnn.deterministic = True # Ensures deterministic behavior
31         torch.backends.cudnn.benchmark = False # Disables optimization that can
           introduce randomness
32
33 # Example usage
34 set_seed(1919)
35
36 device = torch.device("cuda" if torch.cuda.is_available() else "cpu")
37 print(device)
38
39 # set up data:
40
41 from medmnist import PneumoniaMNIST, INFO
42 from torchvision import transforms
43 from torch.utils.data import DataLoader
44 import torch
45 device = torch.device("cuda" if torch.cuda.is_available() else "cpu")
46 info = INFO['?pneumoniamnist']
47 info['res'] = 64
48 # define transforms
49 transform = transforms.Compose([
50     transforms.ToTensor(),
51     transforms.Lambda(lambda x: x.view(-1))
52 ])
53 batch_size = 64
54 info = INFO
55 print(info["?pneumoniamnist"])
56
57 # load the datasets
58 train_dataset = PneumoniaMNIST(split='train', transform=transform, download=True,
           as_rgb=False)
59 test_dataset = PneumoniaMNIST(split='test', transform=transform, download=True,
           as_rgb=False)
60
61 image, label = train_dataset[0] # Get the first sample

```

```

62 print(image.shape)
63
64 #-----
65 #defining models
66 class SprecherSpecial(nn.Module):
67     def __init__(self, structure, batch, degree, num_knots):
68         super().__init__()
69         self.degree = degree
70         self.batch = batch
71         self.structure = structure
72         self.knots = torch.arange(-2,2, step = 4/num_knots, dtype=torch.float32,
73                                 device=device)
74         self.num_c = self.knots.size(0)-degree-1
75         self.std = 0.1
76         self.cs = nn.Parameter(torch.normal(mean=0, std=self.std, size=(len(
77             structure)-1,self.num_c)))
78         self.lambdas = nn.Parameter(torch.normal(mean=0, std=1, size=(sum(structure
79             [:len(structure)-2]),)))
80         self.eps = nn.Parameter(torch.normal(mean=0, std=1, size=(len(structure)
81             -2,)))
82         #for Xavier init
83         sum_in_out_nodes = [structure[i]+structure[i+1] for i in range(len(structure
84             )-1)]
85         self.std_list = torch.tensor([self.xavier(x) for x in sum_in_out_nodes],
86                                     dtype=torch.float32, device=device)
87         xavier = torch.normal(0, self.std_list)
88         ones = torch.ones(len(structure)-1, device = device)
89         weights = torch.stack([ones, xavier], dim=1)
90         self.weights = nn.Parameter(weights)
91         self.layer = None
92         self.dodo = nn.Parameter(torch.ones(len(structure)-2))
93         self.epz = nn.Parameter(torch.abs(torch.normal(mean=0, std=0.1, size=(sum(
94             structure[1:len(structure)-1]),),))) # epsilon values for each hidden
95         node
96         # for simpler indexing in layer pass function:
97         o = structure.copy()
98         del o[0]
99         self.structure2 = o
100
101     def xavier(self, x): #for Xavier init
102         std = np.sqrt(2/(x))
103         return std
104
105     def layer_pass(self, x, layer):
106         functions = torch.zeros((self.batch, self.structure[layer], self.structure[
107             layer+1]), device=device) + x.unsqueeze(2).repeat(1,1, self.structure[
108             layer+1])+(self.epz[sum(self.structure2[:layer]):sum(self.structure2[:
109             layer+1])]).repeat(self.batch, self.structure[layer], 1)
110         functions = self.phi(functions, self.cs[layer], self.weights[layer]) * self.
111             lambdas[sum(self.structure[:layer]):sum(self.structure[:layer+1])].view
112             (self.structure[layer], 1)
113         result = (torch.sum(functions, dim=1, keepdim=True)+ self.dodo[layer]*torch.
114             tensor([[i for i in range(self.structure[layer+1])]], device=device).
115             float()).squeeze(1)
116         self.layer = result
117         return result
118
119     def final_pass(self, x):
120         result = torch.sum(self.phi(x, self.cs[len(self.structure)-2], self.weights[
121             len(self.structure)-2]), dim=1)
122         return result
123
124     def forward(self, x):
125         input = x
126         for layer in range(len(self.structure)-2):
127             input = self.layer_pass(input, layer)
128         result = self.final_pass(input).view(self.batch,1)
129         return result
130
131     def basis_function(self, degree, knots, t): #non recursive faster basis
132         function calculations
133         """
134         Compute all non-zero B-spline basis functions of a given degree for input
135         tensor 't'.
136
137         Returns: (t.shape, num_basis_functions) tensor of basis evaluations.
138         """
139         num_basis = len(knots) - degree - 1
140         t = t.unsqueeze(-1) # Shape: [*, 1] to [*, num_basis]
141
142         # Initialize degree 0 basis functions (step functions)
143         B = ((knots[:-1] <= t) & (t < knots[1:])).float() # Shape: [..., num_basis +
144             degree]

```

```

127
128     for d in range(1, degree + 1):
129         left = (t - knots[:-d-1]) / (knots[d:-1] - knots[:-d-1])
130         right = (knots[d+1:] - t) / (knots[d+1:] - knots[1:-d])
131
132         left_term = left * B[... , :-1]
133         right_term = right * B[... , 1:]
134         B = left_term + right_term
135
136     return B # Shape: [..., num_basis]
137
138
139 def BSpline(self, c, knot_interval, degree, t):
140     """
141     Evaluate spline at t using basis function matrix and coefficients c.
142
143     Args:
144         c: (num_basis,) coefficient tensor
145         knot_interval: knot vector (tensor)
146         degree: degree of spline
147         t: input tensor, shape [...].
148
149     Returns:
150         Spline values at t, shape: [...]
151     """
152     B = self.basis_function(degree, knot_interval, t) # Shape [..., num_basis]
153     return torch.sum(B * c, dim=-1) # Weighted sum over basis
154
155
156 def phi(self, tensor, c, weight):
157     """
158     Final phi function, compatible with existing code.
159     """
160     spline_part = self.BSpline(c, self.knots, self.degree, tensor)
161     silu_part = nn.functional.silu(tensor)
162     return weight[0] * spline_part + weight[1] * silu_part
163
164
165 def plot_layer_function(self, layer, x):
166     y = self.phi(x, self.cs[layer], self.weights[layer])
167     x = x.tolist()
168     y = y.tolist()
169     plt.figure()
170     plt.plot(x, y)
171     plt.show()
172
173
174 # -----
175
176 class Sprecher96Pro(SprecherSpecial):
177     def __init__(self, structure, batch, degree, num_knots):
178         super().__init__(structure, batch, degree, num_knots)
179         self.final_cs = nn.Parameter(torch.normal(mean=0, std=self.std, size = (
180             structure[len(structure)-2], self.num_c)))
181         self.cs = nn.Parameter(torch.normal(mean=0, std=self.std, size=(len(
182             structure)-2, self.num_c)))
183         ones = torch.ones(structure[len(structure)-2]-1, device = device)
184         std_list = self.std_list[-1].expand(ones.size(0))
185         xavier = torch.normal(0, std_list)
186         weights = torch.stack([ones, xavier], dim=1)
187         self.final_weights = nn.Parameter(weights)
188
189     def layer_pass(self, x, layer):
190         functions = torch.zeros((self.batch, self.structure[layer], self.structure[
191             layer+1])) + x.unsqueeze(2).repeat(1, 1, self.structure[layer+1]) + (self.
192             epz[sum(self.structure2[:layer]):sum(self.structure2[:layer+1])]).
193             repeat(self.batch, self.structure[layer], 1)
194         functions = self.phi(functions, self.cs[layer], self.weights[layer]) * self.
195             lambdas[sum(self.structure[:layer]):sum(self.structure[:layer+1])].view
196             (self.structure[layer], 1) # is this ok broadcasting
197             ?-----
198         result = (torch.sum(functions, dim=1, keepdim=True)).squeeze(1)
199         self.layer = result
200         return result
201
202     def final_pass(self, x):
203         result = torch.zeros(size=(self.batch, self.structure[len(self.structure)
204             -2]), device=device)
205         result[:, 0] = self.phi(x[:, 0], self.final_cs[0], self.weights[-1])
206         for i in range(self.structure[len(self.structure)-2]-1):
207             res = self.phi(x[:, i], self.final_cs[i], self.final_weights[i])

```

```

200         result[:,i+1] = res.view(self.batch)
201     return torch.sum(result,dim=1)
202
203 # -----
204 class SprecherLambda(SprecherSpecial):
205     def __init__(self, structure, batch, degree, num_knots):
206         super().__init__(structure, batch, degree, num_knots)
207         self.lambda_matrices = nn.ParameterList([nn.Parameter(torch.normal(mean=0,
208             std=self.std, size=(structure[i],structure[i+1]))) for i in range(len(
209             structure)-2)])
210
211     def layer_pass(self,x,layer):
212         functions = torch.zeros((self.batch,self.structure[layer],self.structure[
213             layer+1]),device = device) + x.unsqueeze(2).repeat(1,1, self.structure[
214             layer+1])+(self.epz[sum(self.structure2[:layer]):sum(self.structure2[:
215             layer+1])]).repeat(self.batch, self.structure[layer], 1)
216         functions = self.phi(functions,self.cs[layer],self.weights[layer]) * self.
217             lambda_matrices[layer].unsqueeze(0)
218         result = (torch.sum(functions,dim=1, keepdim=True)).squeeze(1)
219         self.layer = result
220         return result
221
222 class SprecherComb(Sprecher96Pro):
223     def __init__(self, structure, batch, degree, num_knots):
224         super().__init__(structure, batch, degree, num_knots)
225         self.lambda_matrices = nn.ParameterList([nn.Parameter(torch.normal(mean=0,
226             std=self.std, size=(structure[i],structure[i+1]))) for i in range(len(
227             structure)-2)])
228         self.knots = torch.arange(-5,5, step = 10/num_knots, dtype=torch.float32,
229             device=device)
230
231     def layer_pass(self,x,layer):
232         functions = torch.zeros((self.batch,self.structure[layer],self.structure[
233             layer+1]),device = device) + x.unsqueeze(2).repeat(1,1, self.structure[
234             layer+1])+(self.epz[sum(self.structure2[:layer]):sum(self.structure2[:
235             layer+1])]).repeat(self.batch, self.structure[layer], 1)
236         functions = self.phi(functions,self.cs[layer],self.weights[layer]) * self.
237             lambda_matrices[layer].unsqueeze(0)
238         result = (torch.sum(functions,dim=1, keepdim=True)).squeeze(1)
239         self.layer = result
240         return result
241
242     def final_pass(self,x):
243         result = torch.zeros(size=(self.batch,self.structure[len(self.structure)
244             -2]),device=device)
245         result[:,0] = self.phi(x[:,0], self.final_cs[0],self.weights[-1])
246         for i in range(self.structure[len(self.structure)-2]-1):
247             res = self.phi(x[:,i], self.final_cs[i],self.final_weights[i])
248             result[:,i+1] = res.view(self.batch)
249         return torch.sum(result,dim=1)
250
251 # -----
252
253 # setting up training and testing
254 from torch.optim.lr_scheduler import StepLR
255
256 torch.cuda.empty_cache() # clearing cashe for gpu
257 torch.cuda.ipc_collect()
258
259 batch_size = 250
260
261 set_seed(0)
262 train_loader = DataLoader(train_dataset, batch_size=batch_size, shuffle=False,
263     drop_last=False)
264 test_loader = DataLoader(test_dataset, batch_size=batch_size, shuffle=False,
265     drop_last=False)
266
267 model = SprecherLambda([28*28,13,1], batch_size,3,20) #choose model, strucutre,
268     batchsize and number of knots
269
270 model = model.to(device)
271
272 loss_function = nn.BCEWithLogitsLoss()
273 optimizer = optim.AdamW(model.parameters(),lr = 0.001, weight_decay=0.01)
274
275 num_epochs = 100
276 acc_list= []
277
278 def confusion(pred,target): # funciton for extracting confusion cases saving them

```

```

263 TP = 0
264 TN = 0
265 FP = 0
266 FN = 0
267 for i in range(pred.size(0)):
268     if pred[i] == 1 and target[i] ==1:
269         TP +=1
270     elif pred[i] == 0 and target[i] ==1:
271         FN +=1
272     elif pred[i] == 1 and target[i] ==0:
273         FP +=1
274     else:
275         TN +=1
276     return TP,TN,FP,FN
277
278 cm_list = []
279 # train and test
280
281 for epoch in range(num_epochs):
282     model.train()
283     running_loss = 0
284     train_batches = list(train_loader)
285     for i, (data, target) in enumerate(train_batches):
286         if i == len(train_batches) - 1:
287             model.batch = data.size(0)
288             data, target = data.to(device), target.to(device)
289             target = target.float()
290             optimizer.zero_grad()
291             prediction = model(data)
292
293             loss = loss_function(prediction, target)
294             loss.backward()
295
296             optimizer.step()
297
298             running_loss += loss.item()
299             model.batch = batch_size
300     print('running training loss: ', running_loss)
301
302     model.eval()
303     correct = 0
304     total = 0
305     val_loss = 0
306     total_TP, total_TN, total_FP, total_FN = 0, 0, 0, 0
307
308     with torch.no_grad():
309         test_batches = list(test_loader)
310         for i, (data, target) in enumerate(test_batches):
311             if i == len(test_batches) - 1:
312                 model.batch = data.size(0)
313
314                 data, target = data.to(device), target.to(device)
315                 target = target.float()
316                 prediction = torch.sigmoid(model(data))
317                 loss = loss_function(prediction, target)
318                 val_loss += loss
319                 prediction = (prediction > 0.5).float()
320                 correct += (prediction == target).sum().item()
321                 total += target.size(0)
322                 TP,TN,FP,FN = confusion(prediction, target)
323                 total_TP += TP
324                 total_TN += TN
325                 total_FP += FP
326                 total_FN += FN
327                 model.batch = batch_size
328
329     cm_list.append((total_TP, total_TN, total_FP, total_FN))
330
331     print(f'Test acc: {100*(correct / total):.2f}%')
332     acc_list.append(correct/total)
333     print('epoch ', epoch+1 , 'done :')
334
335
336 print(acc_list.max())
337
338
339 # plot confusion matrix :
340 cm = np.array([[total_TP, total_FP], [total_FP, total_TN]])
341 plt.imshow(cm, cmap='Greens')
342 for i in range(2):
343     for j in range(2):
344         plt.text(j, i, str(cm[i, j]), ha='center', va='center', color='black')
345 plt.xticks([0, 1], ['1', '0'])
346 plt.yticks([0, 1], ['1', '0'])

```

```
347 plt.xlabel('Predikterad etikett')
348 plt.ylabel('Etikett')
349 plt.colorbar()
350 plt.show()
```